

T2K実験の最新結果と 今後の展望

横山将志（東京大学）

素粒子物理学の進展2012

2012年7月19日 @ 基研

ニュートリノ振動実験

この1年, この先XX年

横山将志 (東京大学)

素粒子物理学の進展2012

2012年7月19日 @ 基研

目次

- イントロ：ニュートリノ振動のおさらい
- 最近の出来事
 - T2Kを中心に, θ_{13} の話
- この先数年の見通し
- さらに将来（今後10年+）の話

50年

ニュートリノフレーバー50周年

OBSERVATION OF HIGH-ENERGY NEUTRINO REACTIONS AND THE EXISTENCE OF TWO KINDS OF NEUTRINOS*

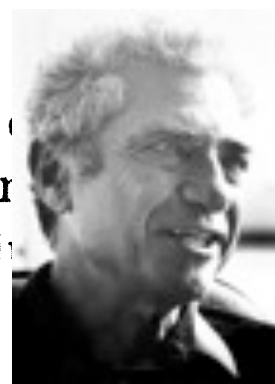
G. Danby, J-M. Gaillard, K. Goulian, L. M. Lederman, N. Mistry,
M. Schwartz,[†] and J. Steinberger[†]

Columbia University, New York, New York and Brookhaven National Laboratory, Upton, New York

(Received June 15, 1962)

In the course of experiments at the Brookhaven AGS, we have observed the production of high-energy neutrinos with mass

duce μ mesons, and hence are very likely involved in the reactions



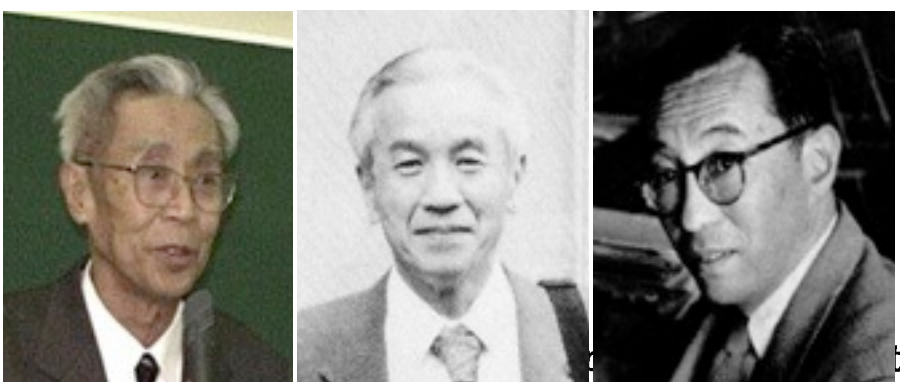
and
inos

PRL 9, 36 (1962)

Progress of Theoretical Physics, Vol. 28, No. 5, November 1962

Remarks on the Unified Model of Elementary Particles

Ziro MAKI, Masami NAKAGAWA and Shoichi SAKATA



Institute for Theoretical Physics
Nagoya University, Nagoya

(Received June 25, 1962)

The theory of neutrino is based on the mixture of neutrinos. Based on the neutrino-mixture particles is constructed by generalizing the Sakata-Nagoya model.* Our scheme gives a

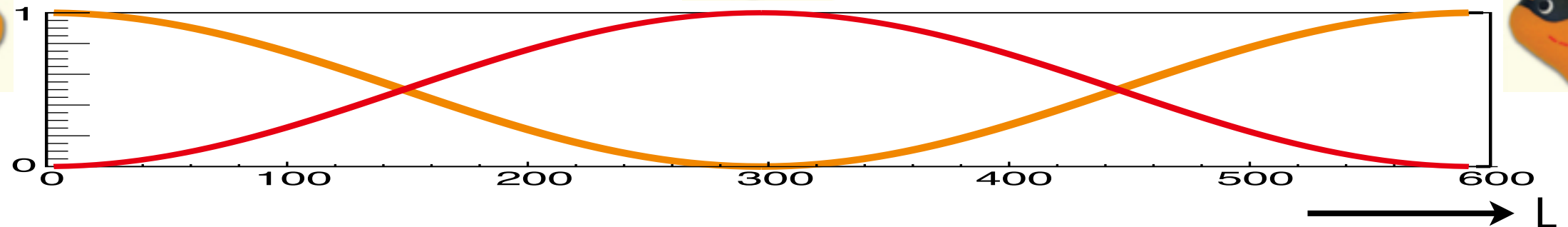
ν mixing/oscillation

Prog. Theor. Phys. 28, 870 (1962)

ニュートリノ振動



(発見: 1998年)



フレーバー固有状態

質量固有状態

2フレーバーの場合

$$|\nu_\alpha\rangle = \cos\theta|\nu_1\rangle + \sin\theta|\nu_2\rangle$$

$$|\nu_\beta\rangle = -\sin\theta|\nu_1\rangle + \cos\theta|\nu_2\rangle$$

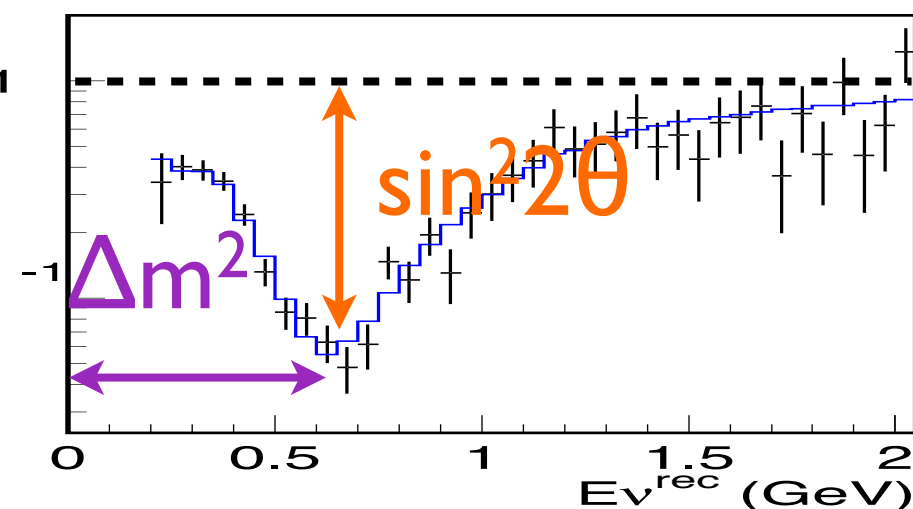
θ : mixing angle
 $\Delta m^2 = m_1^2 - m_2^2$

$$P(\nu_\alpha \rightarrow \nu_\alpha) = 1 - \sin^2 2\theta \cdot \sin^2(1.27 \Delta m^2 [eV^2] \cdot L [km] / E [GeV]) \quad \text{Disappearance}$$

$$P(\nu_\alpha \rightarrow \nu_\beta) = \sin^2 2\theta \cdot \sin^2(1.27 \Delta m^2 \cdot L / E) \quad \text{Appearance}$$

振動数 $(L/E) \rightarrow \Delta m^2$
 振幅 $\rightarrow \sin^2 2\theta$

振動あり/なし



3世代があるので

Pontecorvo-Maki-Nakagawa-Sakata (PMNS) matrix

$$U_{\text{MNS}} = \begin{pmatrix} 1 & 0 & 0 \\ 0 & c_{23} & s_{23} \\ 0 & -s_{23} & c_{23} \end{pmatrix} \begin{pmatrix} c_{13} & 0 & s_{13}e^{-i\delta} \\ 0 & 1 & 0 \\ -s_{13}e^{i\delta} & 0 & c_{13} \end{pmatrix} \begin{pmatrix} c_{12} & s_{12} & 0 \\ -s_{12} & c_{12} & 0 \\ 0 & 0 & 1 \end{pmatrix}$$

$s_{ij} = \sin \theta_{ij}$, $c_{ij} = \cos \theta_{ij}$

4つの独立なパラメータ: θ_{12} , θ_{23} , θ_{13} , δ

振動確率は,

$$\begin{aligned} P_{\alpha\beta} &= \delta_{\alpha\beta} - 4 \sum_{j>i} \operatorname{Re}(U_{\alpha i}^* U_{\beta i} U_{\alpha j} U_{\beta j}^*) \sin^2 \frac{(m_j^2 - m_i^2)L}{4E_\nu} \\ &\quad \mp 2 \sum_{j>i} \operatorname{Im}(U_{\alpha i}^* U_{\beta i} U_{\alpha j} U_{\beta j}^*) \sin \frac{(m_j^2 - m_i^2)L}{2E_\nu} \end{aligned}$$

What we have learned (and not)

maximal? → $\theta_{23} \sim 45^\circ$

sign? → $|\Delta m^2_{32}| \sim 2.5 \times 10^{-3} \text{ eV}^2$

“atmospheric” region

$$\theta_{23} \sim 45^\circ$$

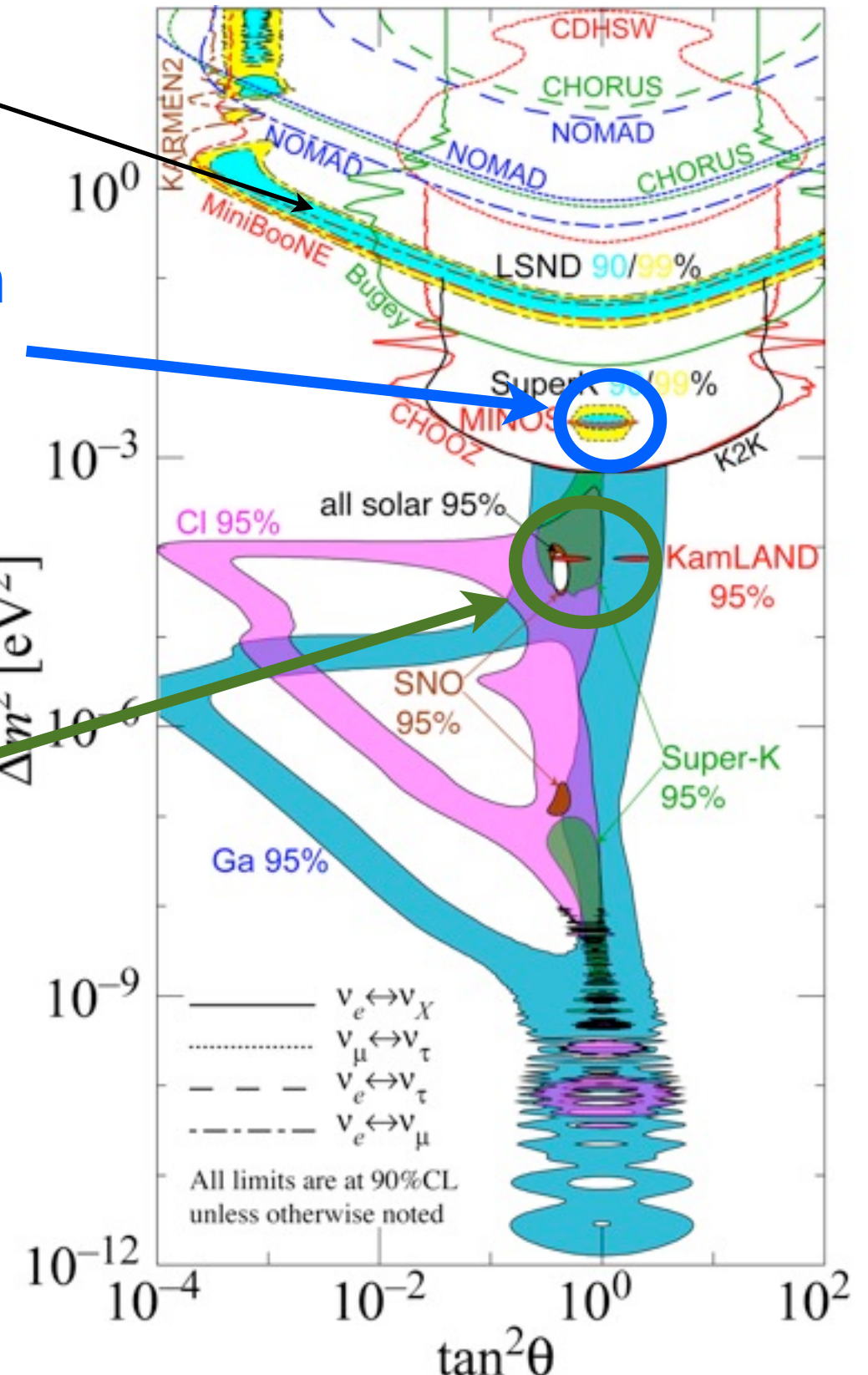
$$\Delta m^2_{21} \sim 7.8 \times 10^{-5} \text{ eV}^2$$

$\theta_{13} < 12^\circ$ (before June 2011)

No information on δ (CP)

(LSND anomaly)

$$\tan^2 \theta$$



<http://hitoshi.berkeley.edu/neutrino>

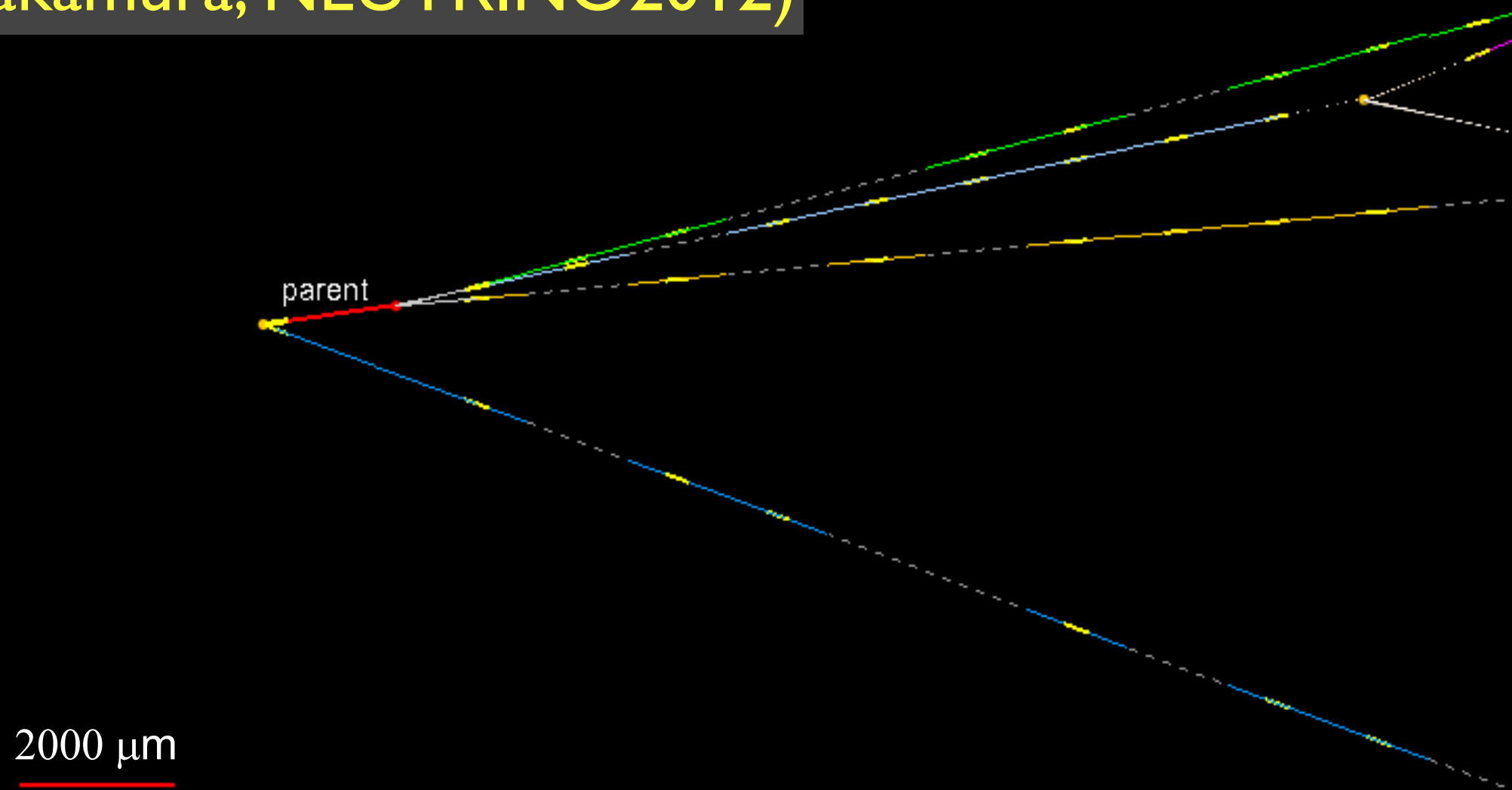
CP測るには

- ν と反 ν を比較 → 加速器 ν ビーム
- “conventional” ν ビーム = ν_μ
- $\pi^+ \rightarrow \mu^+ + \nu_\mu$: 分岐比 >99%
- DisappearanceではCP破れない → appearance
 - ν_τ の同定は困難 (τ lifetime < ps)
- CPV → complex phase → 干渉項
- solar (small Δm^2_{12}) と θ_{13} (“small”)

Promising method : $P(\nu_\mu \rightarrow \nu_e)$ vs $P(\bar{\nu}_\mu \rightarrow \bar{\nu}_e)$

New ν_τ Candidate Event

Second ν_τ candidate at OPERA
(M.Nakamura, NEUTRINO2012)



スーパーカミオカンデでも

- 大気ニュートリノの反応で

arXiv:1206.0328

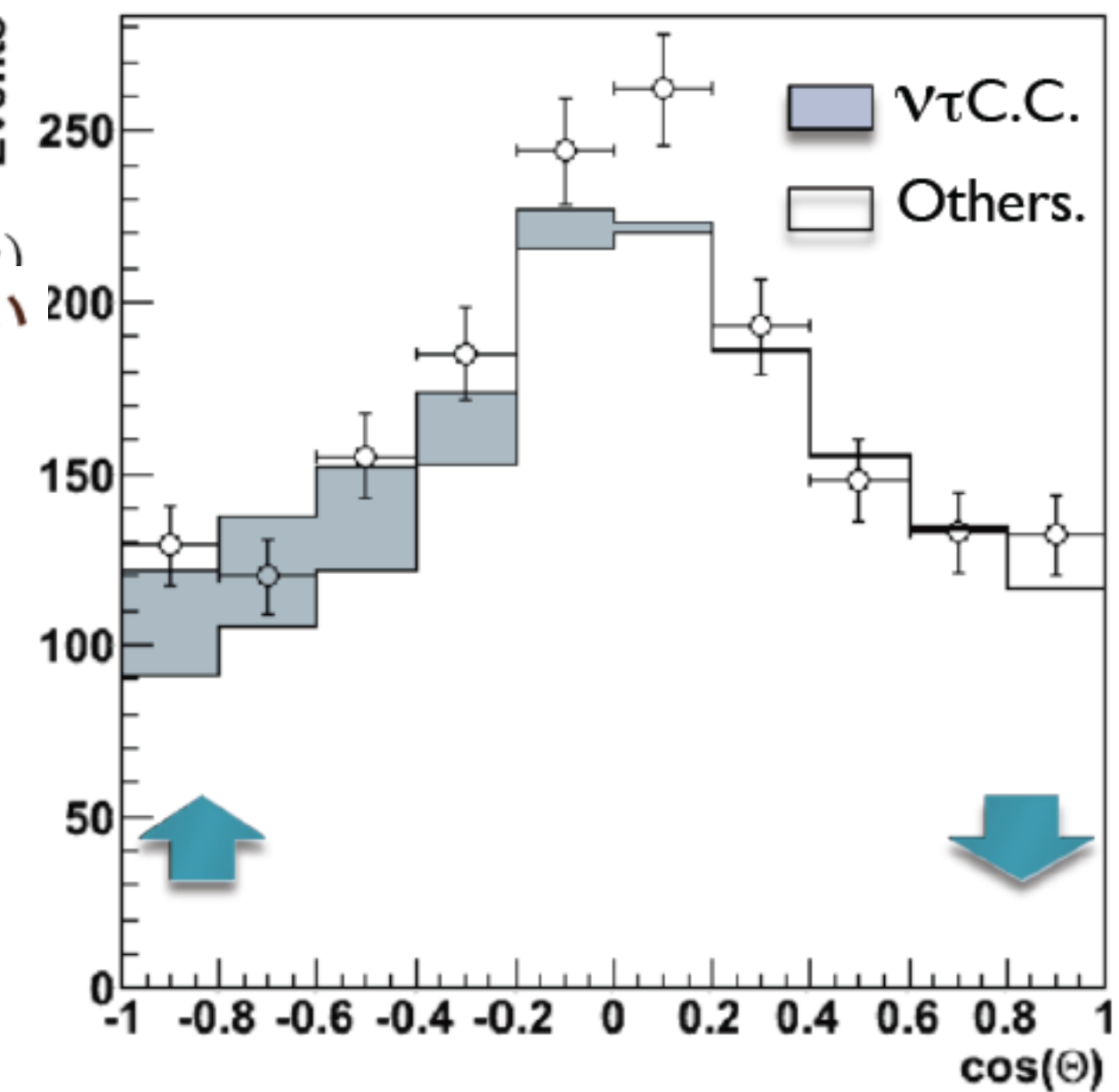
「 τ っぽい」特徴を持つ
事象を選択

- ▶ 高エネルギー、複数リングになりやすい
- ▶ π 由来の崩壊電子が比較的多い

など

- 3.8σ の有意度で
 τ の信号を観測

Zenith Distribution



CP測るには

Promising method : $P(\nu_\mu \rightarrow \nu_e)$ vs $P(\bar{\nu}_\mu \rightarrow \bar{\nu}_e)$

$$A_{CP} = \frac{P(\nu_\mu \rightarrow \nu_e) - P(\bar{\nu}_\mu \rightarrow \bar{\nu}_e)}{P(\nu_\mu \rightarrow \nu_e) + P(\bar{\nu}_\mu \rightarrow \bar{\nu}_e)} \propto \frac{\sin 2\theta_{12}}{\sin \theta_{13}} \sin \delta$$

$$P(\nu_\mu \rightarrow \nu_e) \simeq \frac{\sin^2 \theta_{23}}{\sim 0.5} \cdot \sin^2 2\theta_{13} \cdot \sin^2(1.27 \Delta m_{13}^2 L / E)$$

まず θ_{13} を測る！

熾烈な国際競争



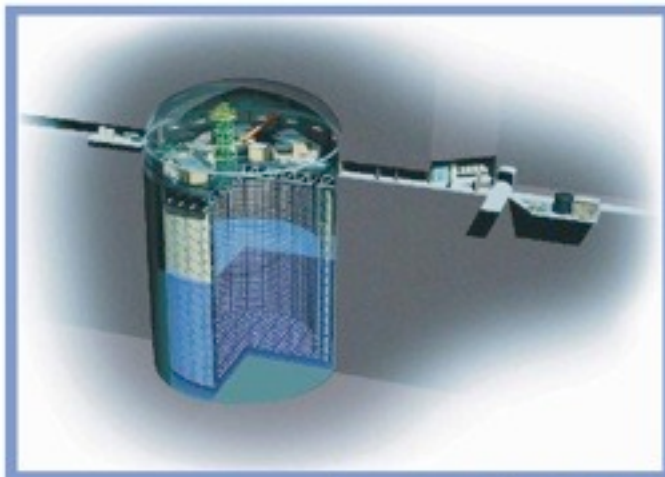
- 加速器実験
- 日本:T2K(2009-)
- 米国:NOvA(2013-)
- E~GeVのビームで,
 $\nu_\mu \rightarrow \nu_e$ の変換を探索
「出現」実験
- 原子炉実験
- 欧(+日米):Double Chooz (2011-)
- 韓:RENO (2011-)
- 中+米:Daya Bay(2011-)
- E~MeVの $\bar{\nu}_e \rightarrow \bar{\nu}_{x(x \neq e)}$ を探索
「消失」実験

Worldwide efforts for measuring θ_{13}

2009-2012

$\sim 1 \nu$ interaction / day

$\sigma(\nu N) \sim 10 \text{ fb} @ 1 \text{ GeV}$



Super-Kamiokande
(ICRR, Univ.Tokyo)



Tokai-to(2)-Kamioka

- Search for $\nu_\mu \rightarrow \nu_e$ (θ_{13})
- Precise meas. of $\nu_\mu \rightarrow \nu_\mu$ (θ_{23})
- Sterile ν , other surprise?

$\sim 10^{15} \nu$ produced every ~ 3 sec
almost pure (99%) ν_μ beam



J-PARC 30GeV PS
(KEK-JAEA, Tokai)



T2K collaboration

May 2011 @KEK
(震災2ヶ月後)

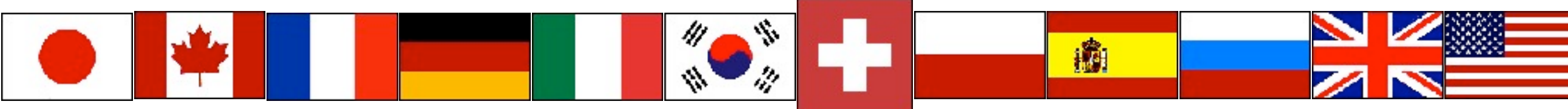
Spokesperson: T.Kobayashi(KEK)

僕

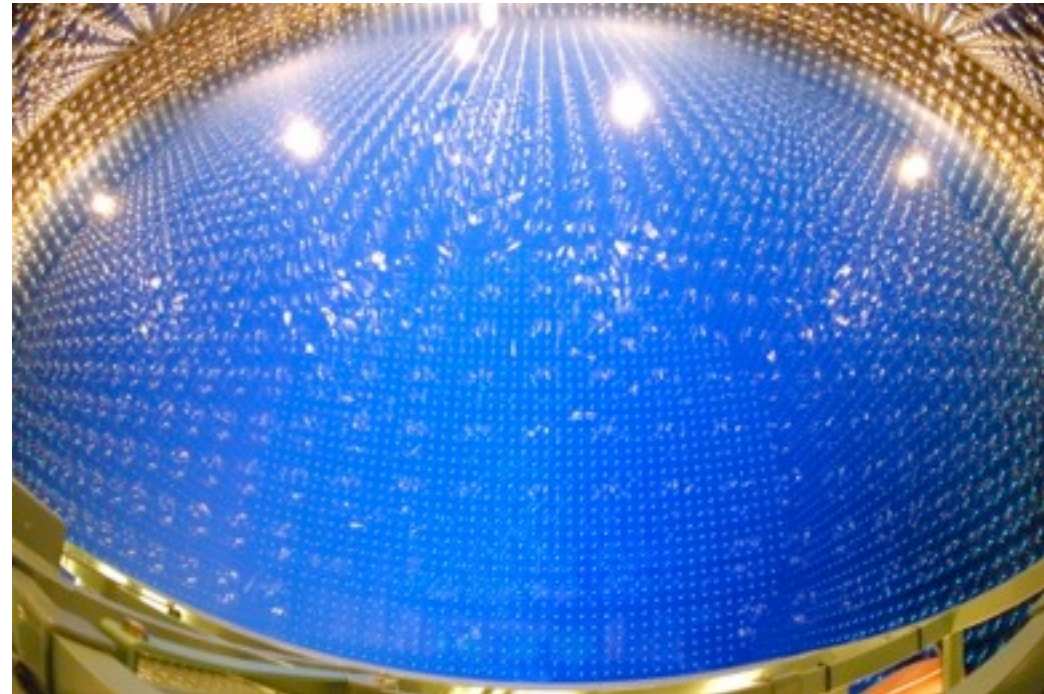
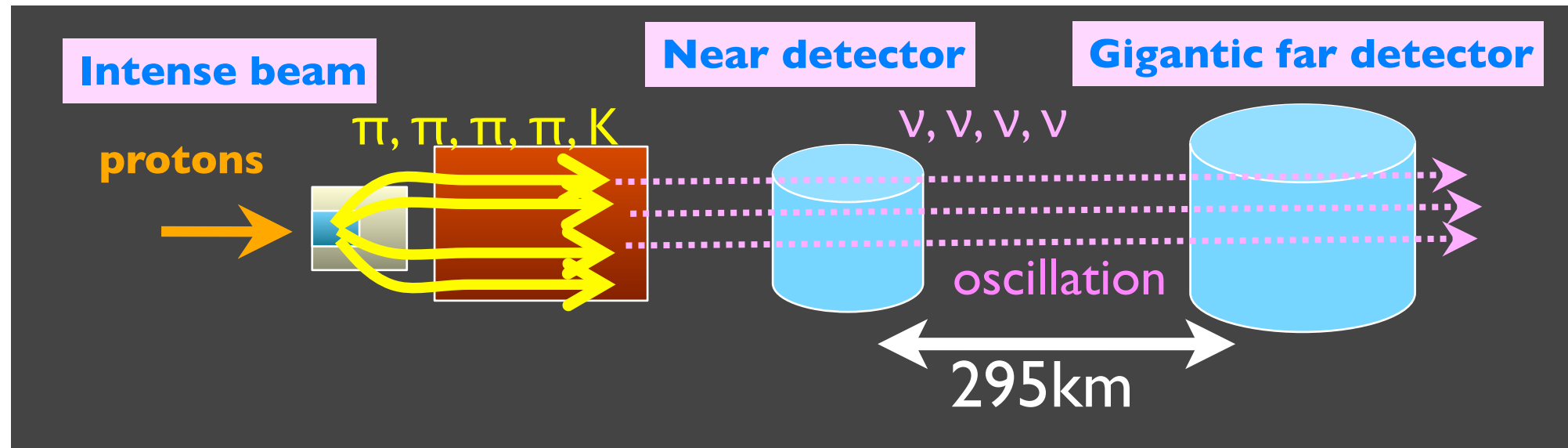


International collaboration (~500 members, 59 institutes, 12 countries)

日本人~80人くらい

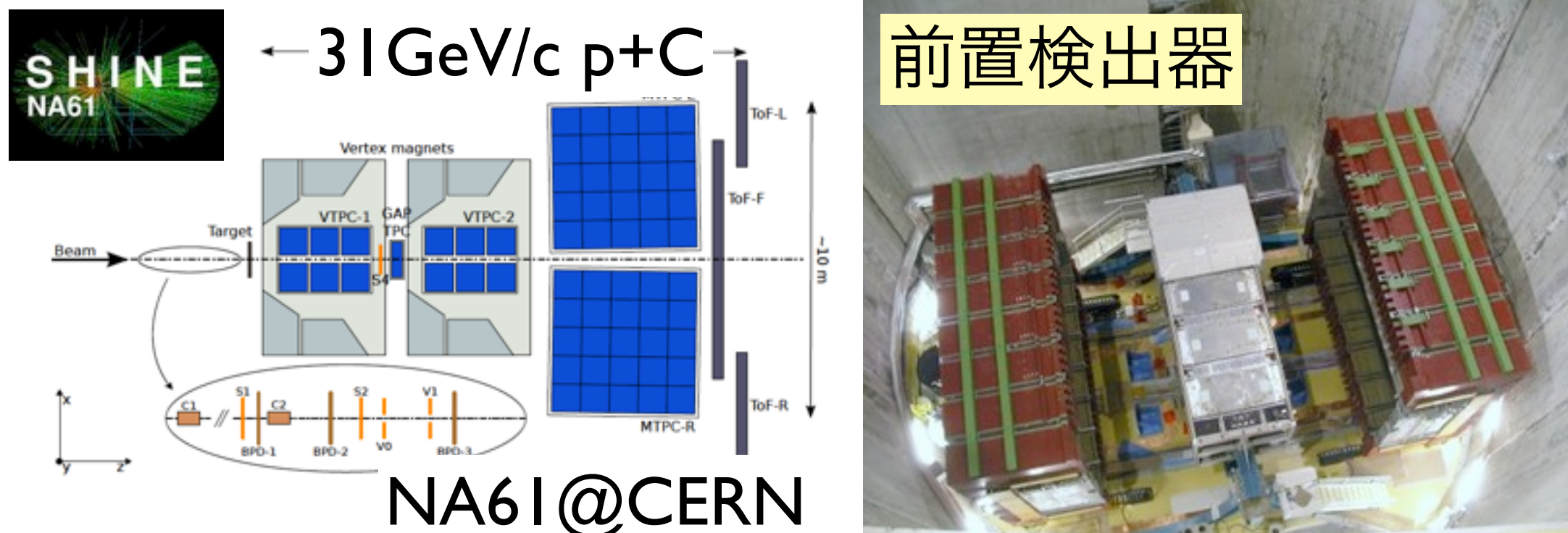
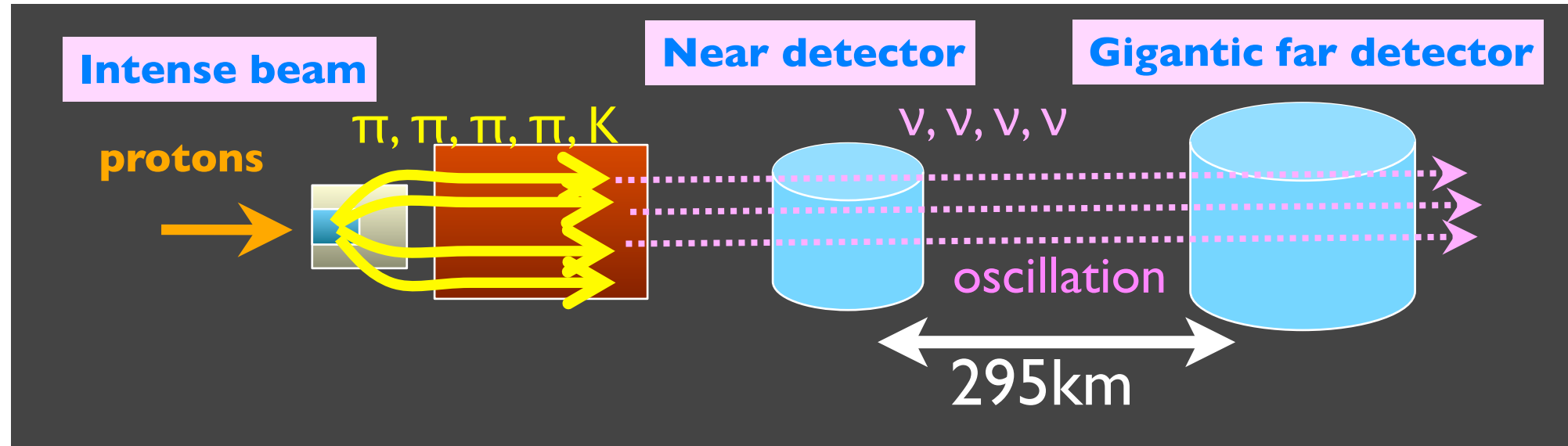


実験原理



統計 \leftrightarrow 大強度ビーム, 大質量検出器
系統誤差 \leftrightarrow Off-axis beam, π 生成測定, 前置検出器

実験原理



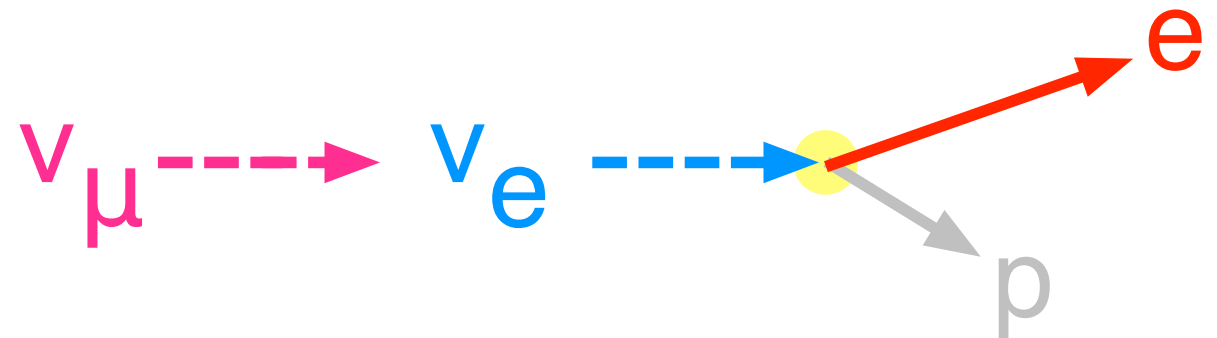
統計 \leftrightarrow 大強度ビーム, 大質量検出器

系統誤差 \leftrightarrow Off-axis beam, π 生成測定, 前置検出器

Signal & background

- Signal = **single electron event**

- oscillated ν_e interaction :



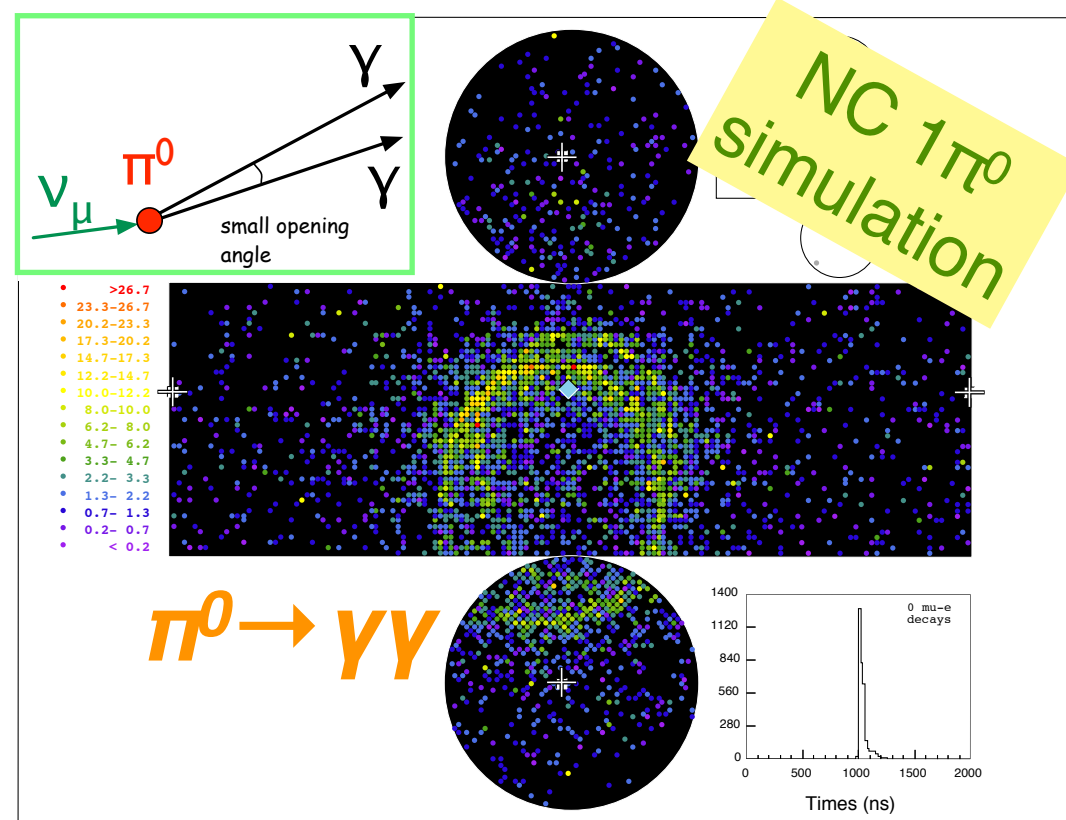
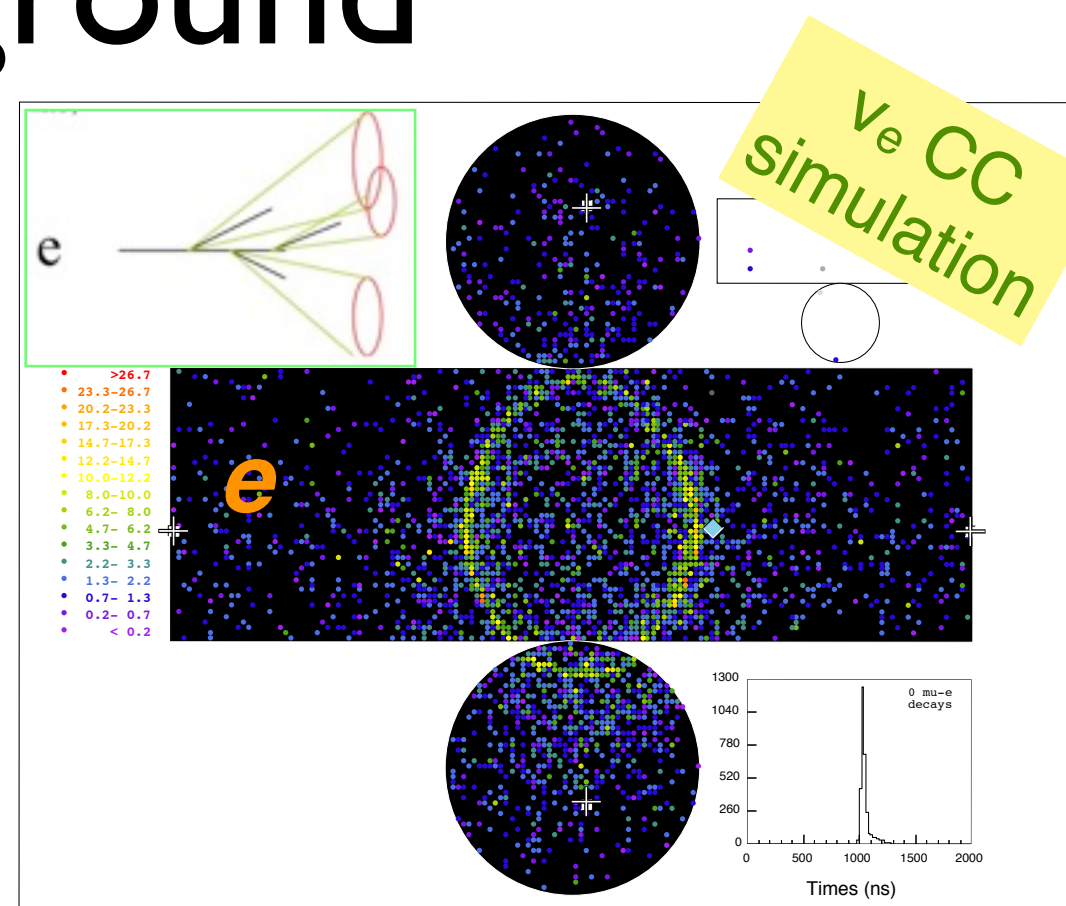
CCQE : $\nu_e + n \rightarrow e + p$
(dominant process at T2K beam energy)

$$E_{rec} = \frac{m_n E_l - m_l^2/2 - (m_n^2 - m_p^2)/2}{m_n - E_l + p_l \cos \theta_l}$$

- Background

- Intrinsic ν_e in the beam
 (from μ, K decays)

- π^0 from NC interaction
 $(\pi^0 \rightarrow \gamma\gamma)$



Super-Kamiokande IV

Run 999999 Sub 0 Event 454

10-02-15:01:25:39

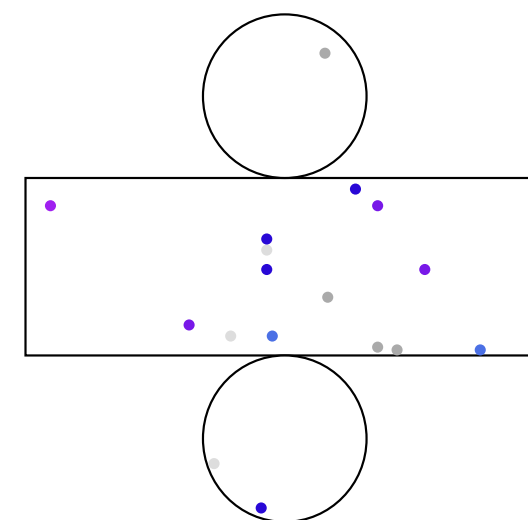
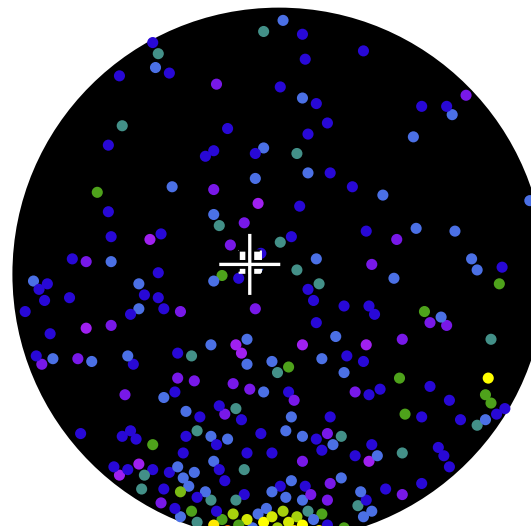
Inner: 2208 hits, 9333 pe

Outer: 10 hits, 9 pe

Trigger: 0x03

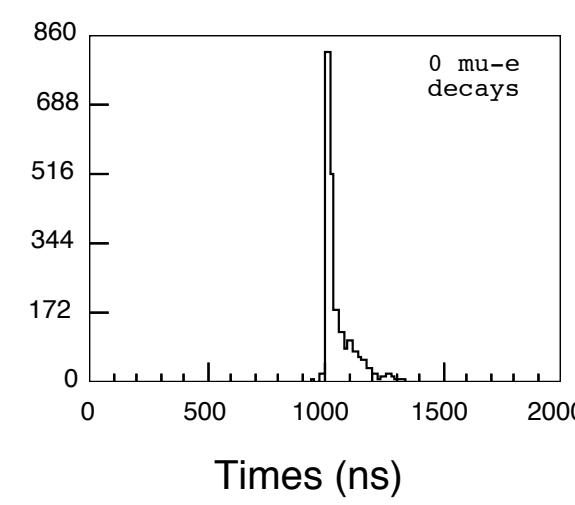
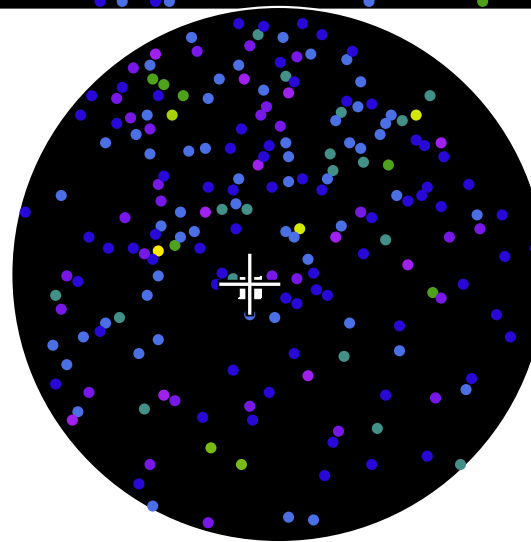
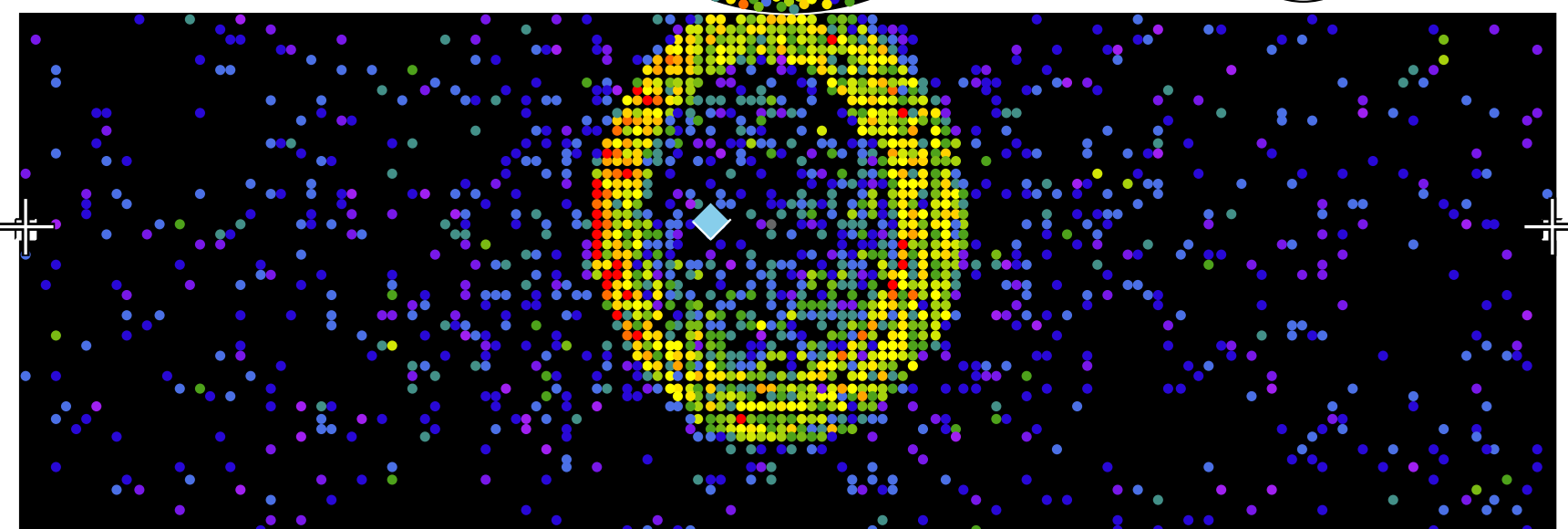
D_wall: 1479.4 cm

mu-like, $p = 1154.7$ MeV/c



Charge (pe)

- >26.7
- 23.3-26.7
- 20.2-23.3
- 17.3-20.2
- 14.7-17.3
- 12.2-14.7
- 10.0-12.2
- 8.0-10.0
- 6.2- 8.0
- 4.7- 6.2
- 3.3- 4.7
- 2.2- 3.3
- 1.3- 2.2
- 0.7- 1.3
- 0.2- 0.7
- < 0.2



Super-Kamiokande IV

Run 999999 Sub 0 Event 209

10-02-17:16:23:39

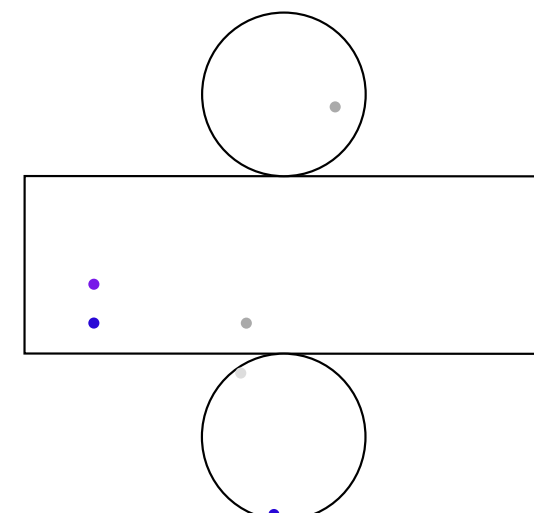
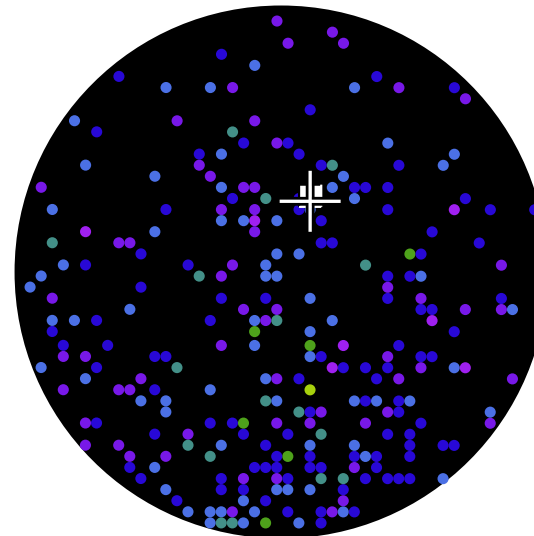
Inner: 3136 hits, 6453 pe

Outer: 3 hits, 2 pe

Trigger: 0x03

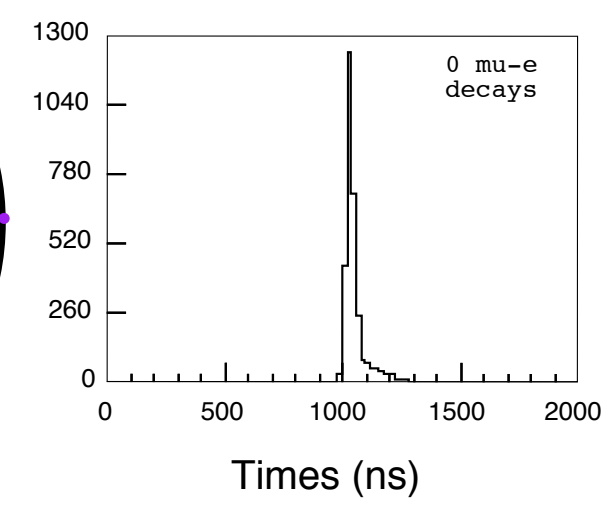
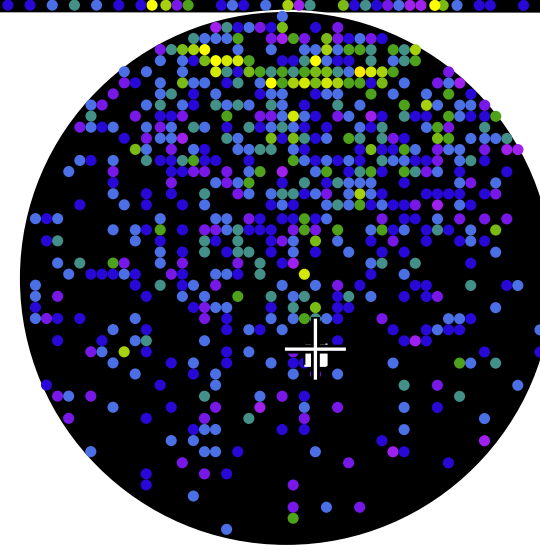
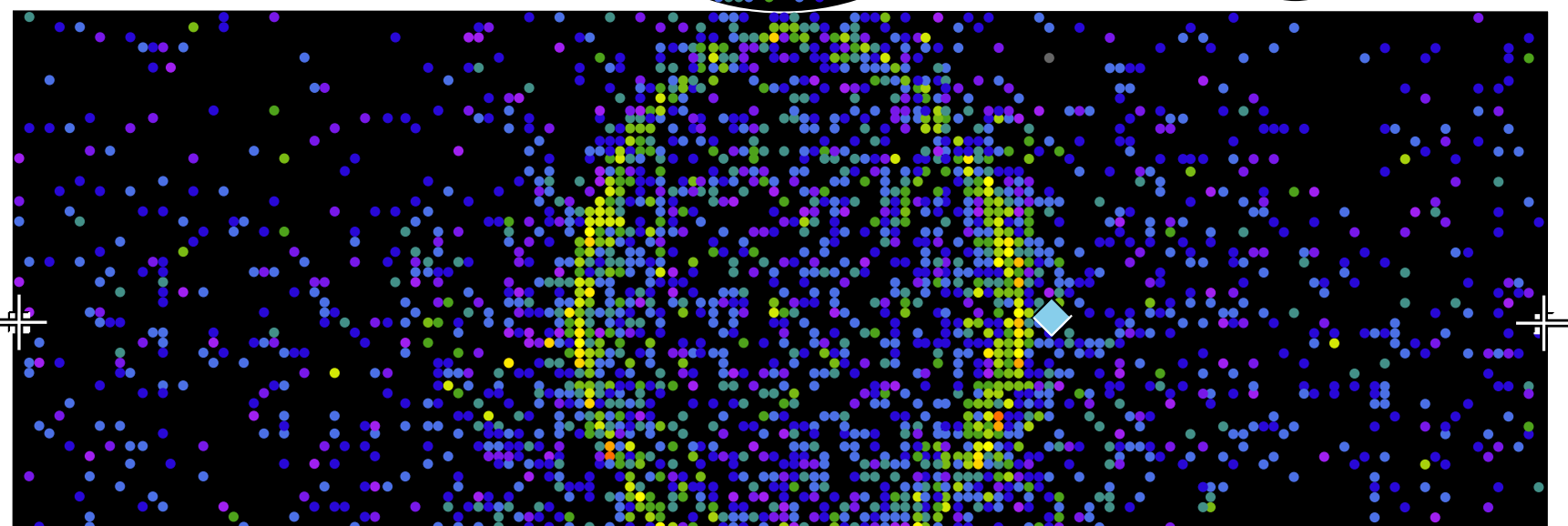
D_wall: 1218.7 cm

e-like, p = 701.5 MeV/c



Charge (pe)

- >26.7
- 23.3-26.7
- 20.2-23.3
- 17.3-20.2
- 14.7-17.3
- 12.2-14.7
- 10.0-12.2
- 8.0-10.0
- 6.2- 8.0
- 4.7- 6.2
- 3.3- 4.7
- 2.2- 3.3
- 1.3- 2.2
- 0.7- 1.3
- 0.2- 0.7
- < 0.2



Super-Kamiokande IV

Run 999999 Sub 0 Event 458

10-02-15:01:36:54

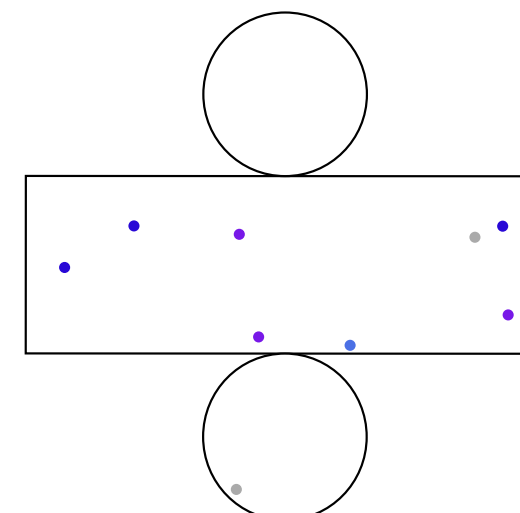
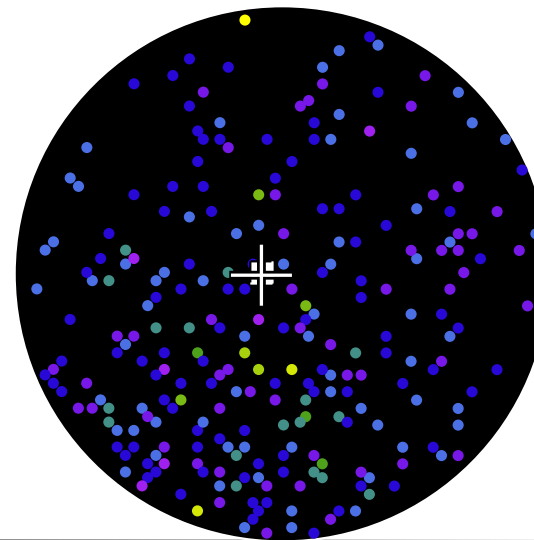
Inner: 3366 hits, 8116 pe

Outer: 7 hits, 5 pe

Trigger: 0x03

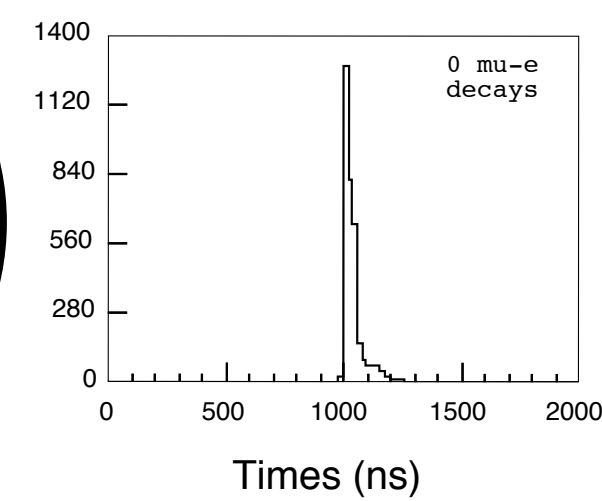
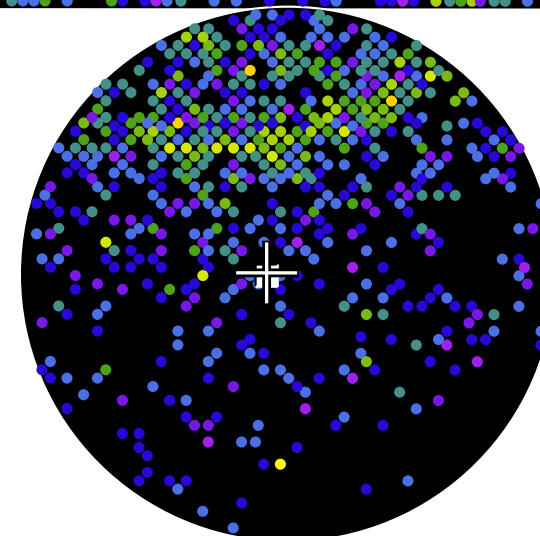
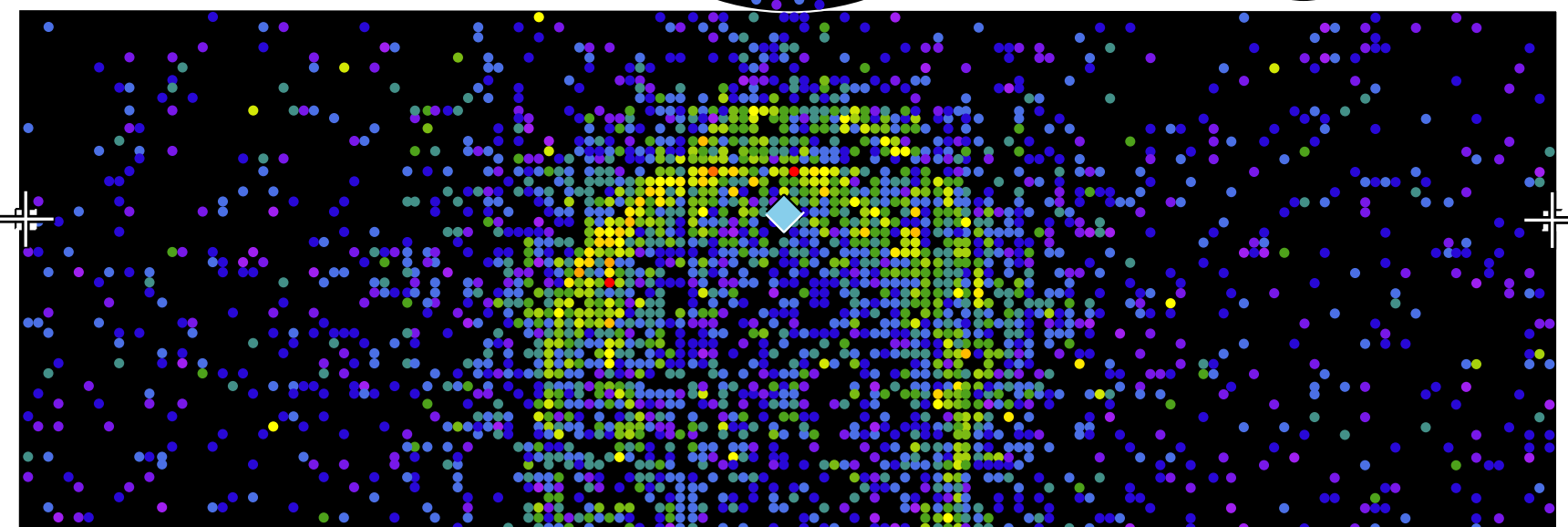
D_wall: 1443.6 cm

e-like, $p = 898.6$ MeV/c



Charge (pe)

- >26.7
- 23.3-26.7
- 20.2-23.3
- 17.3-20.2
- 14.7-17.3
- 12.2-14.7
- 10.0-12.2
- 8.0-10.0
- 6.2- 8.0
- 4.7- 6.2
- 3.3- 4.7
- 2.2- 3.3
- 1.3- 2.2
- 0.7- 1.3
- 0.2- 0.7
- < 0.2

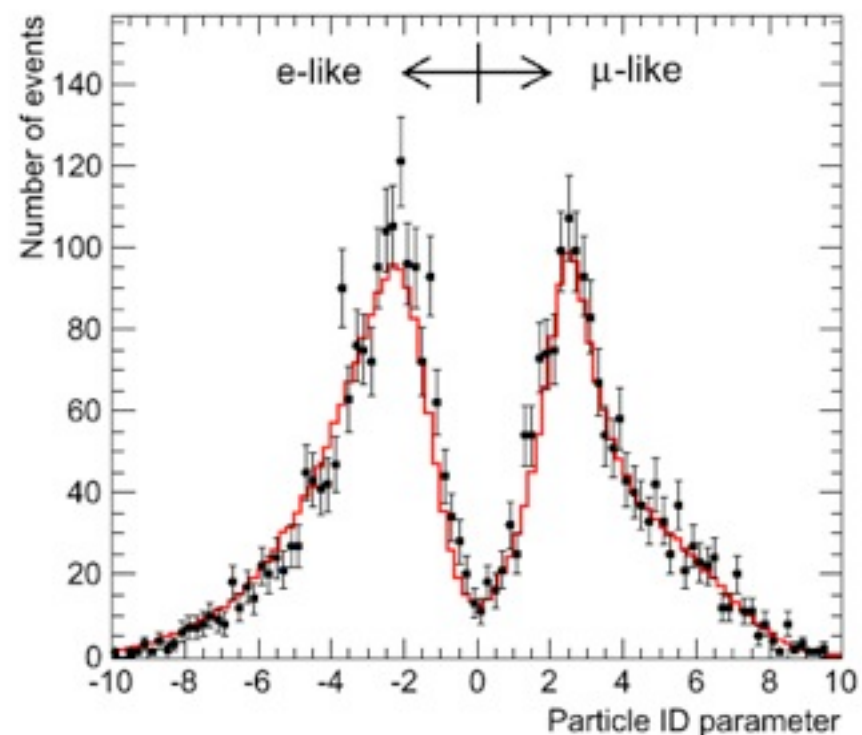
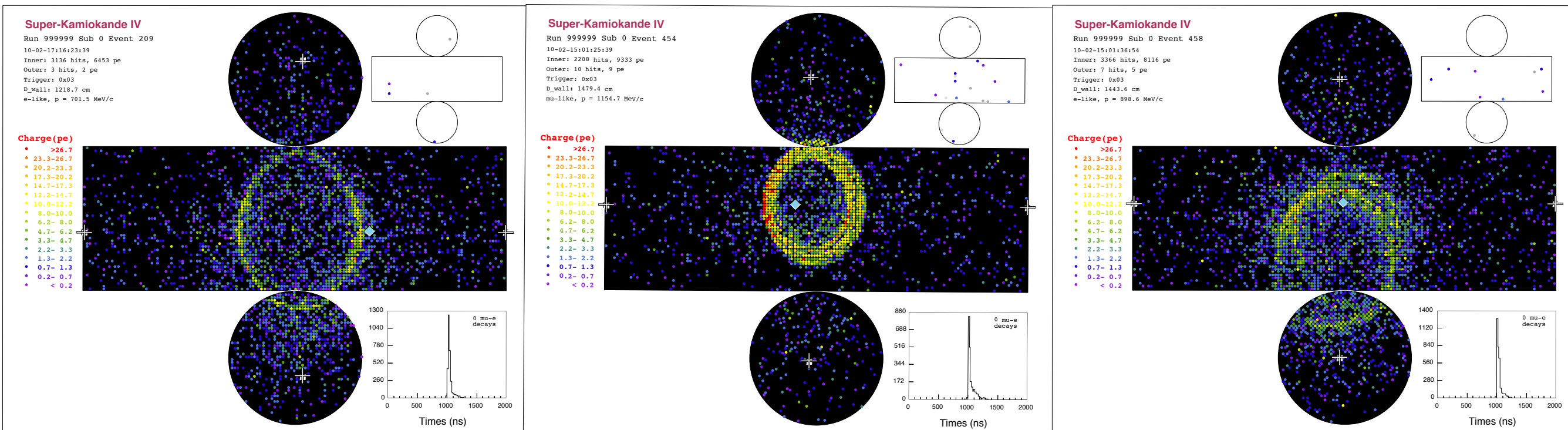


理論屋にもできる(?)粒子識別

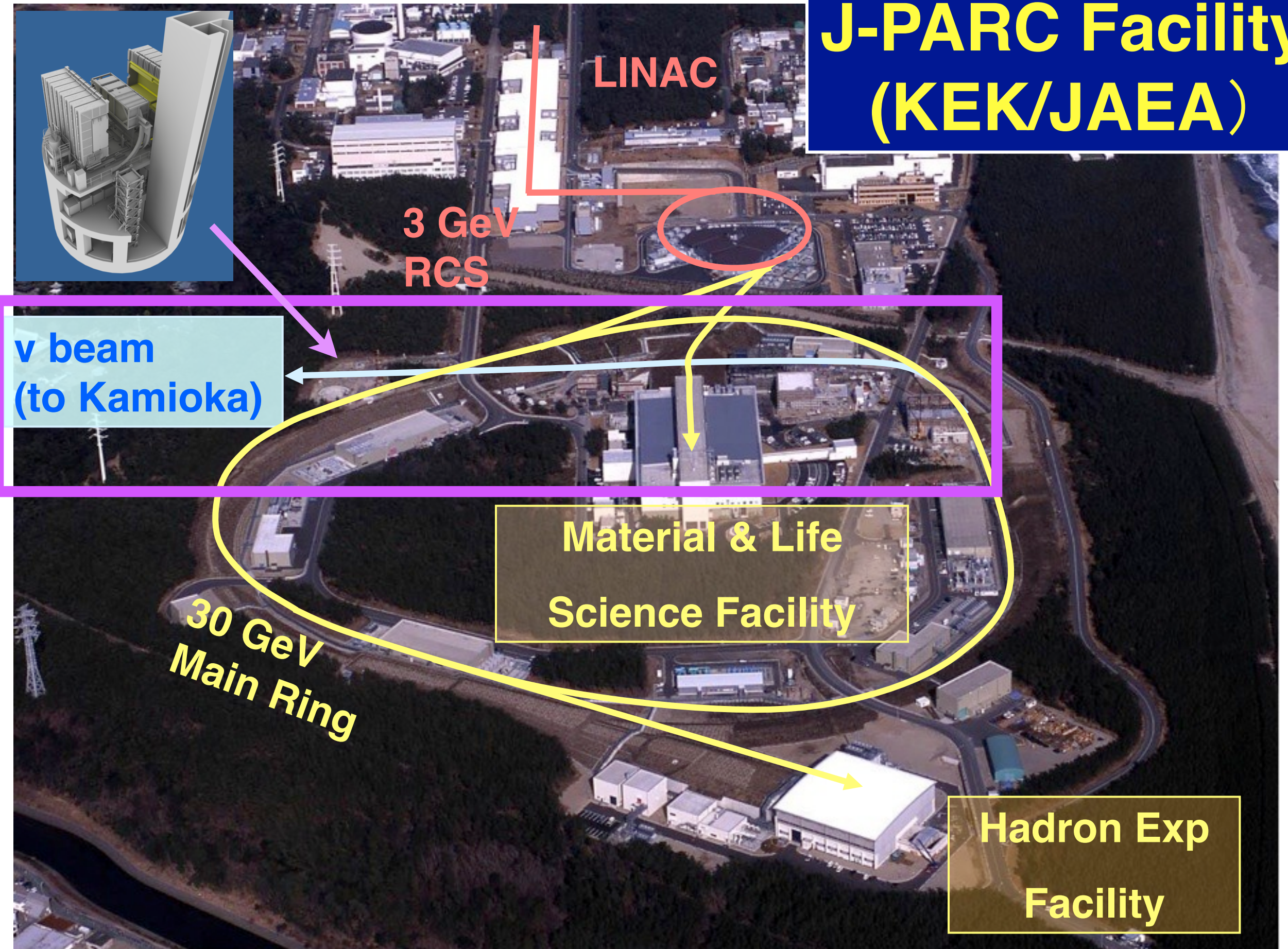
e

μ

$\pi^0 \rightarrow 2\gamma$



J-PARC Facility (KEK/JAEA)



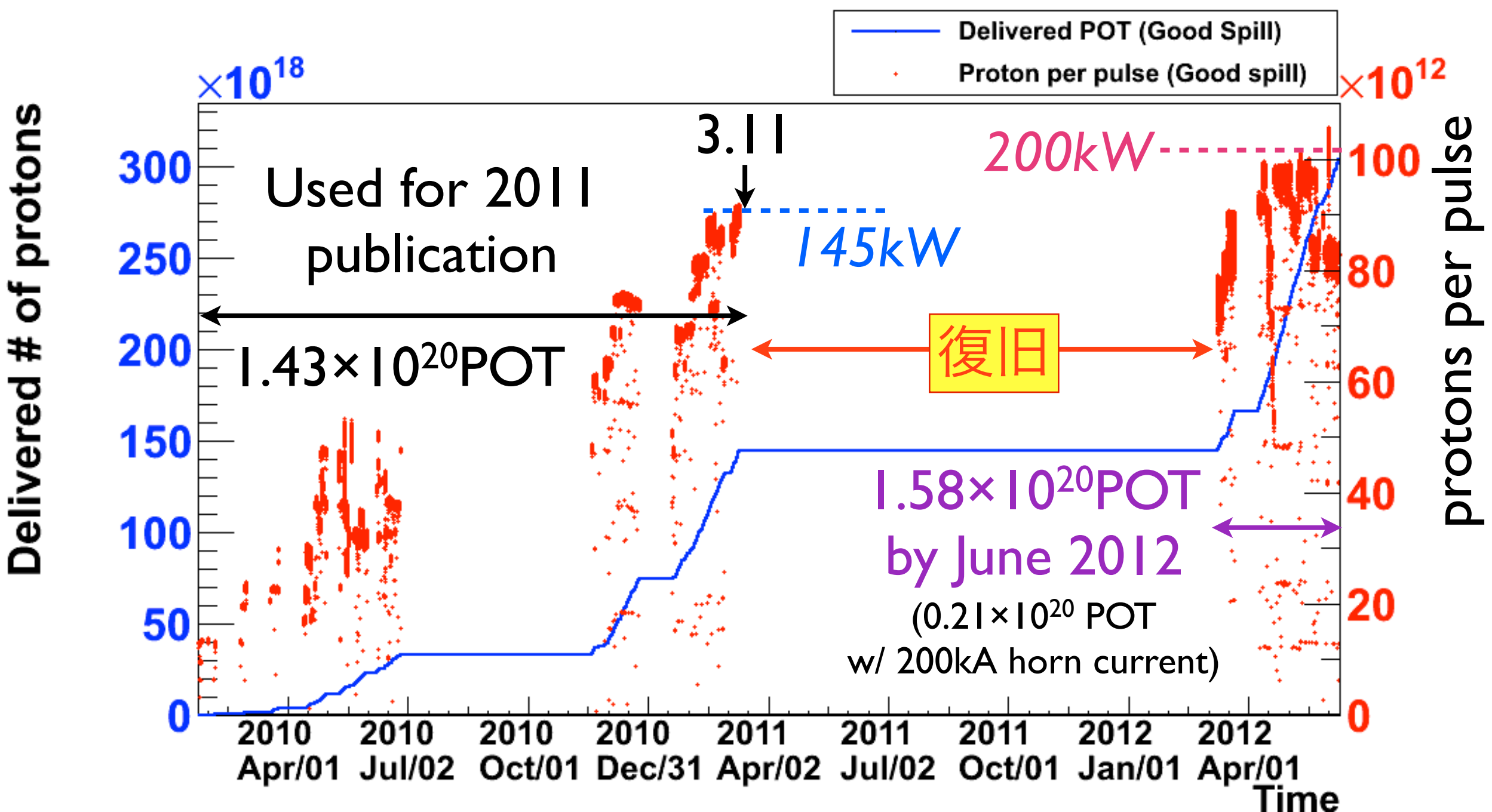
加速器ν実験の予備知識(一般常識)

- ν実験の場合、まずとにかく数をかせぐのが重要
 - Instantaneous rateはどれだけ高くても大丈夫
(普通の実験ではレートが高いと検出器が死ぬ)
- 陽子を加速したらとっとと全部打って次の
加速サイクルへ (速い取り出し, FX)
↔ 数秒にわたってビームを出す：遅い取り出し, SX
 - ちなみに(今の)J-PARCではFX/SX同時に運転できない
- 二次粒子の数 \propto 陽子ビームのエネルギー \times 数 (protons on target, POT)
 - 単位時間あたりの粒子生成数 \propto kW

実験屋の事情(の一部)

- 大強度のビームは欲しいけど.....
- 热衝撃
 - 変なところに当たると溶ける, 壊れる
- 放射線
 - dpaという単位ご存じですか
 - 放射化した空気, 水, 機器との戦い
- 大電流
 - 電源, 破壊.....

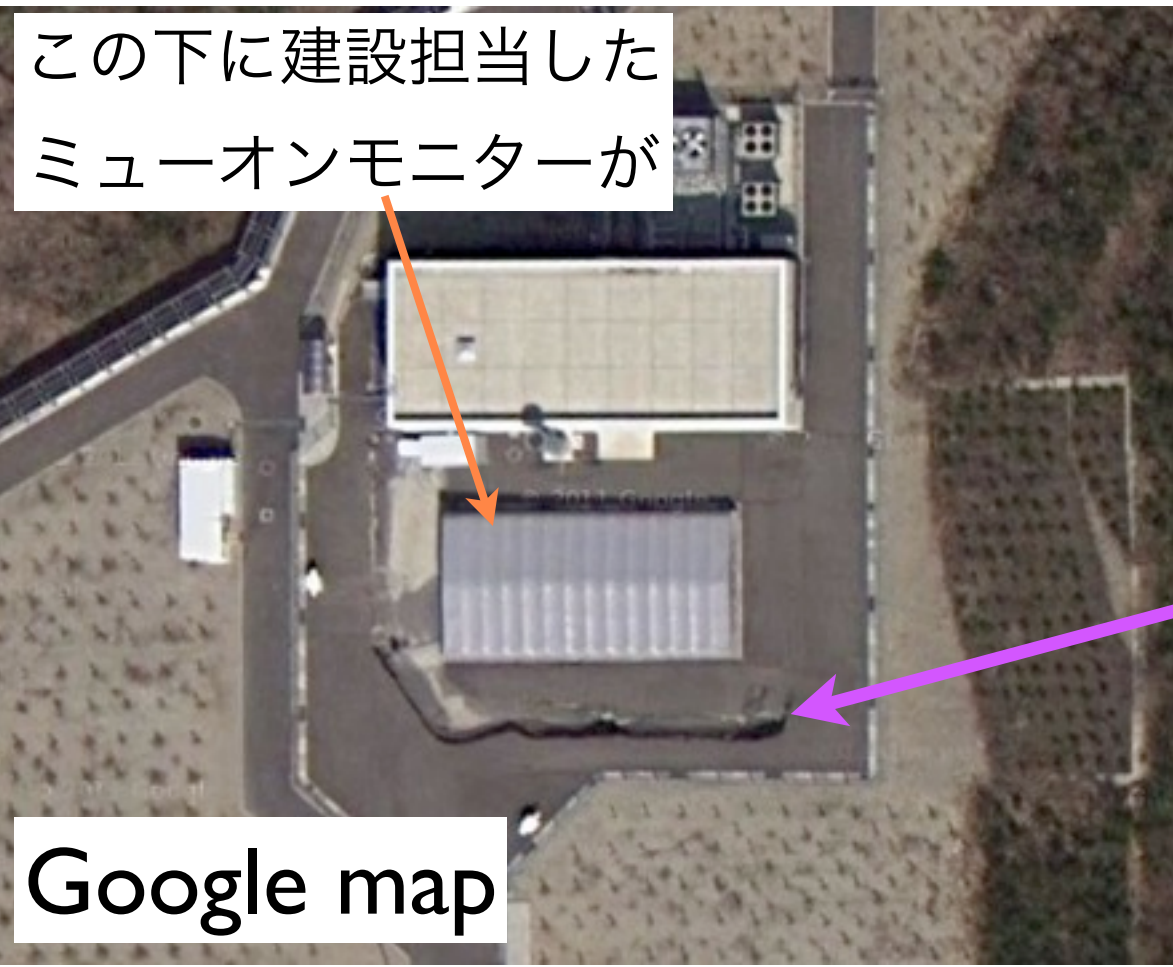
これまでのデータ収集



本日は現在のフルデータ(3.01×10^{20} POT)による結果

(NEUTRINO2012時点では 2.56×10^{20})

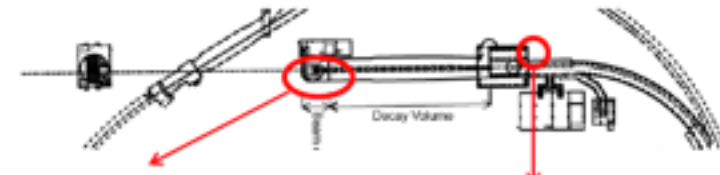
この下に建設担当した
ミューオンモニターが



Google map



ニュートリノビームダンプ周辺、空調室外機



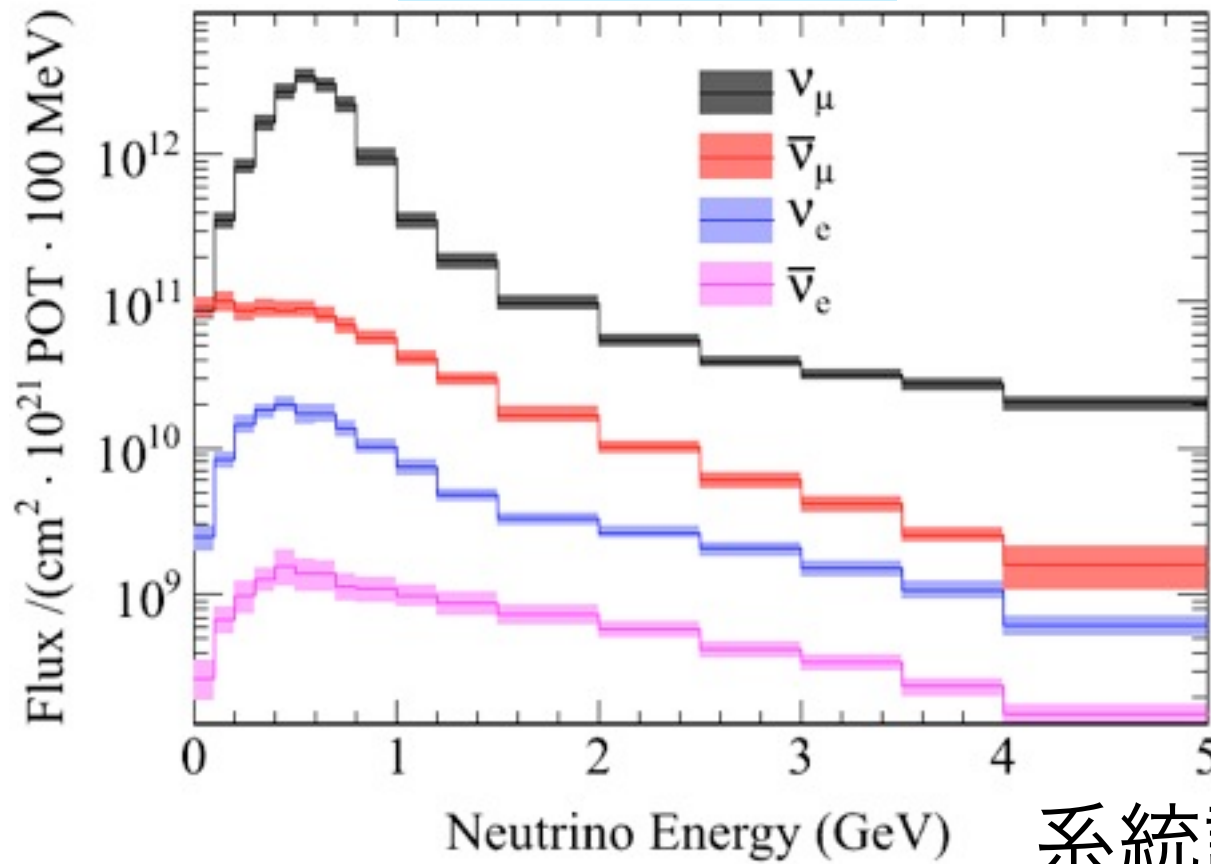
◆ 南側(ビーム上流から下流を見る)



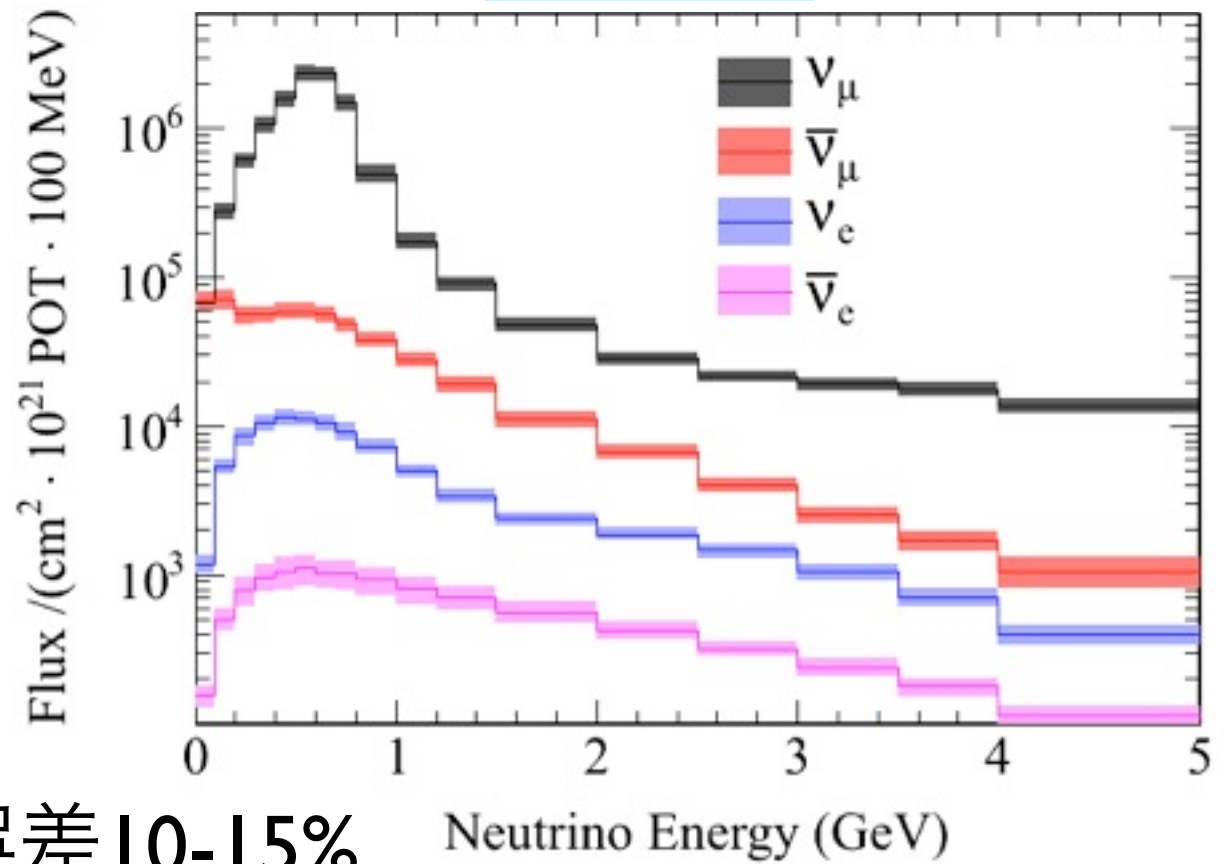
ν フラックス(MC)

CERN-NA61で測定された $\pi^\pm \cdot K^+$ の生成断面積を元に

前置検出器



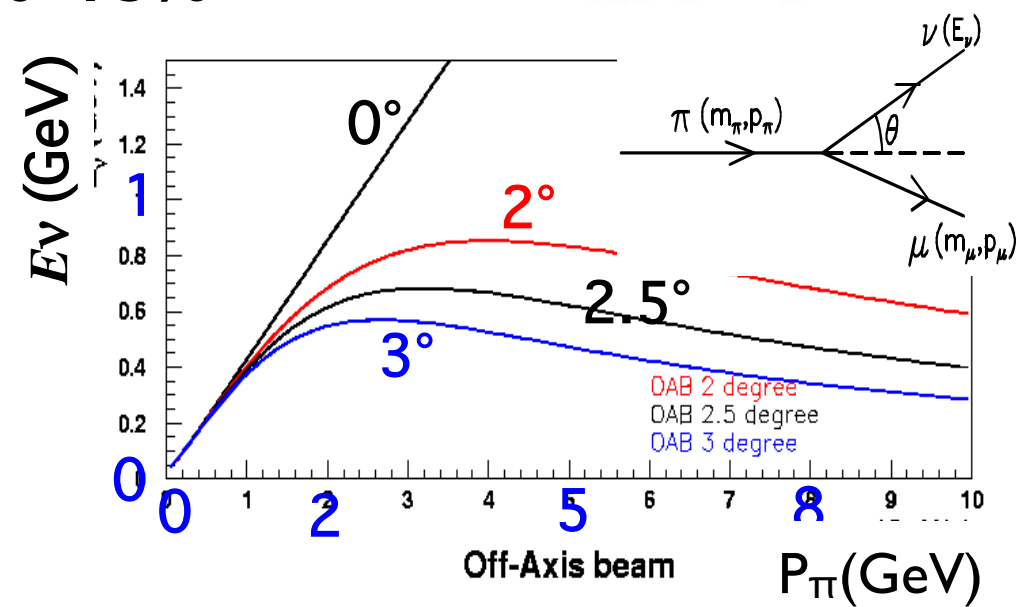
Super-K



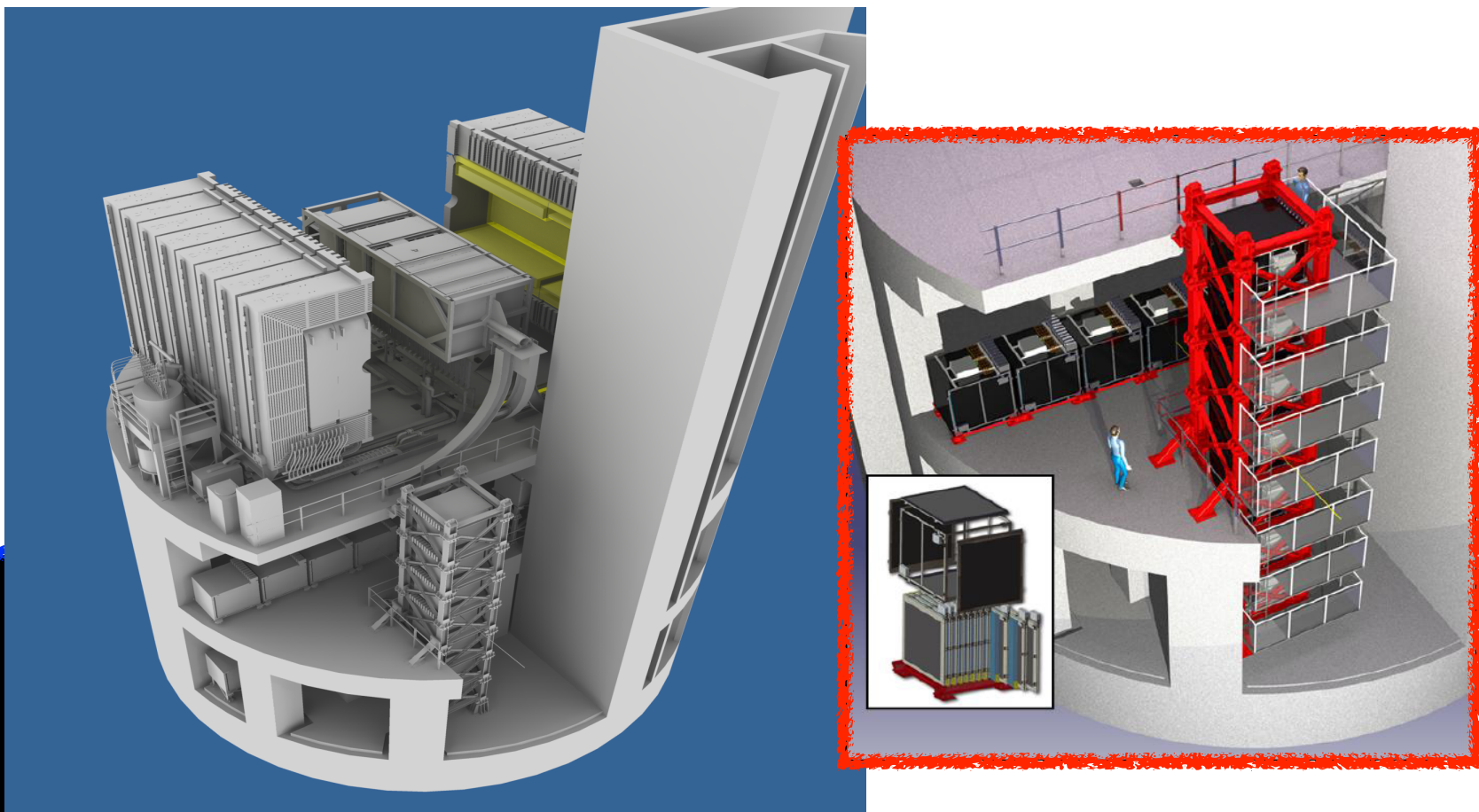
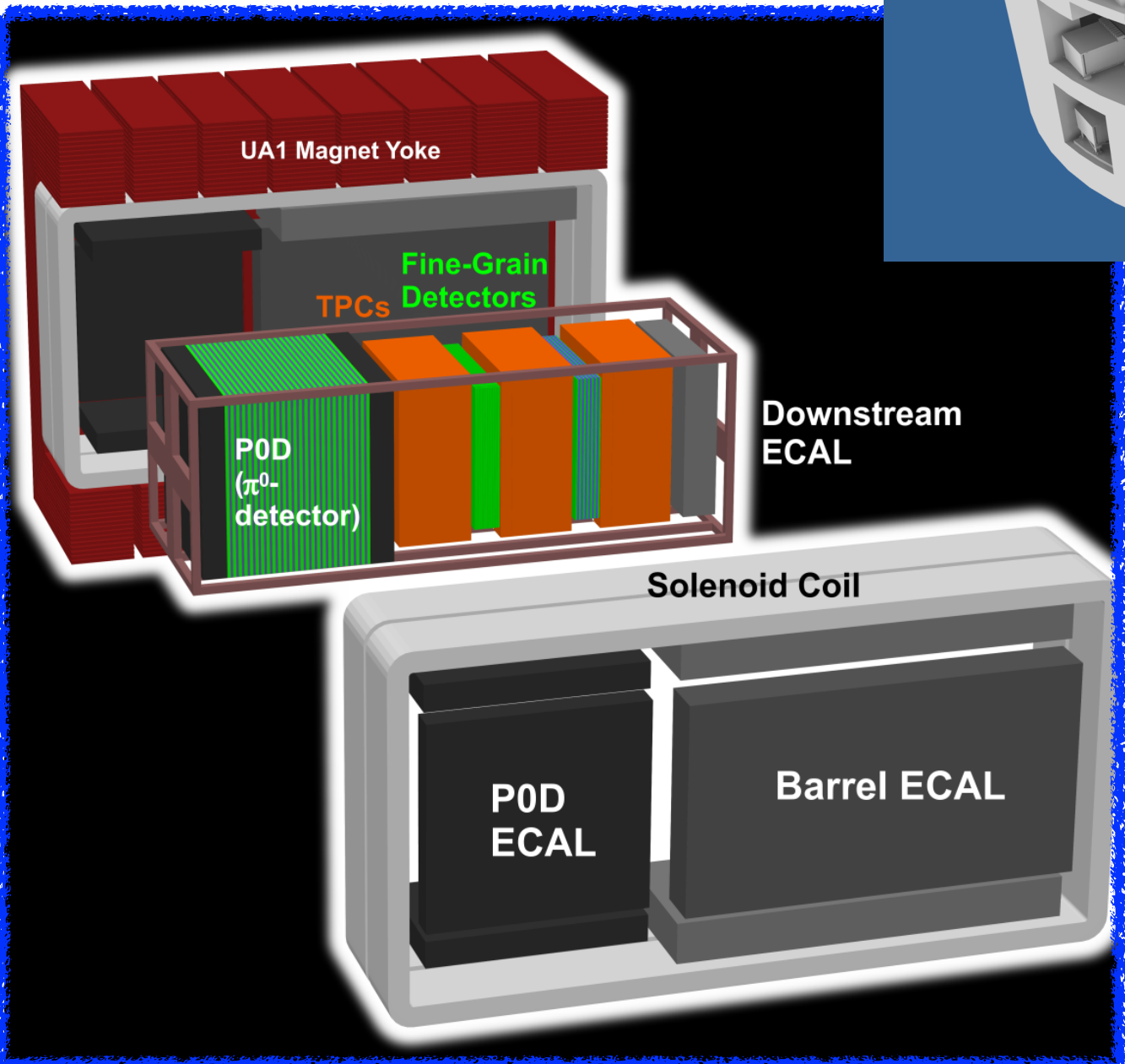
系統誤差 10-15%

Off-axis beam

- 振動が最大となる~0.6GeVにピーク
- 高エネルギーの ν (BG源)は少ない
- νe のコンタミ<1%

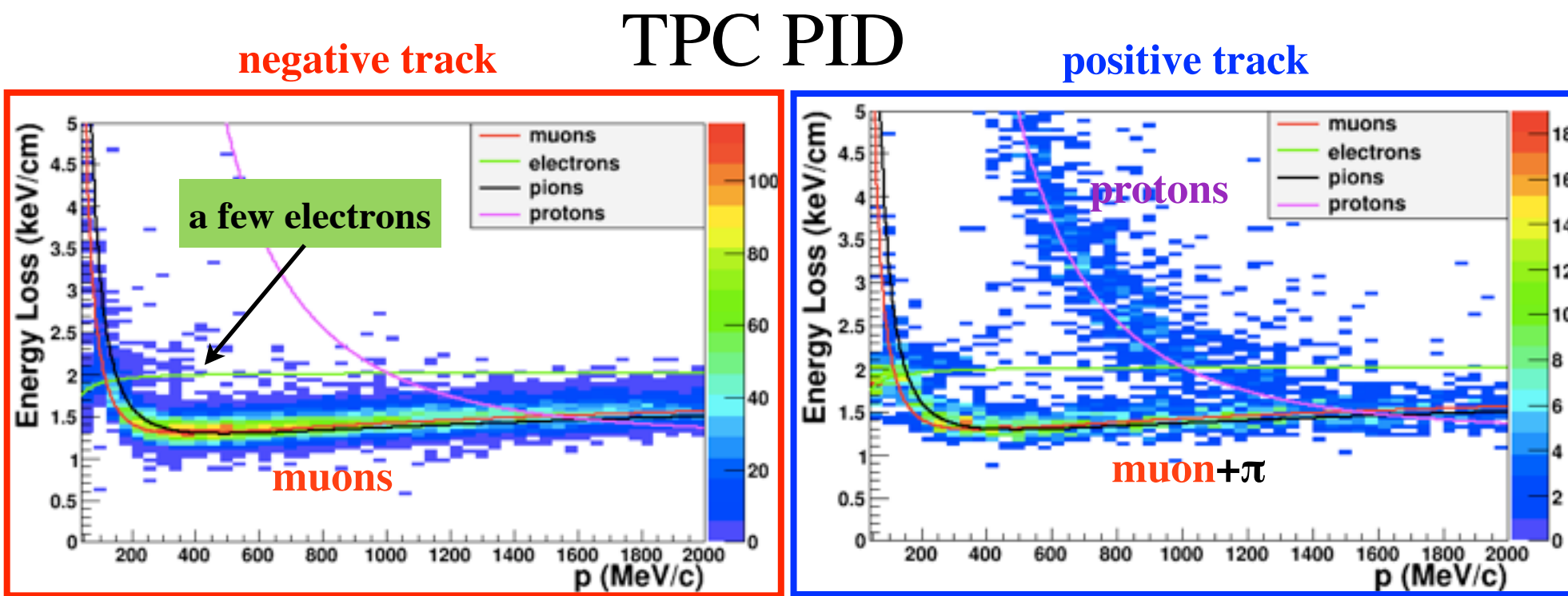
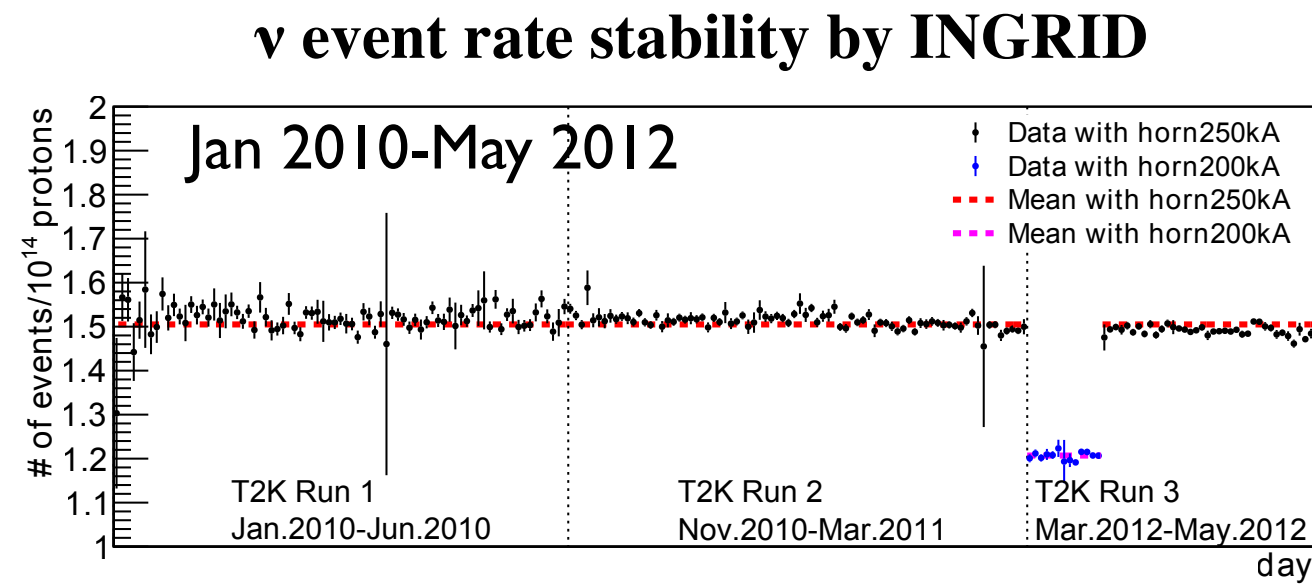
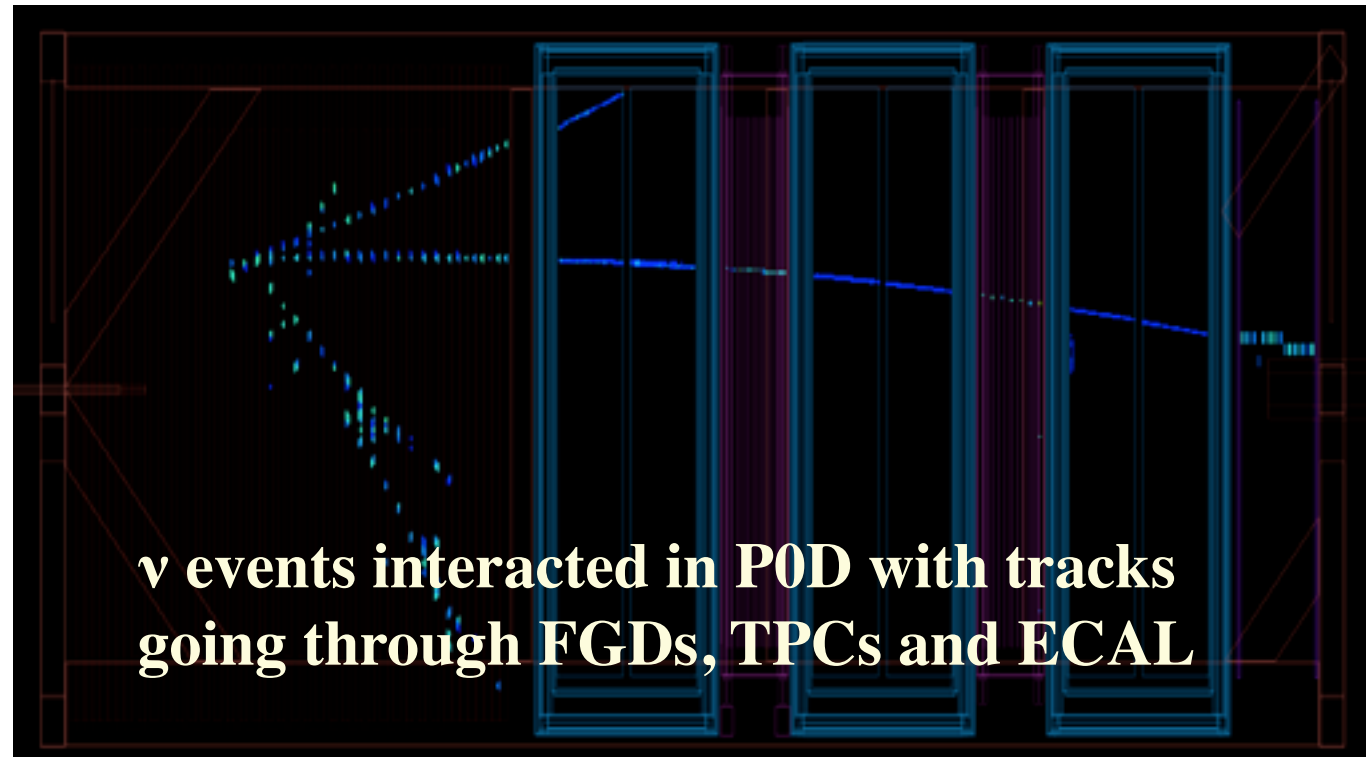


前置検出器



- **INGRID @ on-axis (0 degree)**
 - ν beam monitor [rate, direction, stability]
- **ND280 @ 2.5 degree off-axis**
 - Normalization of Neutrino Flux
 - Measurement of neutrino cross sections.
 - Dipole magnet w/ 0.2T
 - **P0D:** π^0 Detector
 - **FGD+TPC:** Target + Particle tracking
 - **EM calorimeter**
 - **Side-Muon-Range Detector**

順調に稼働しています



•INGRID [RUN I-3 data]

- ν rate stability
- beam direction:
 - -0.01 ± 0.33 mrad (x)
 - -0.11 ± 0.37 mrad (y)

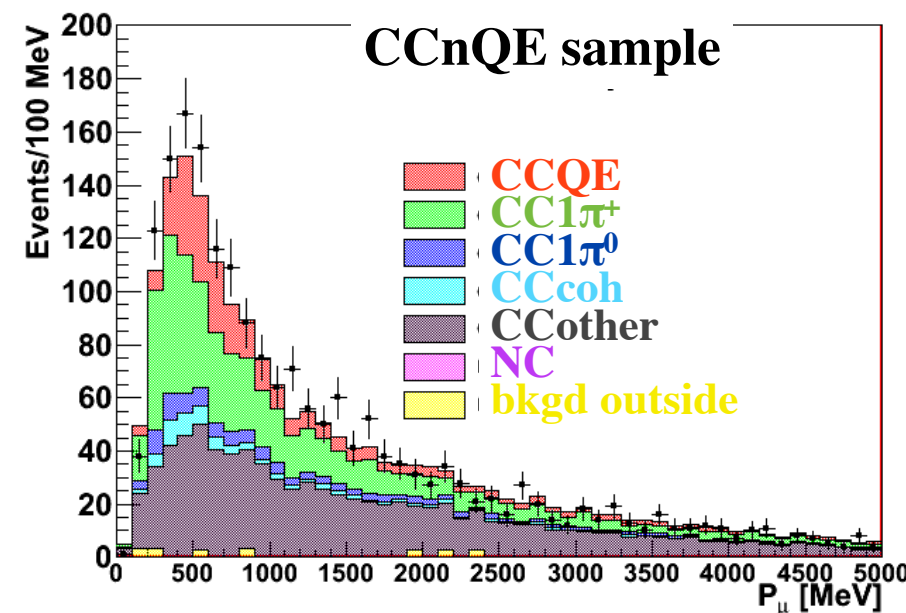
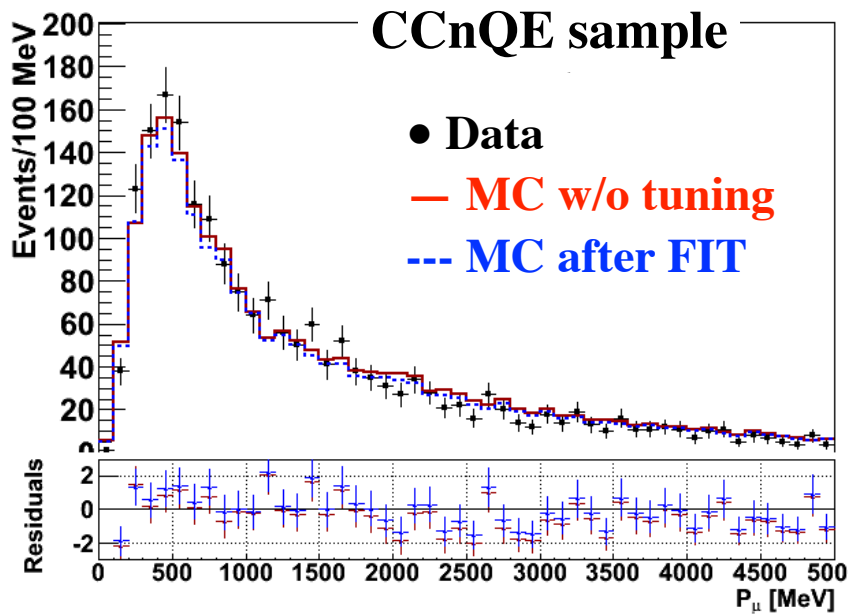
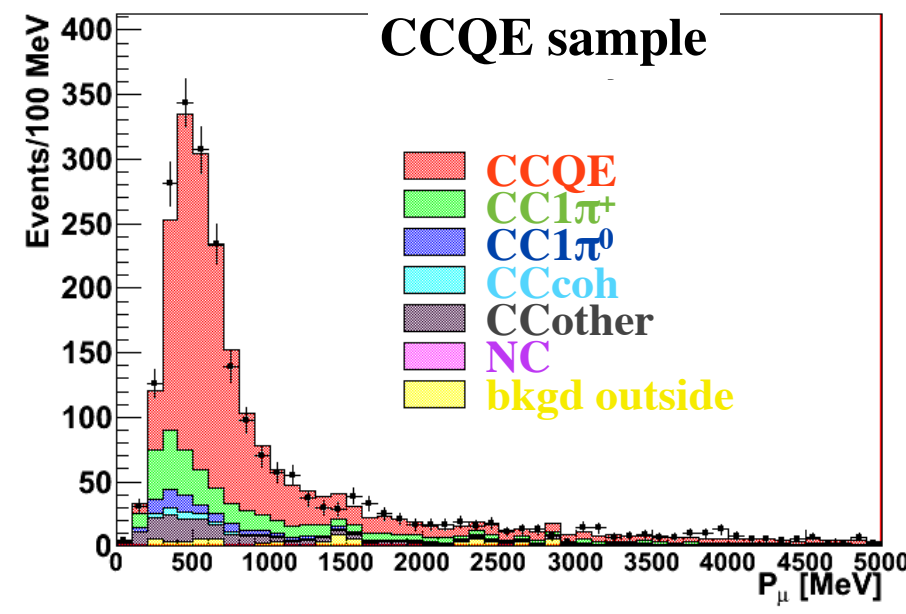
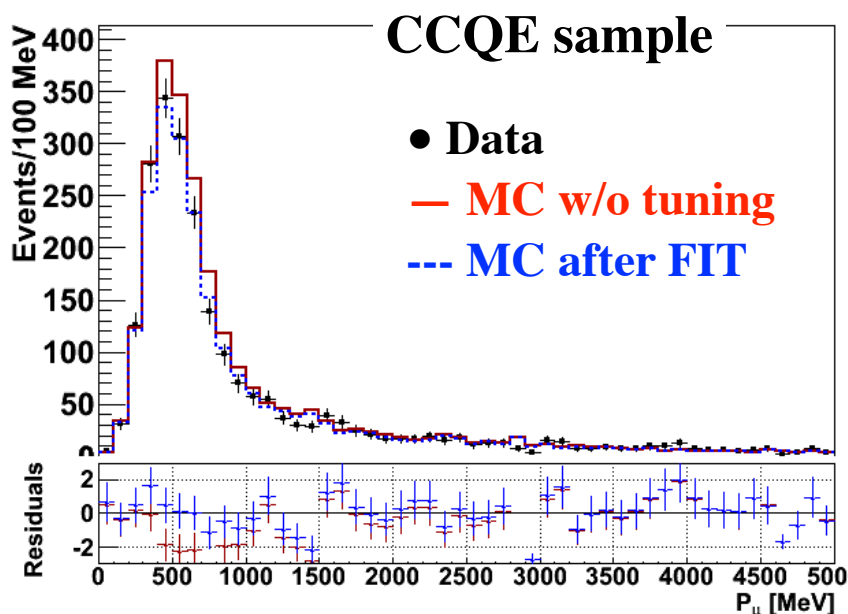
•ND280 [RUN I-2 data]

- excellent PID and tracking capability
- identification of the neutrino interactions.

ν_μ の測定 @ ND280

(using 1.08×10^{20} POT
till Mar.2011)

Events in P_μ vs. θ_μ are used in FIT to constrain the flux and ν cross sections (MC predictions at ND280 and SK).



- Good negative track in FV.
 - Upstream TPC veto
 - muon ID by TPC
- for CCQE
- **I FGD-TPC track**
 - **No decay-e in FGD**

For CCQE selection
40% eff. w/ 72% purity

2012年のデータも
変化ないことは確認
(現在アップデート中)

フラックス+断面積の制限

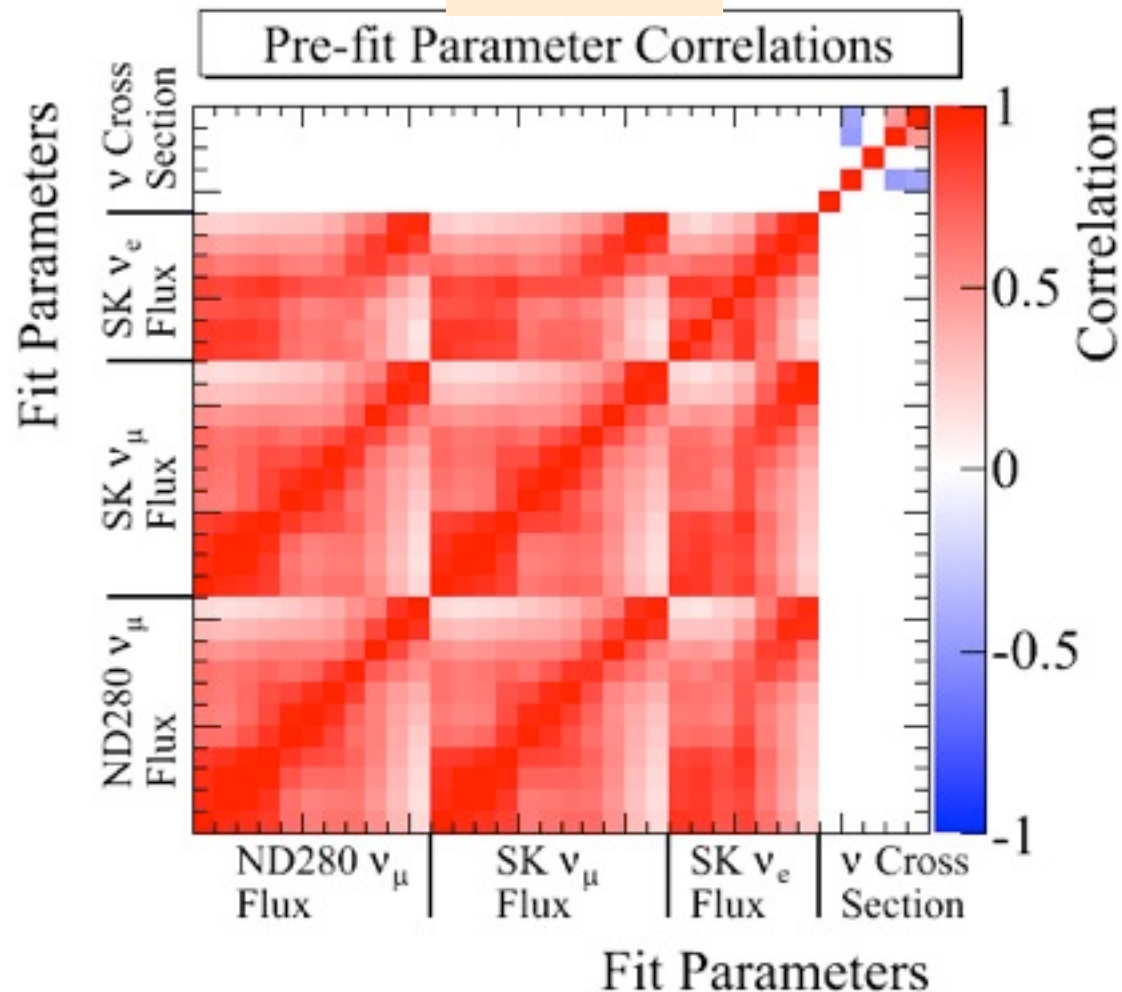
フラックスの予測
(NA61, beamline meas.)

前置検出器の測定
(p_μ, θ_μ)

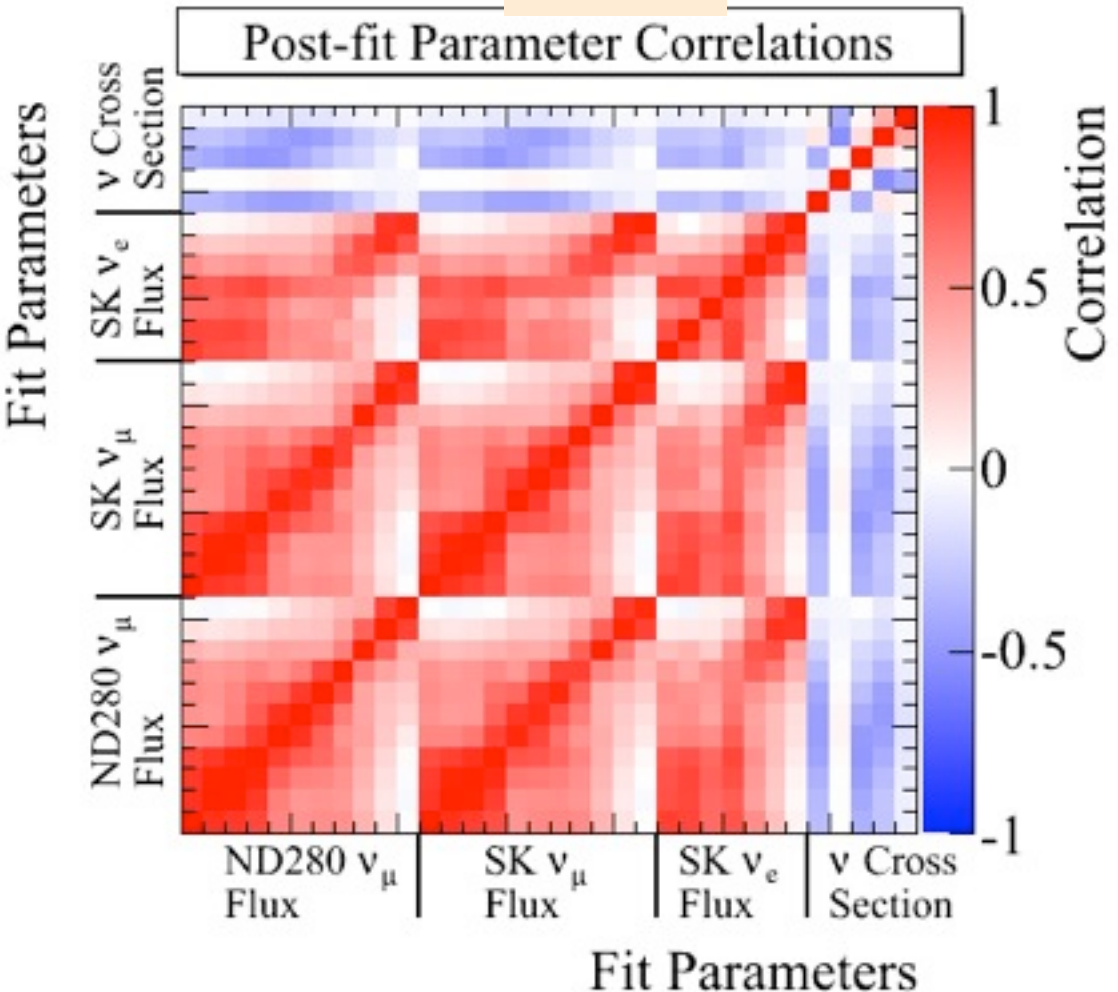
反応断面積の不定性
(過去の実験, モデル)

Correlationも全部入れてフィット

Before



After



SKでの予想の不定性を減らす

The predicted number of events and systematic uncertainties

The predicted # of events w/ 3.01×10^{20} p.o.t.

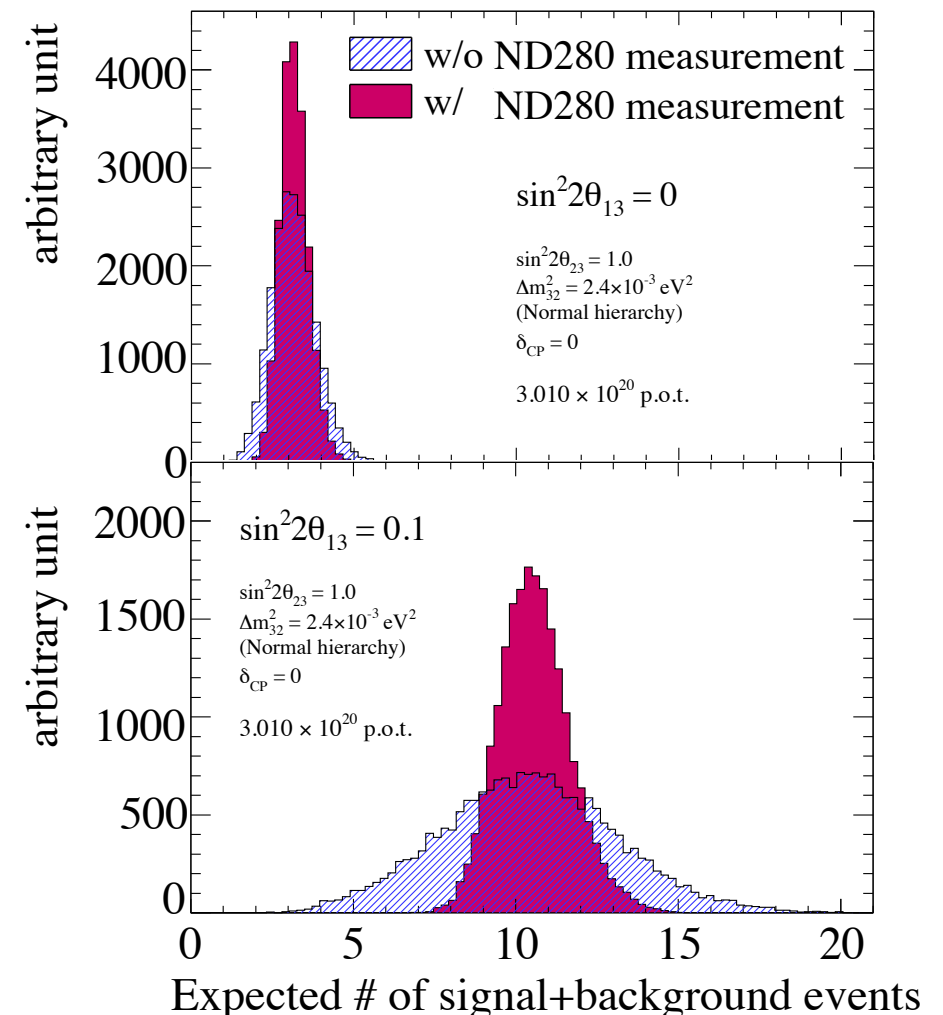
Event category	$\sin^2 2\theta_{13} = 0.0$	$\sin^2 2\theta_{13} = 0.1$
Total	3.22 ± 0.43	10.71 ± 1.10
ν_e signal	0.18	7.79
ν_e background	1.67	1.56
ν_μ background (mainly NC π^0)	1.21	1.21
$\bar{\nu}_\mu + \bar{\nu}_e$ background	0.16	0.16

Systematic uncertainties

Error source	$\sin^2 2\theta_{13} = 0$	$\sin^2 2\theta_{13} = 0.1$
Beam flux+ ν int. in T2K fit	8.7 %	5.7 %
ν int. (from other exp.)	5.9 %	7.5 %
Final state interaction	3.1 %	2.4 %
Far detector	7.1 %	3.1 %
Total	13.4 %	10.3 %
(T2K 2011 results:	~23%	~18%)

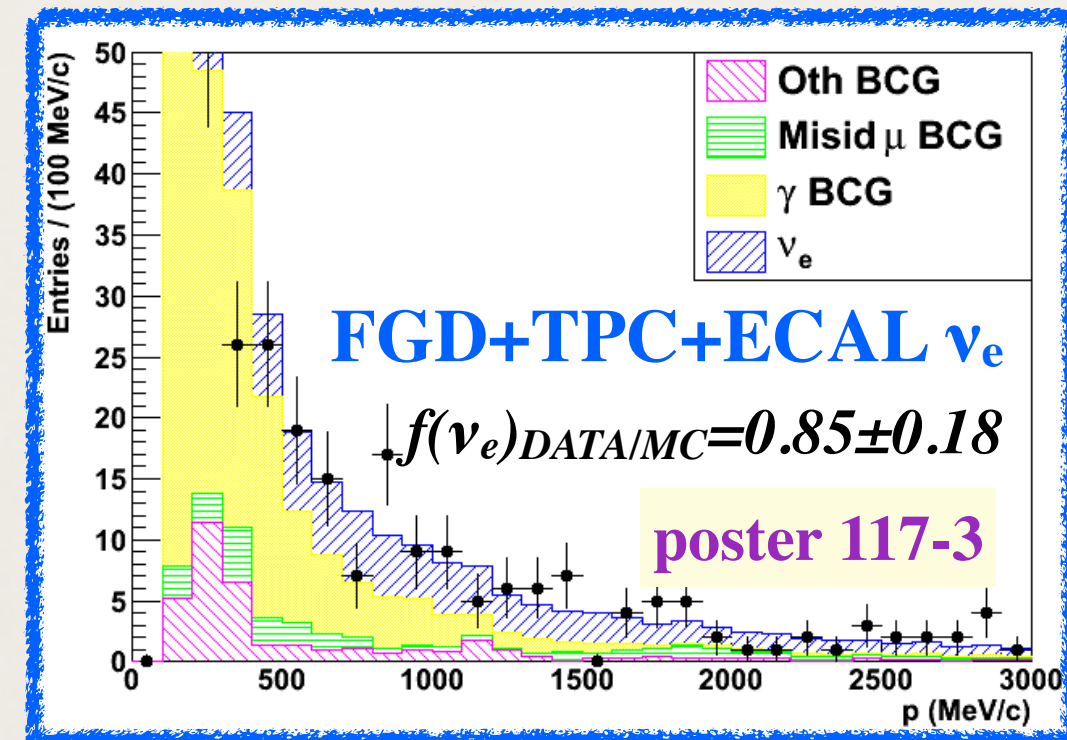
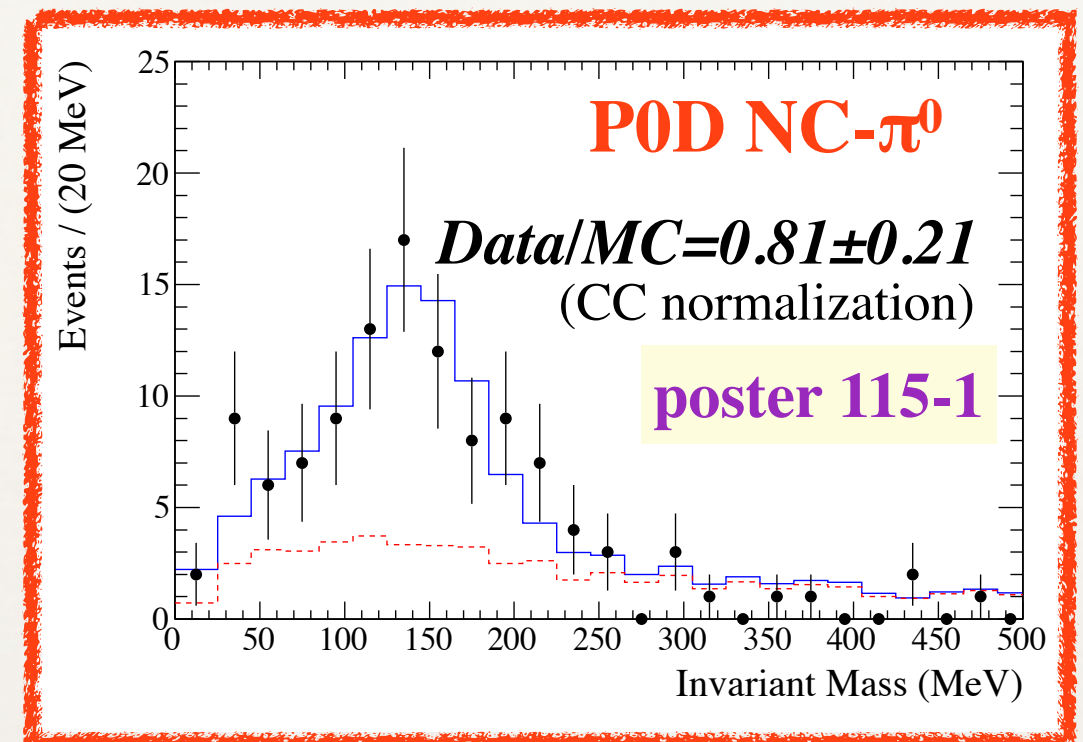
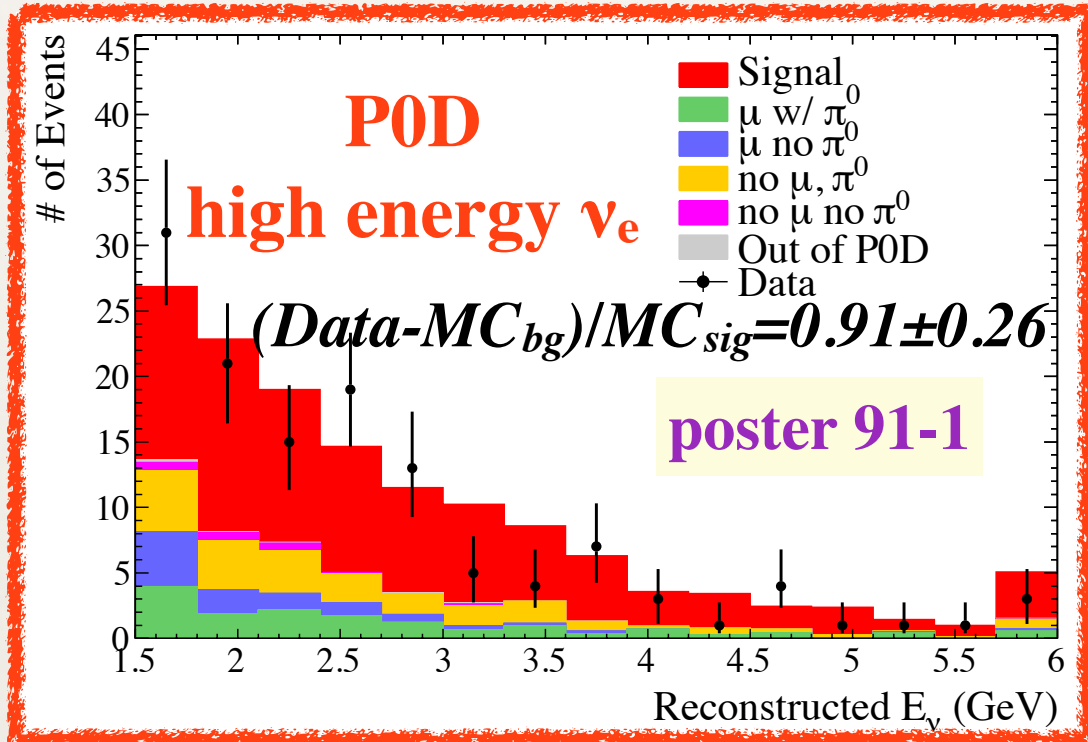
big improvement from the T2K 2011 results

the predicted # of event distribution



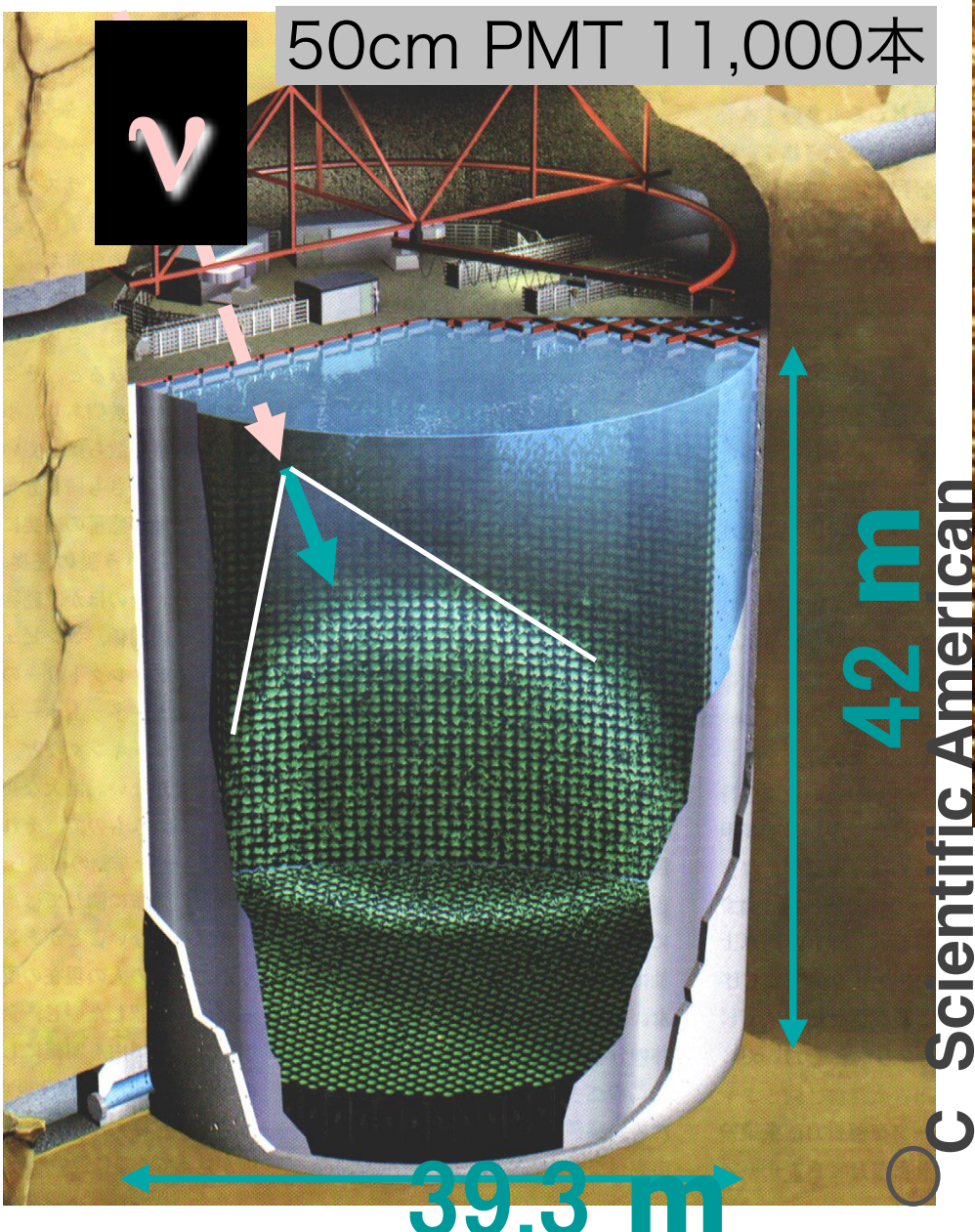
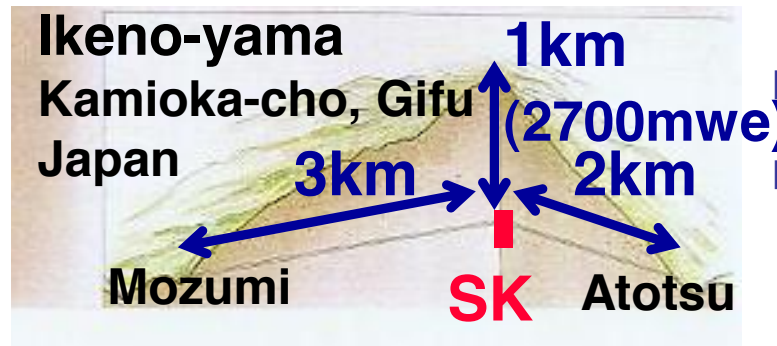
Uncertainties are reduced using ND280 measurement

ND280 CC- ν_e and NC- π^0

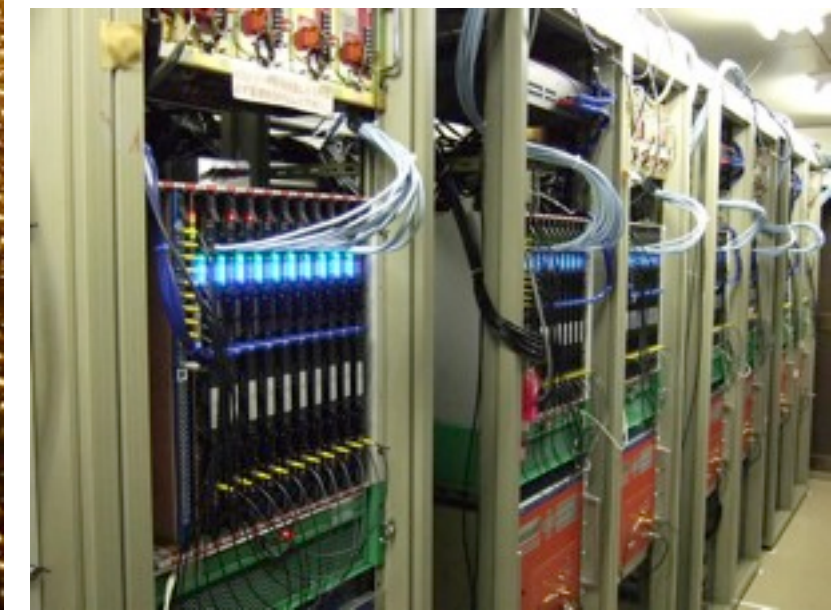


- Dominant backgrounds for Electron Neutrino Appearance are measured in ND280.
- Measurements of both CC- ν_e and NC- π^0 are consistent with the MC prediction.
- *Check the background events at ND280 for ν_e appearance.*

スーパー・カミオカンデ



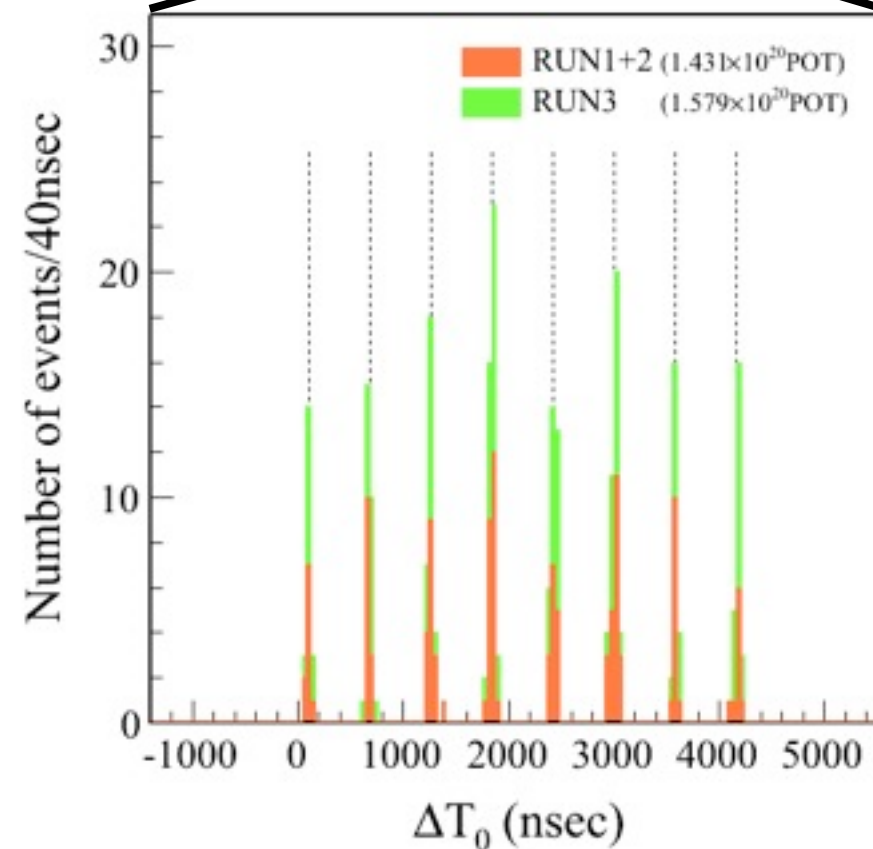
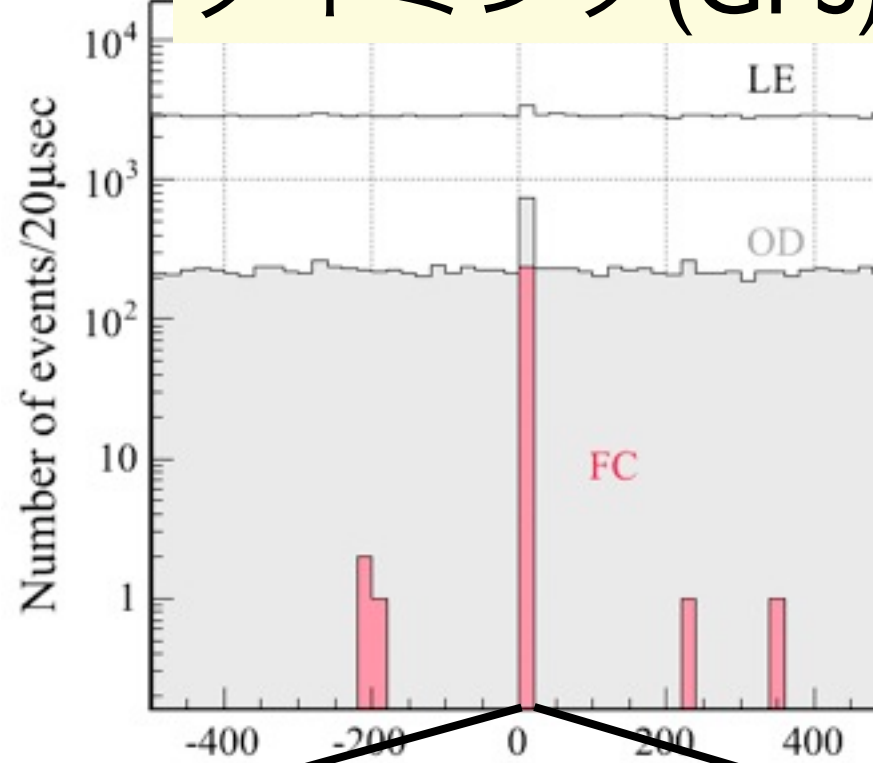
有効質量 22.5kt



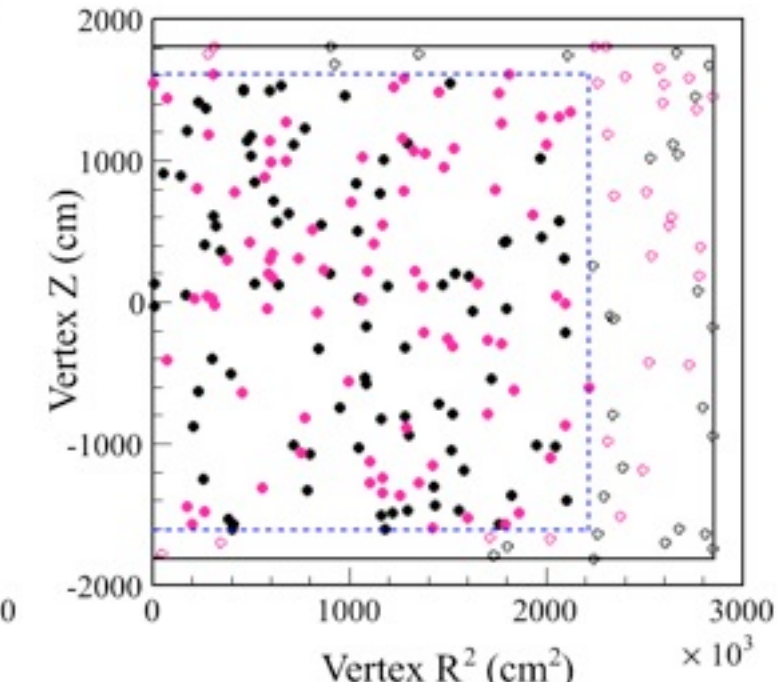
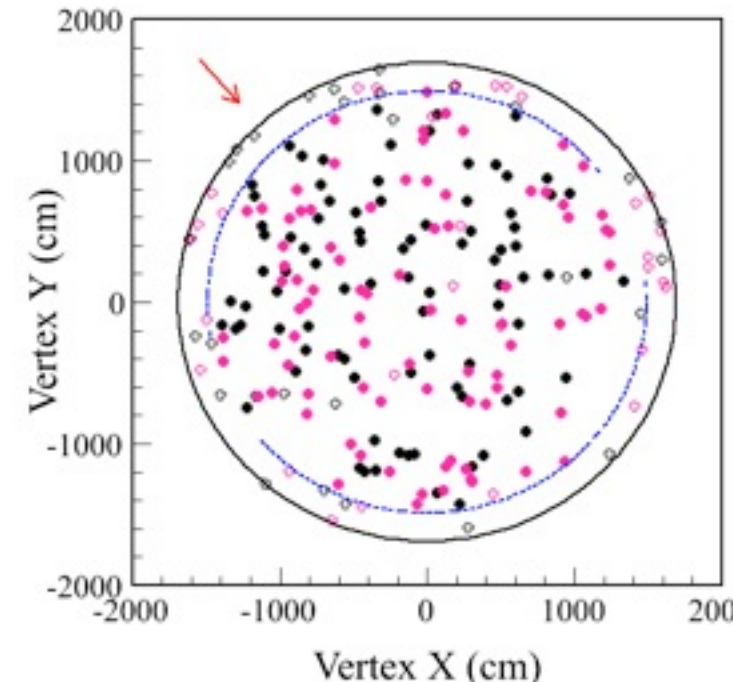
T2K開始前に読み出し回路更新
→ ±500μsのヒット全て記録

J-PARCからのνを選ぶ

タイミング(GPS)

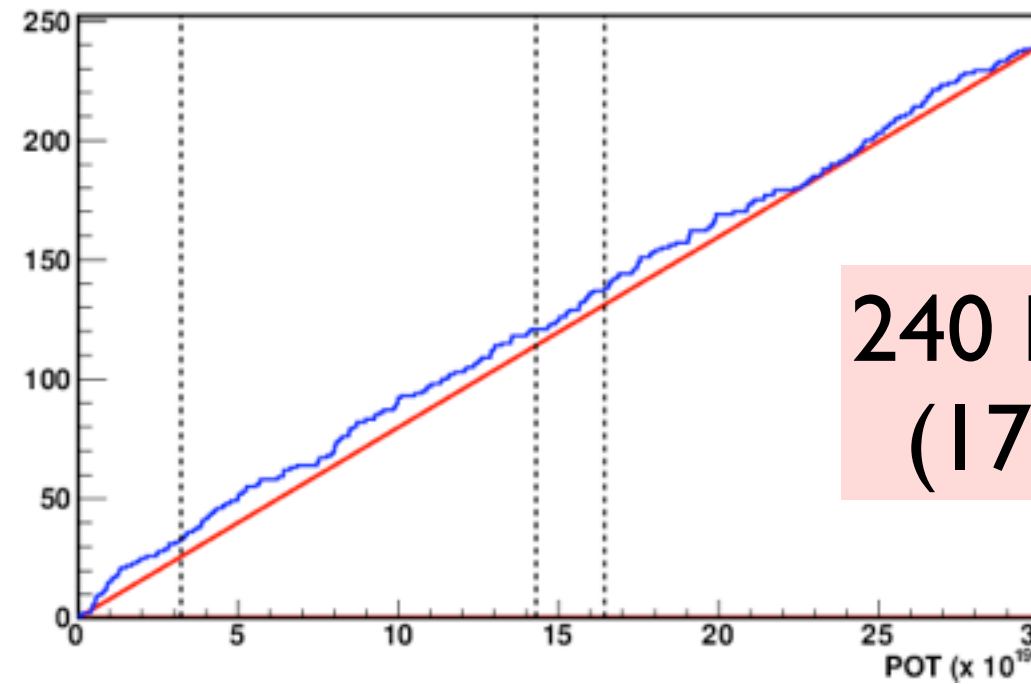


Vertex of fully contained events

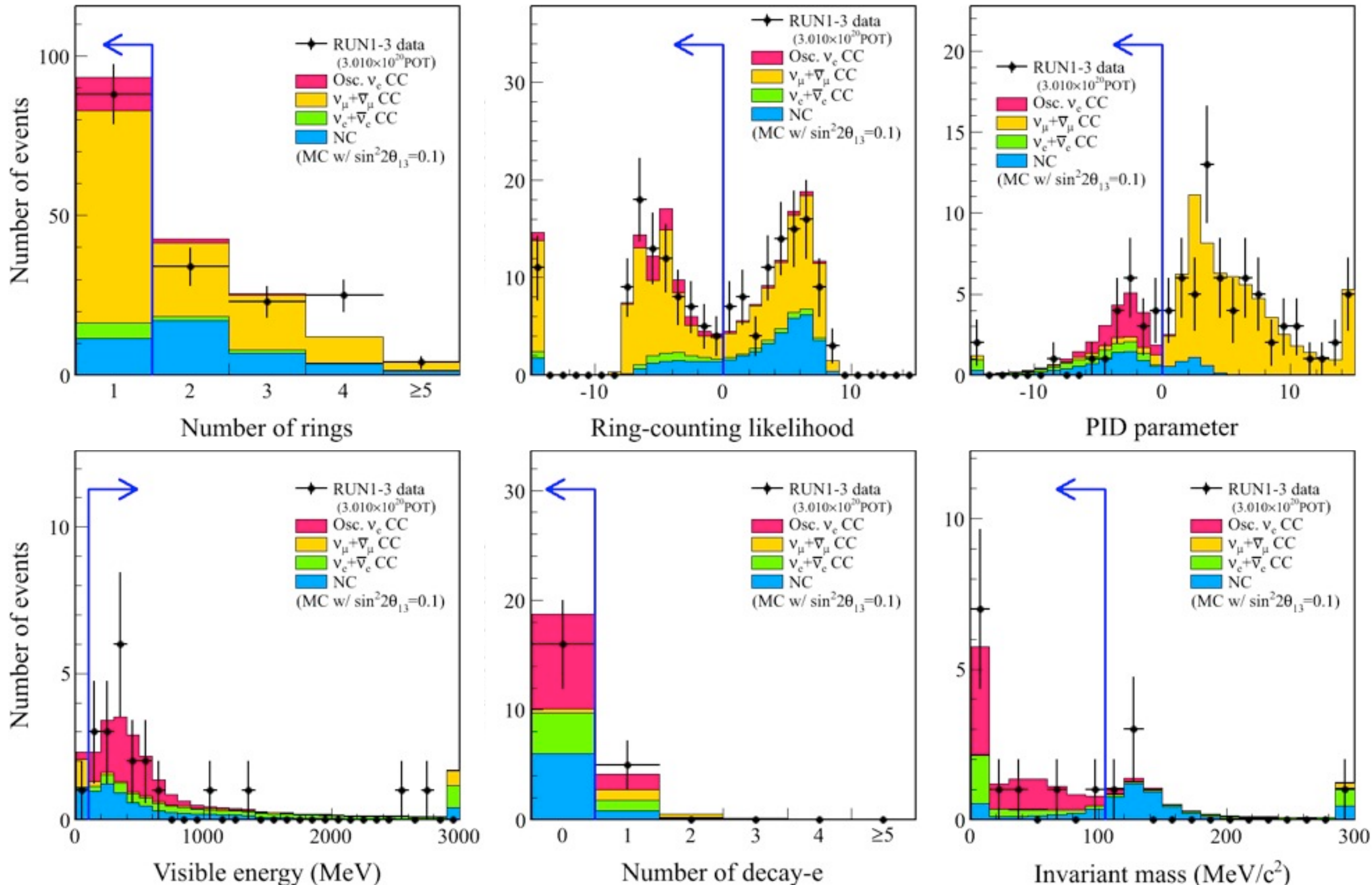


色つきが2012年のイベント
十字はout of fiducial volume

FC Events RUN1+RUN2+RUN3

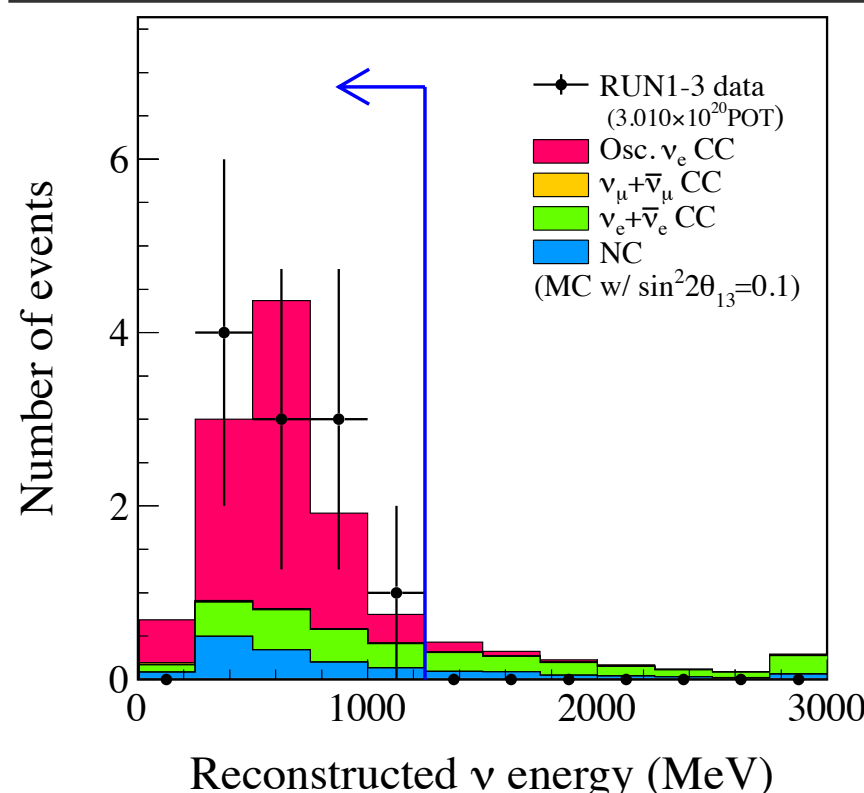


電子ニュートリノ選択



ν_e candidate event selection

RUN 1+2+3 3.010×10^{20} POT	Data	MC Expectation w/ $\sin^2 2\theta_{13} = 0.1$				
		Signal $\nu_\mu \rightarrow \nu_e$	BG total	CC ($\nu_\mu + \bar{\nu}_\mu$)	CC($\nu_e + \bar{\nu}_e$)	NC
Fully contained FV at beam timing	174	12.35	165.47	117.33	7.67	40.48
Single ring	88	10.39	82.78	66.41	4.82	11.55
e-like	22	10.27	15.60	2.72	4.79	8.10
$E_{\text{vis}} > 100 \text{ MeV}$	21	10.04	13.53	1.76	4.75	7.01
No decay-e	16	8.63	10.09	0.33	3.76	6.00
2 γ invariant mass cut	11	8.05	4.32	0.09	2.60	1.64
$E_{\nu}^{\text{rec}} < 1250 \text{ MeV}$ (MC $\sin^2 2\theta_{13} = 0$ case)	11	7.81 (0.18)	2.92 (3.04)	0.06 (0.06)	1.61 (1.73)	1.25 (1.25)
Efficiency [%]		60.7	1.0	0.0	20.0	0.9



11 candidate events are observed

$$N_{\text{exp}} = 3.22 \pm 0.43 \text{ for } \sin^2 2\theta_{13} = 0$$

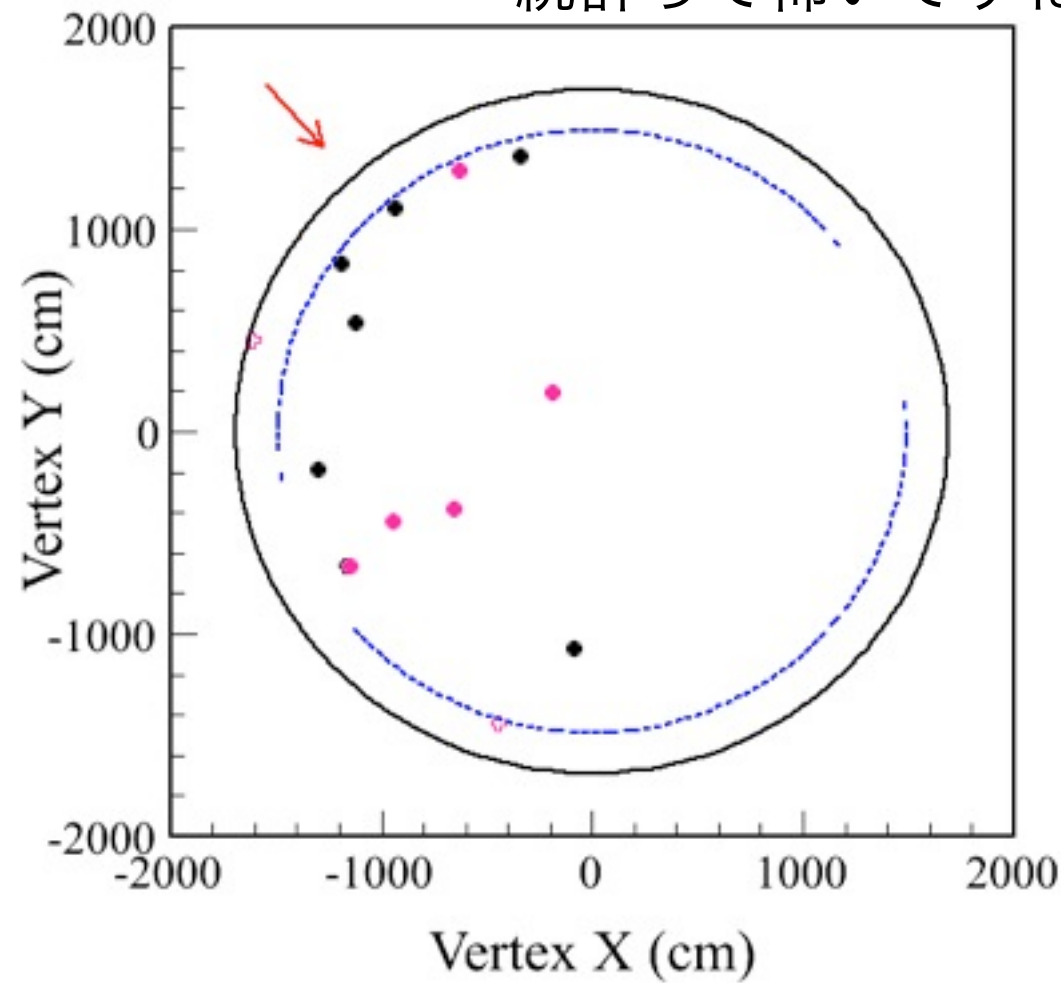
The probability (p-value) to observe 11 or more events with $\theta_{13} = 0$ is 0.08% (3.2 σ)

* No Look Elsewhere Effect

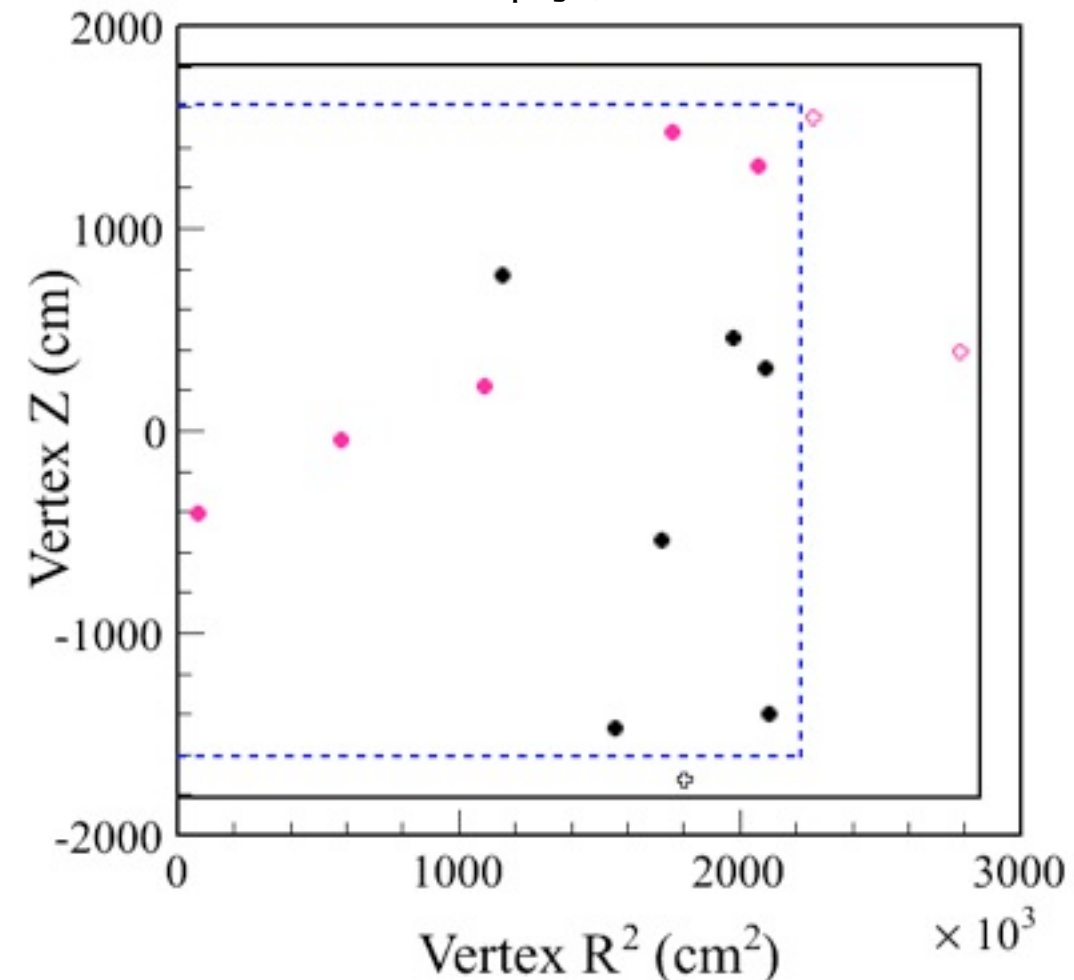
Evidence of ν_e appearance

バーテックス分布

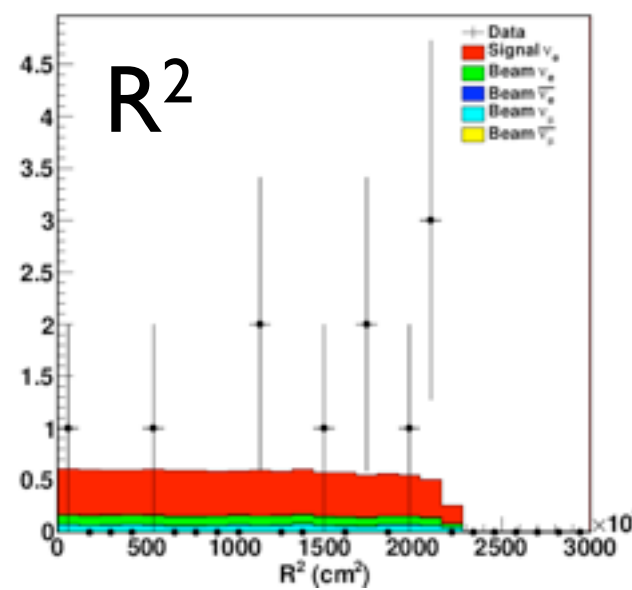
統計って怖いですね



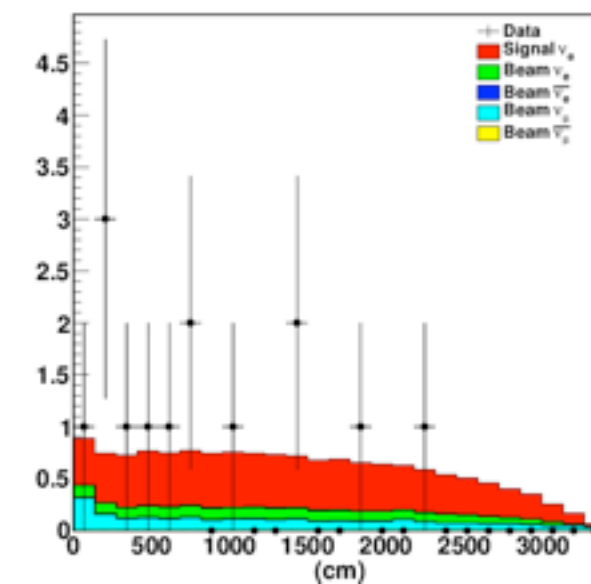
色つきが2012年のイベント
十字はout of fiducial volume



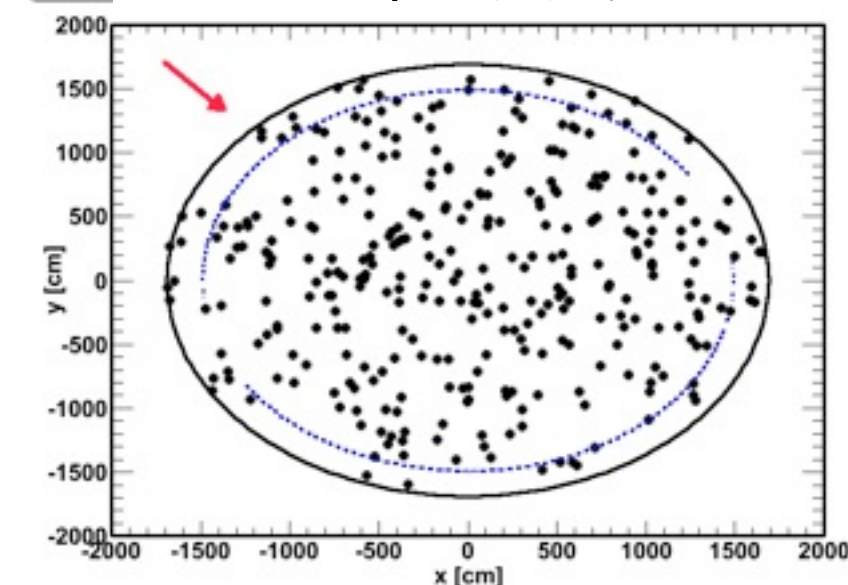
R^2 of FCFV Events for RUN1+RUN2+RUN3



ビーム方向の壁からの距離



T2K T2Kラン中の大気 ν e-like



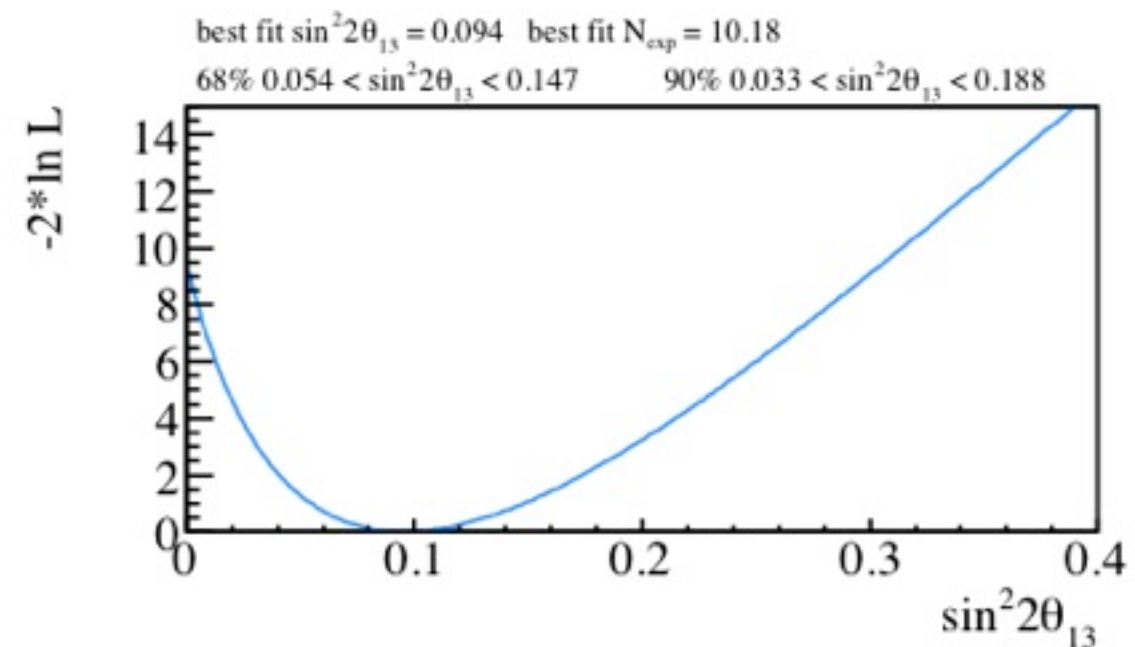
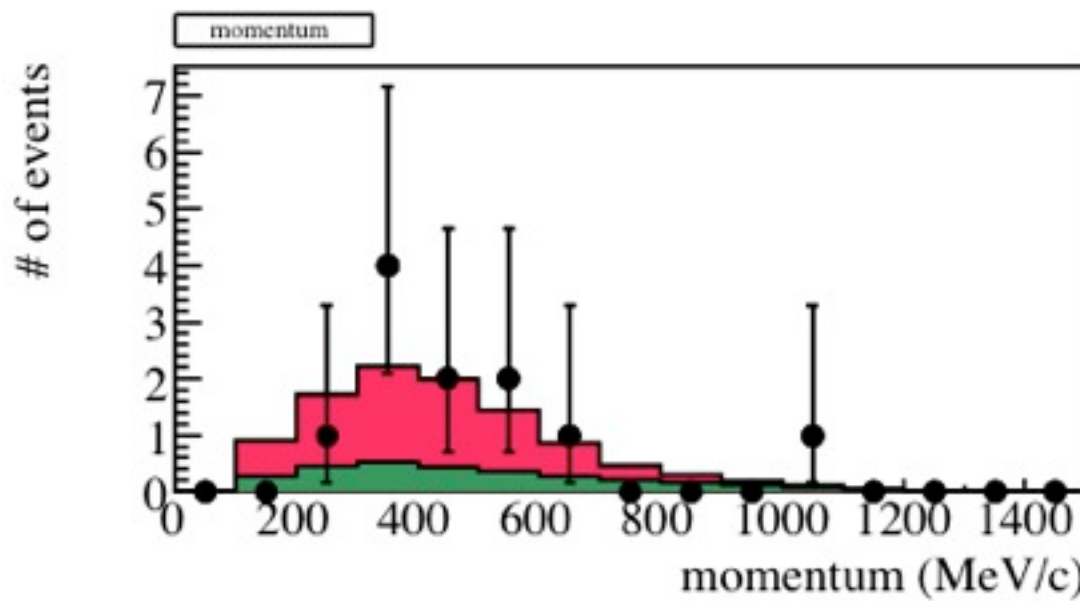
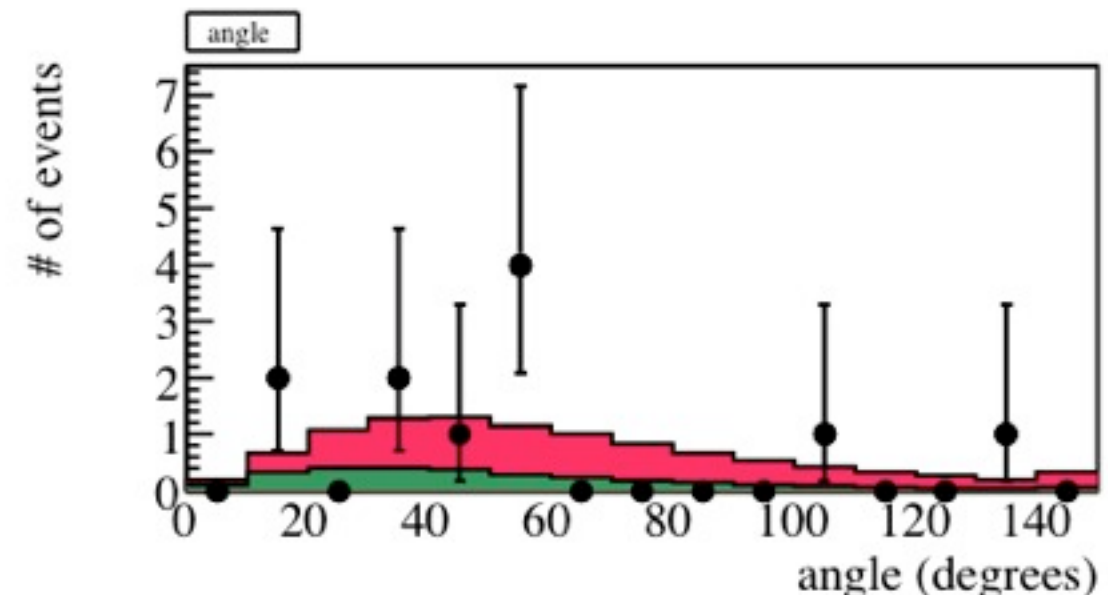
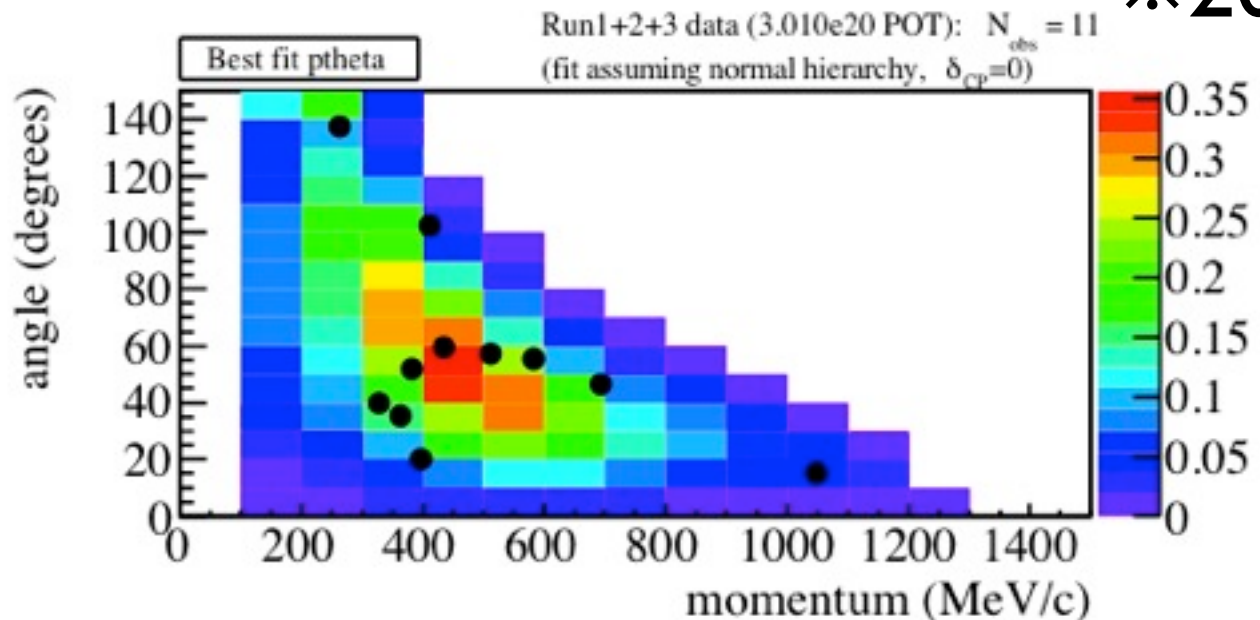
角度と運動量を使って解析

$$\mathcal{L}(N_{obs.}, \textcolor{blue}{x} \textcolor{red}{o} \textcolor{purple}{f}) = \mathcal{L}_{norm}(N_{obs.}; o, f) \times \mathcal{L}_{shape}(x; o, f) \times \mathcal{L}_{syst.}(f)$$

measurements, oscillation parameters

systematic parameters

※2011年はイベント数の情報だけ



Results

Allowed region of $\sin^2 2\theta_{13}$ for each value of δ_{CP}

best fit w/ 68% CL error @ $\delta_{CP}=0$

normal hierarchy:

$$\sin^2 2\theta_{13} = 0.094^{+0.053}_{-0.040}$$

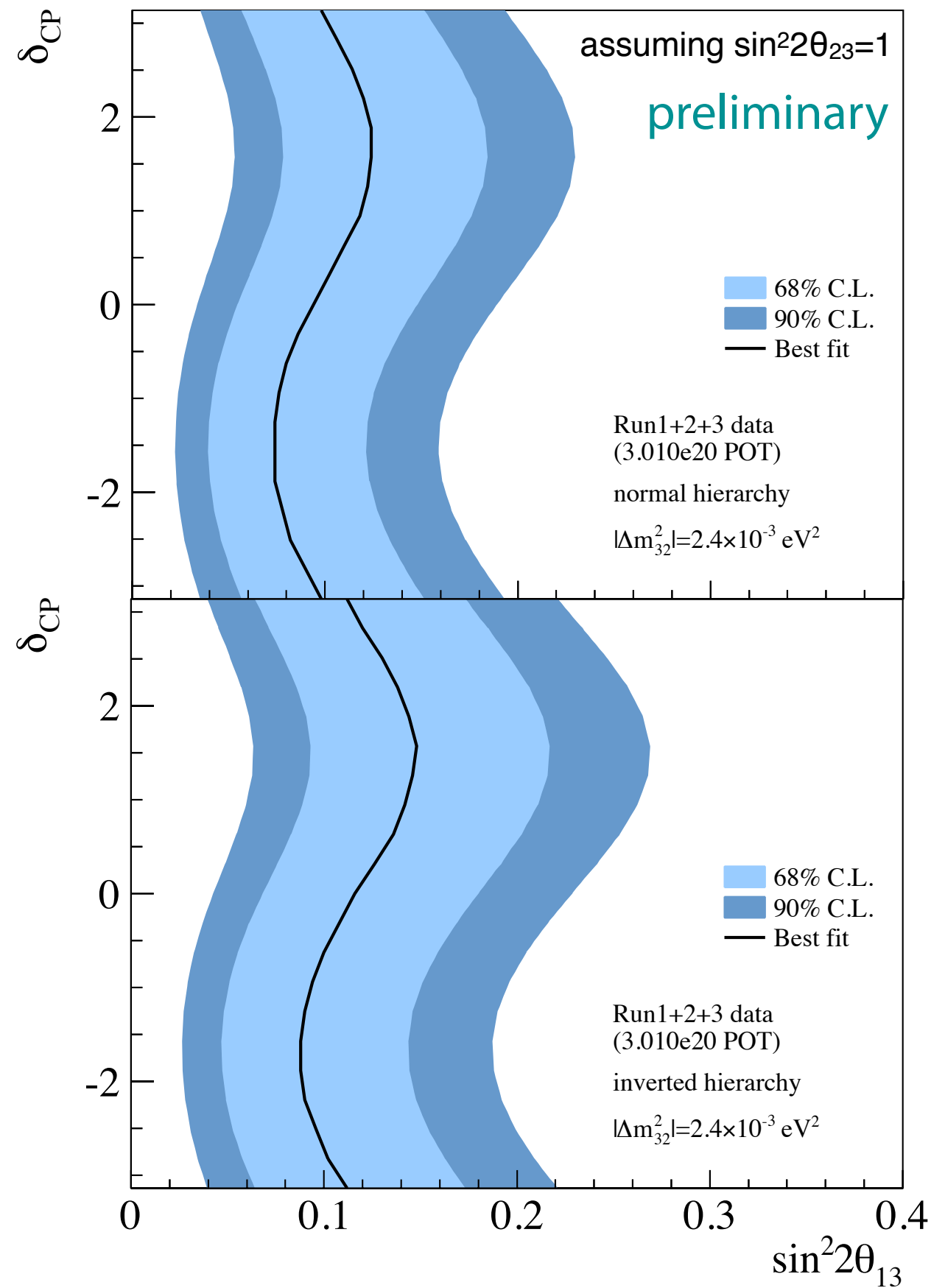
inverted hierarchy:

$$\sin^2 2\theta_{13} = 0.116^{+0.063}_{-0.049}$$

This result is consistent with
rate+shape (rec. E_ν) method and
rate only method

c.f 2011 result for normal (inverted) hierarchy

$$\sin^2 2\theta_{13} = 0.11^{+0.10}_{-0.06} \quad (0.14^{+0.12}_{-0.07})$$

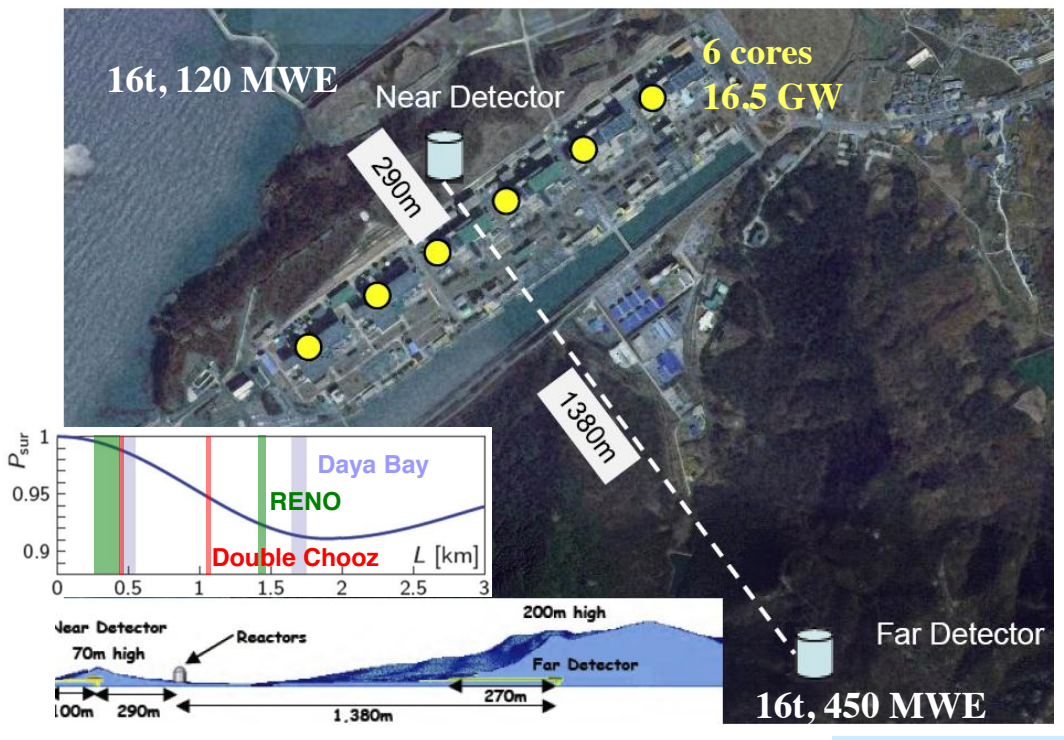
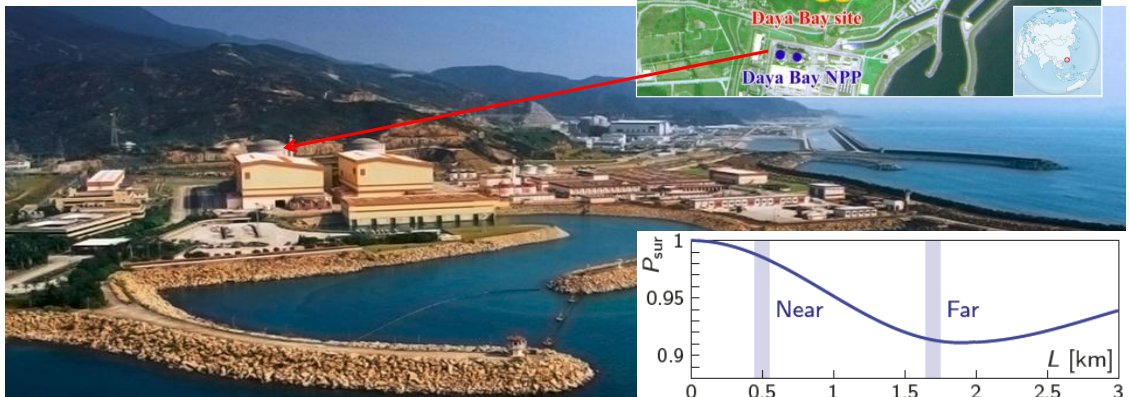


時間がないのでざっくりカット

RENO

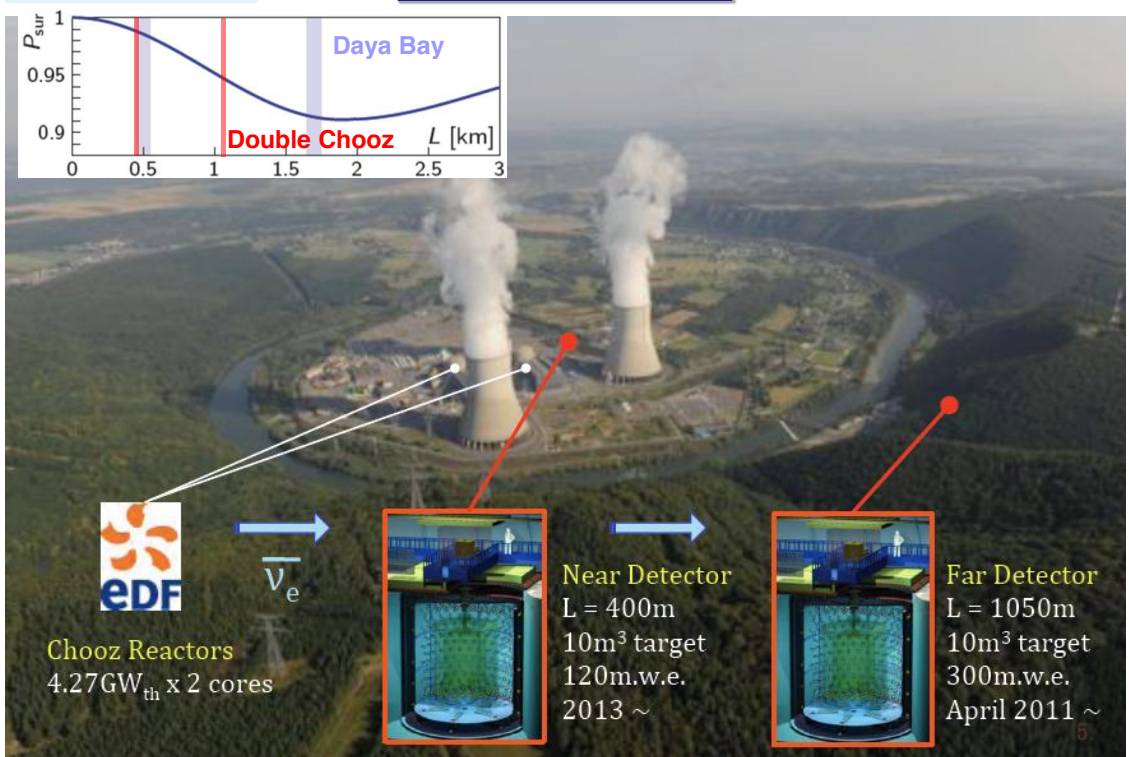
The Daya Bay Experiment

- 6 reactor cores, 17.4 GW_{th}
- Relative measurement
 - 2 near sites, 1 far site
- Multiple detector modules
- Good cosmic shielding
 - 250 m.w.e @ near sites
 - 860 m.w.e @ far site
- Redundancy



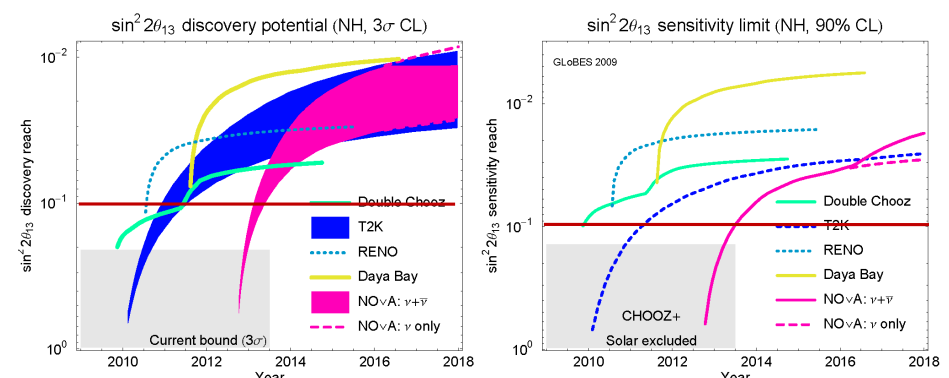
9

Double Chooz



Three on-going experiments

Experiment	Power (GW)	Detector(t) Near/Far	Overburden (m.w.e.) Near/Far	Sensitivity (3y,90% CL)
Daya Bay	17.4	40 / 80	250 / 860	~0.008
Double Chooz	8.5	8 / 8	120 / 300	~0.03
RENO	16.5	16 / 16	120 / 450	~0.02



Huber et al. JHEP 0911:044, 2009

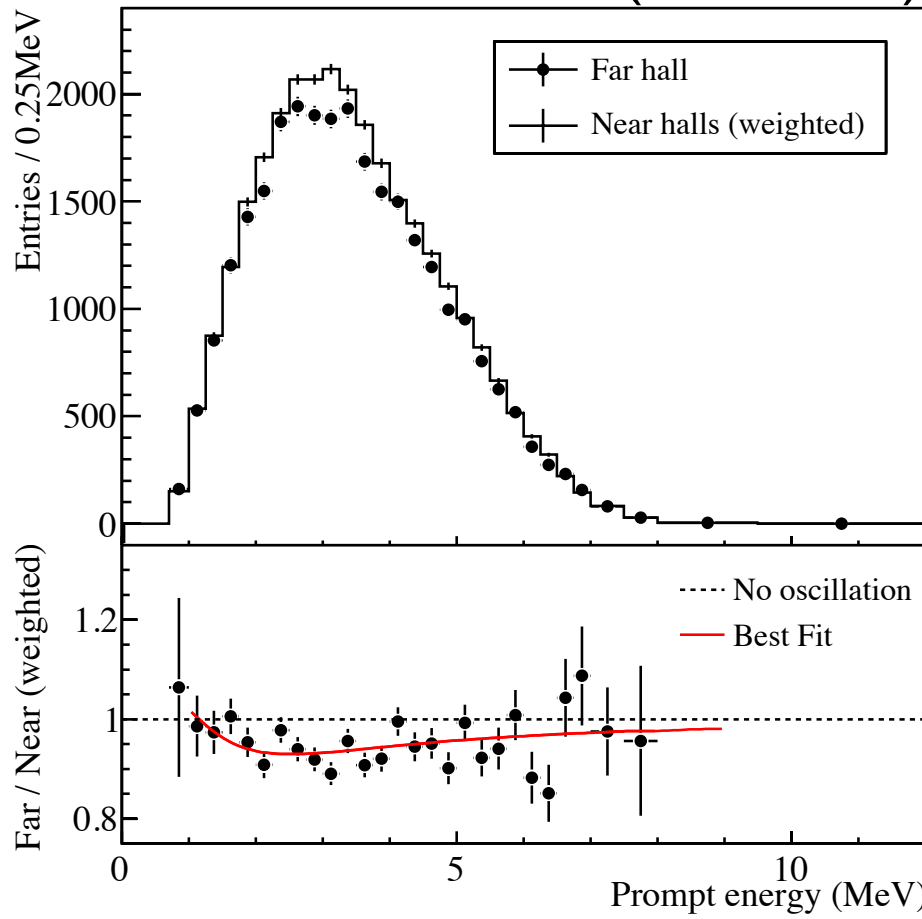
10

DayaBay, Double Choozについては
高エネルギーニュースに記事あります

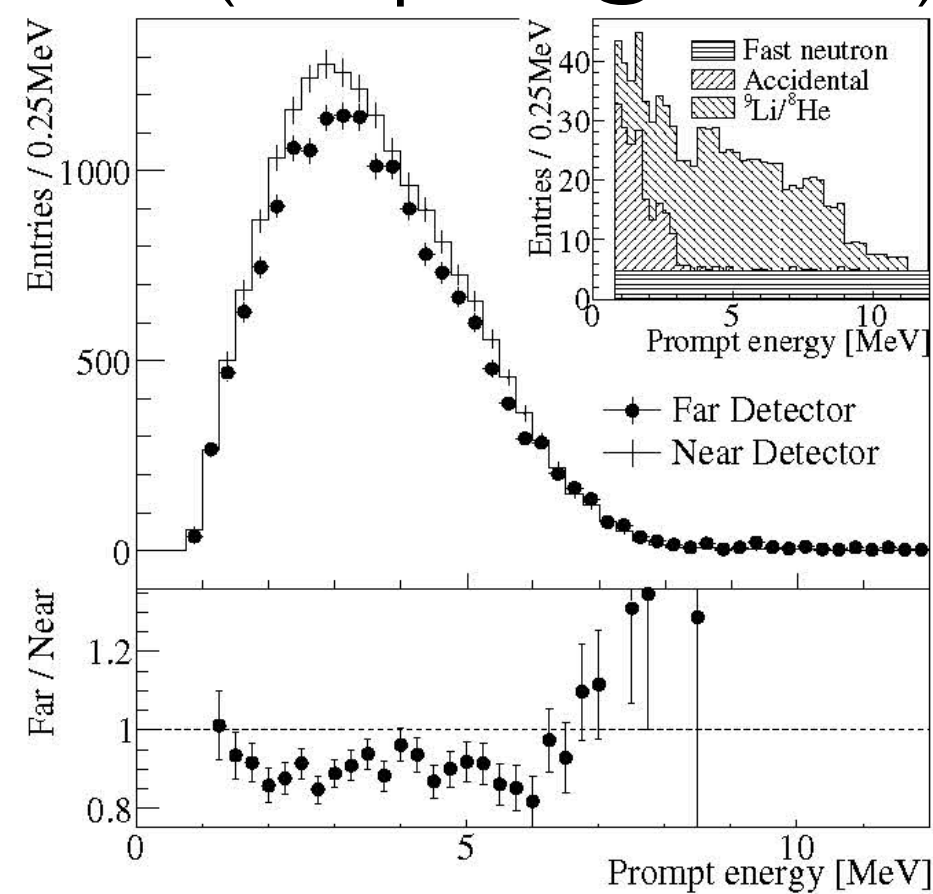
<http://www.jahew.org/hepnews/>

原子炉実験の最新結果

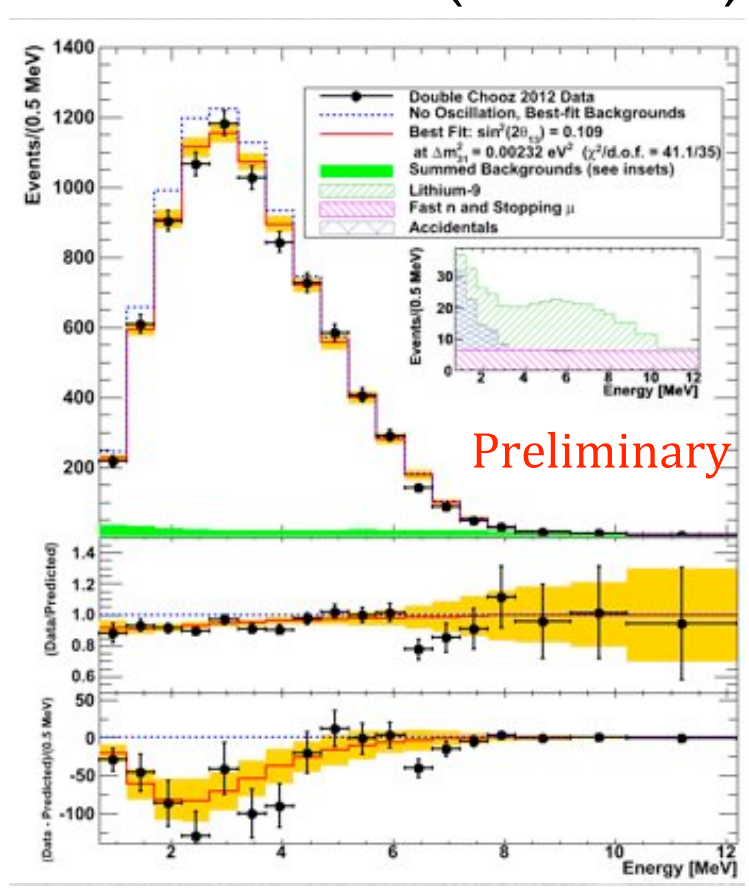
Daya Bay
(NU2012)



RENO
(No update @NU2012)



Double Chooz
(NU2012)

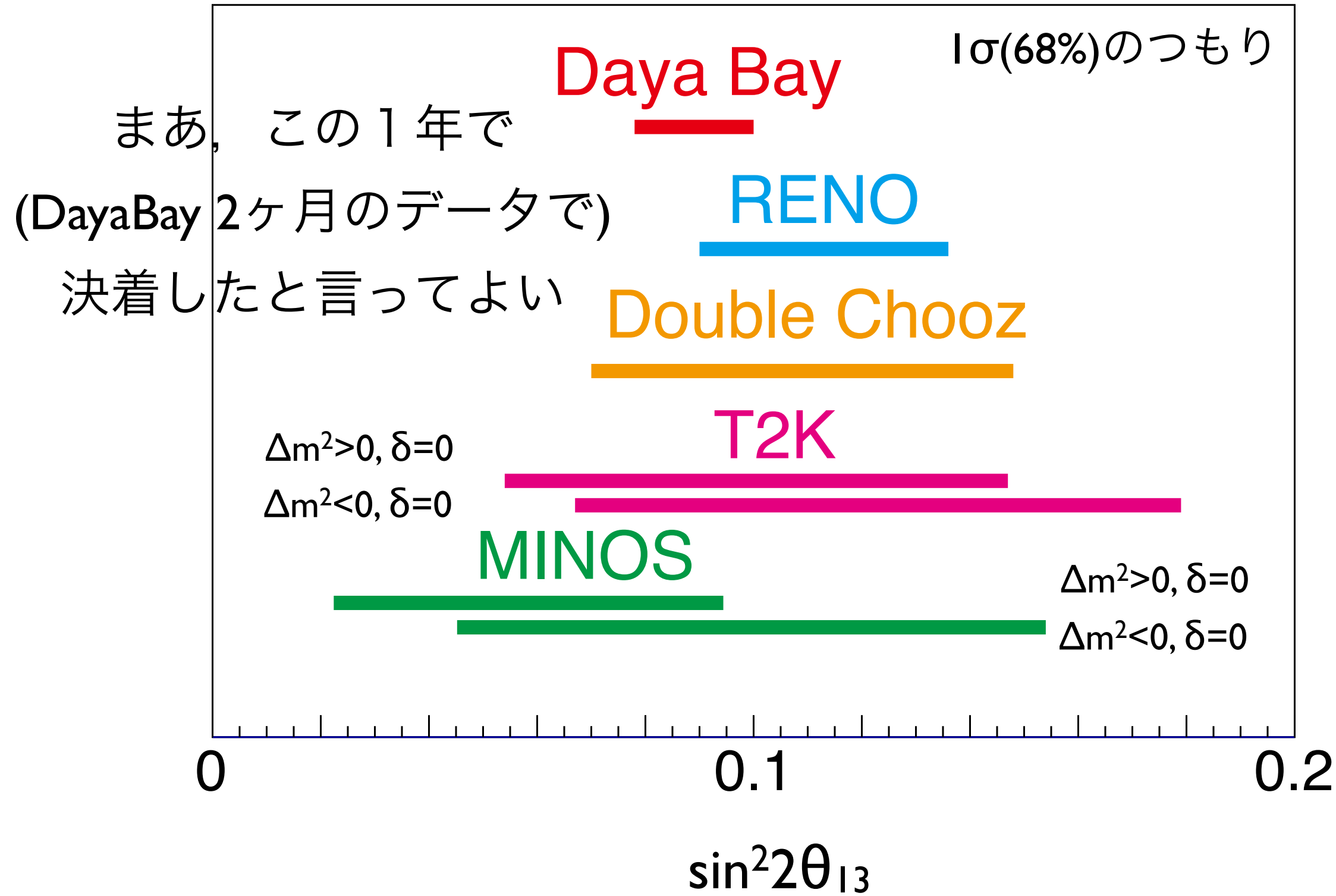


$0.089 \pm 0.010(\text{stat}) \pm 0.005(\text{syst})$

$0.113 \pm 0.013(\text{stat}) \pm 0.019(\text{syst})$

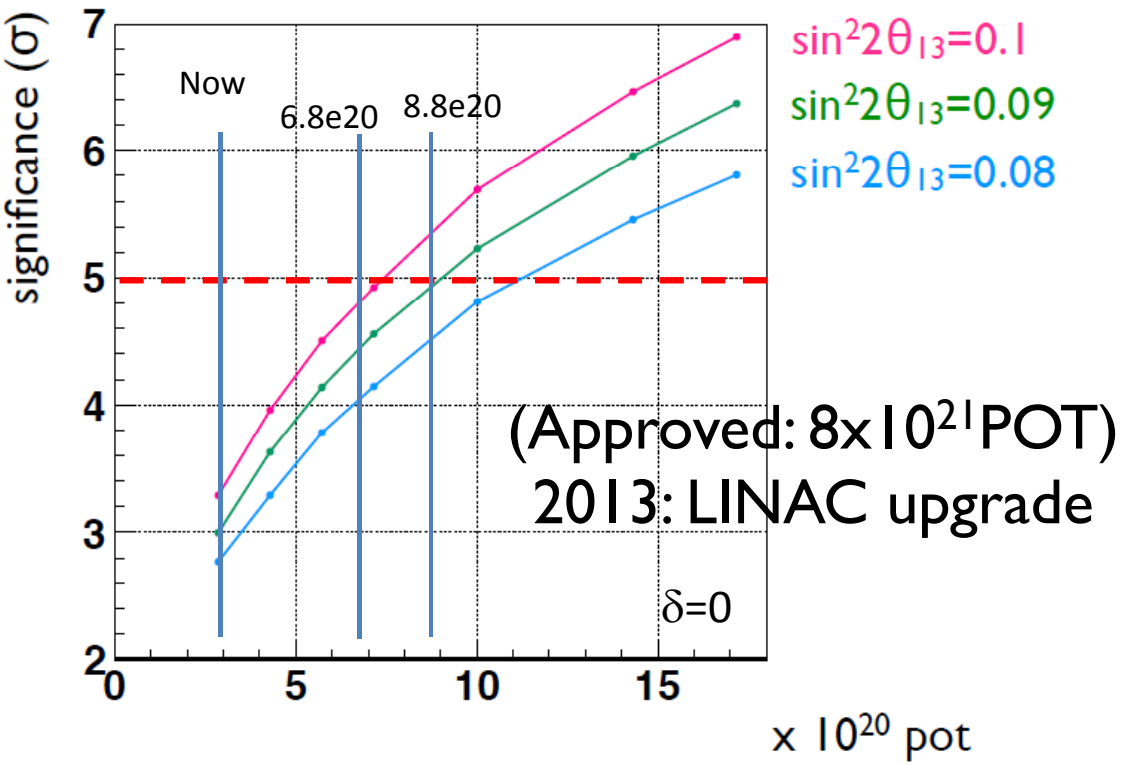
$0.109 \pm 0.030(\text{stat}) \pm 0.025(\text{syst})$

θ_{13} の現状

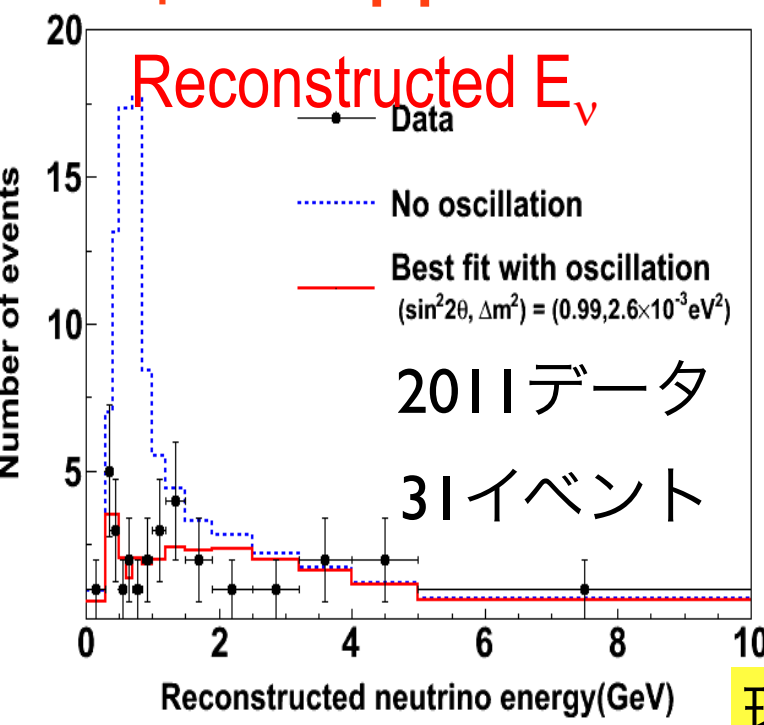


ν_e appearance

expected significance of ν_e appearance



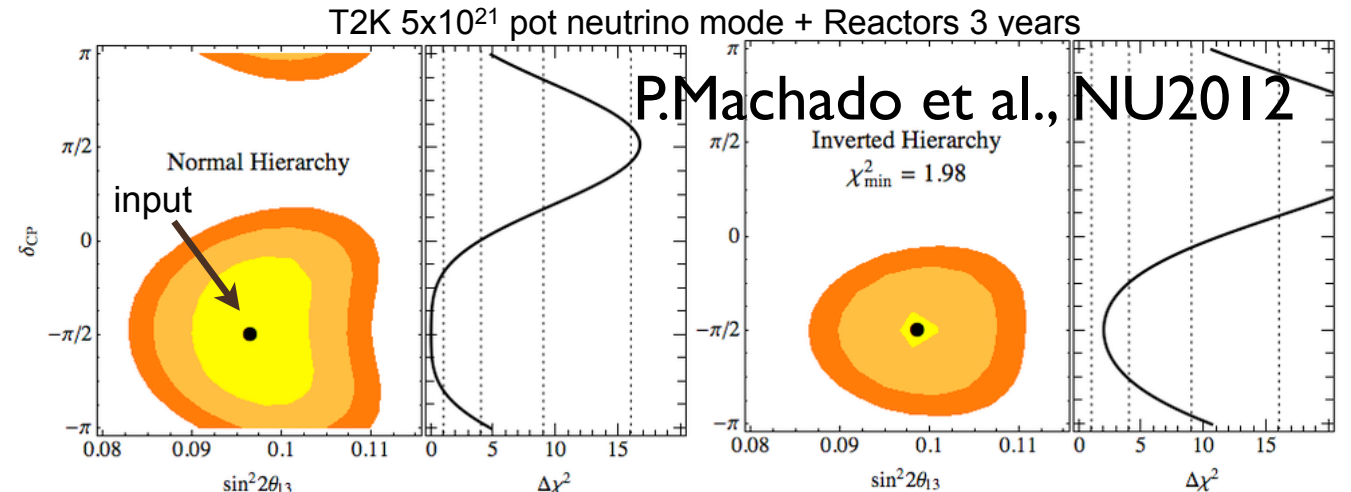
ν_μ disappearance (will be updated with full data soon)



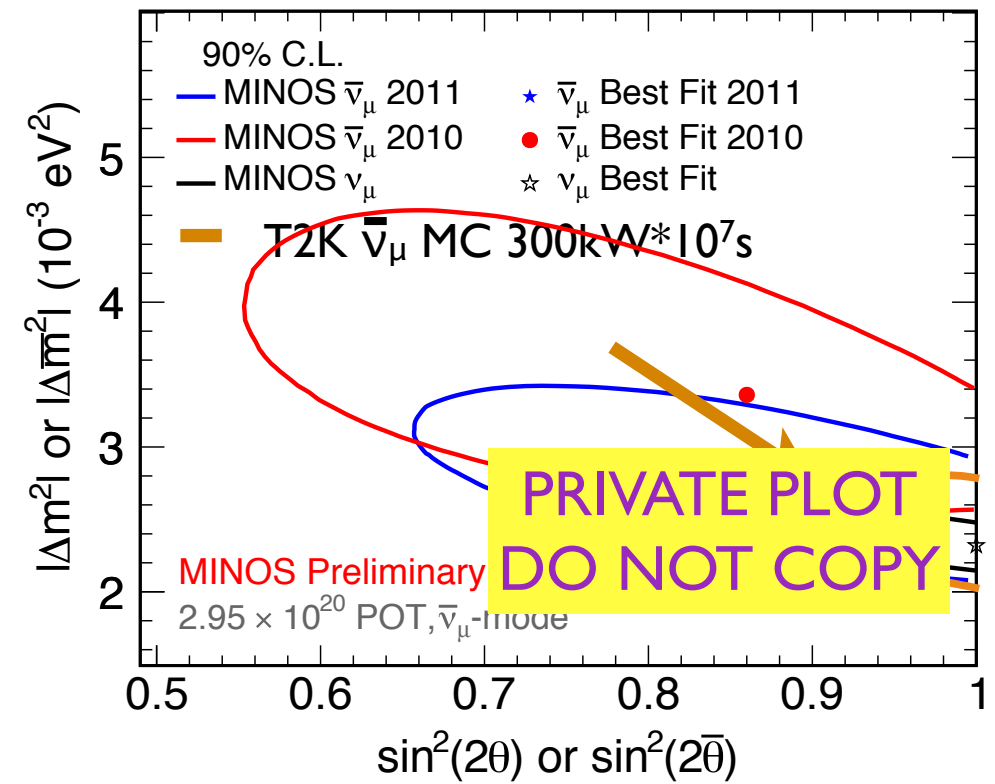
現在、 θ_{23} の誤差~ θ_{13} の誤差

T2K 今後

combination with reactor



anti-ν mode running?

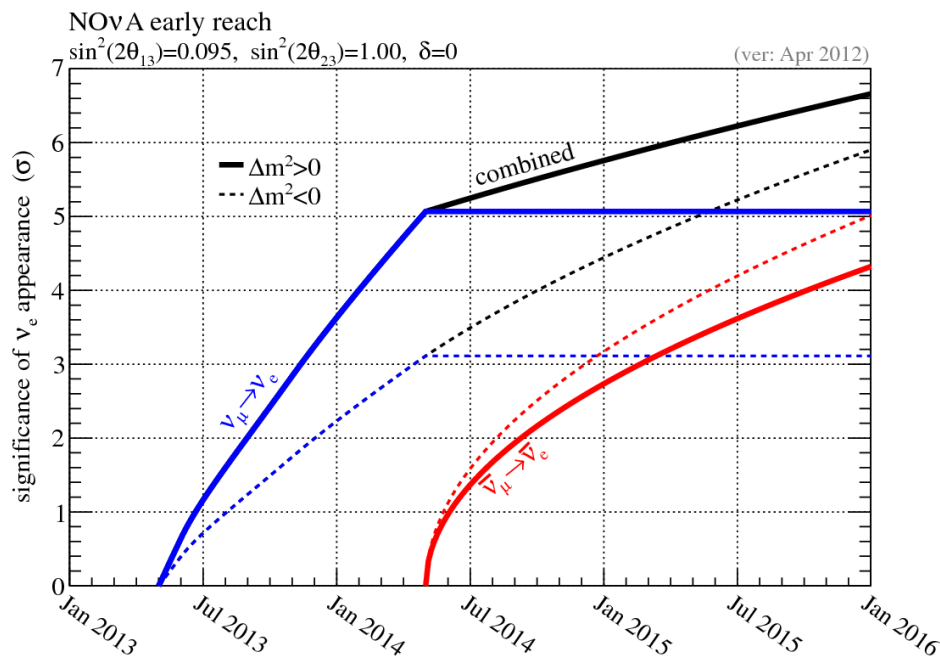


競争相手: NOvA

Early Reach

Will start with ν running

- Can switch to $\bar{\nu}_\mu$ any time, optimizing the run plan based on our or others' results
- **5 σ observation of $\nu_\mu \rightarrow \nu_e$ in first year if NH (even with partial detector and beam commissioning!)**

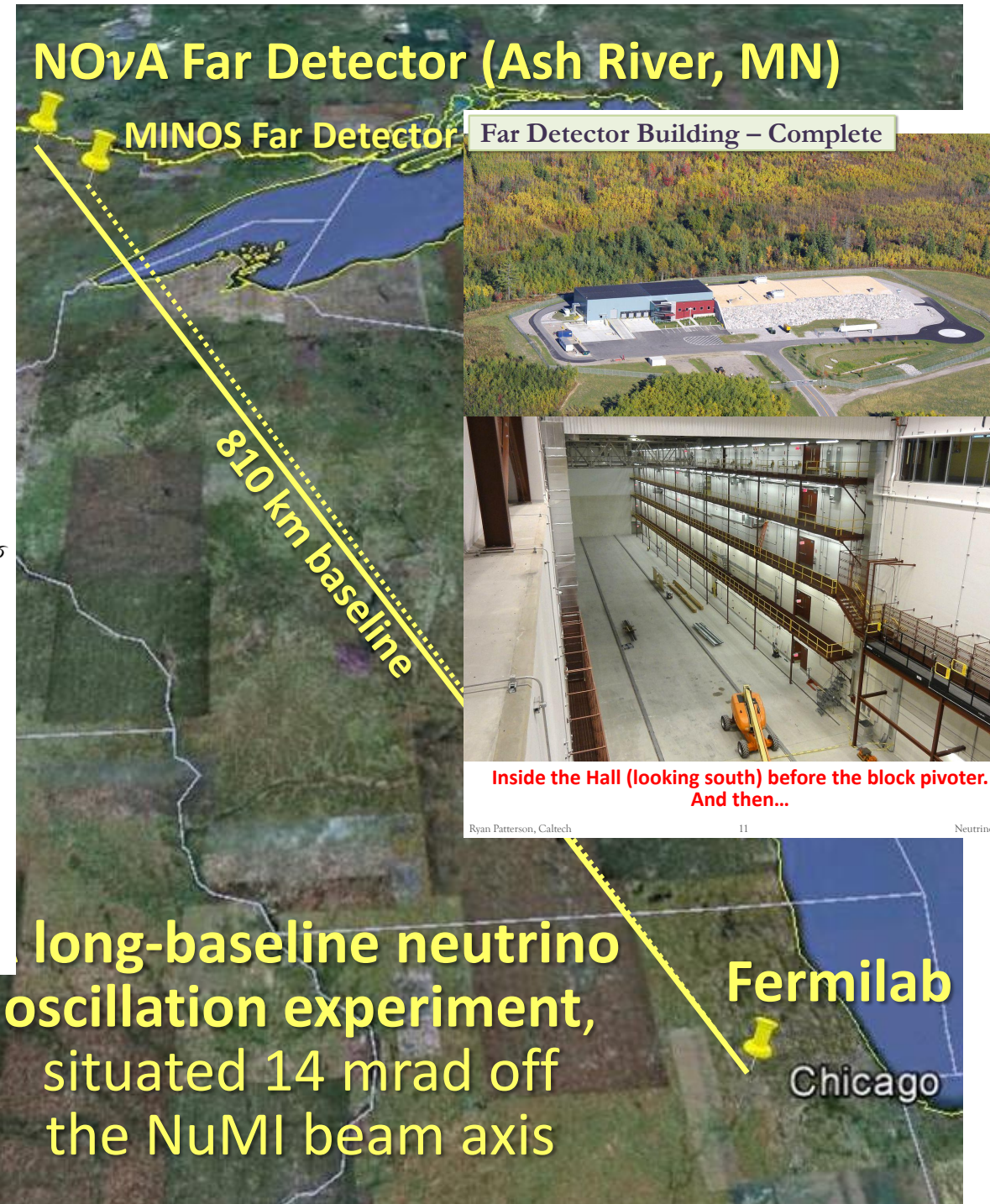


And beyond...

Nominal run plan: 3 yr (ν) + 3 yr ($\bar{\nu}$) (with 6×10^{20} p.o.t./year)

- In this talk: using *earlier analysis methods*, but including new θ_{13} knowledge
 $\Rightarrow \sin^2(2\theta_{13}) = 0.095$
- Representative event counts for $\nu_\mu \rightarrow \nu_e$ analysis →
 \Rightarrow These depend greatly on the specific oscillation parameters
- Signal efficiency: 45%
NC fake rate: 0.1%

3 yr + 3 yr		
	beam = ν	$\bar{\nu}$
NC	19	10
ν_μ CC	5	<1
ν_e CC	8	5
tot. BG	32	15
$\nu_\mu \rightarrow \nu_e$	68	32



うかうかしてられない。
もっとビームを！

さて、これからX年

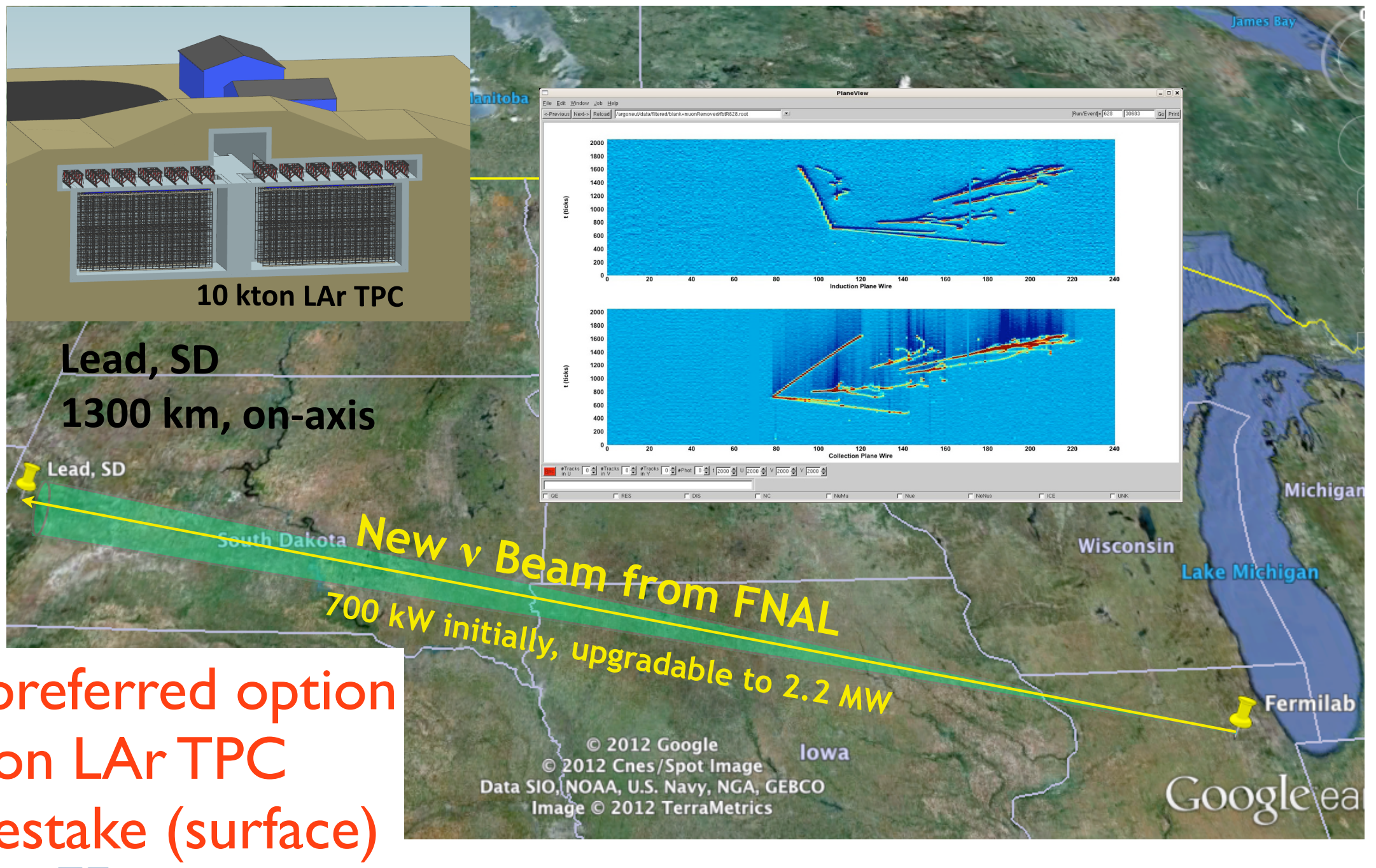
(で、発表時間どのくらい残ってるか)

今後のニュートリノ振動主なトピック

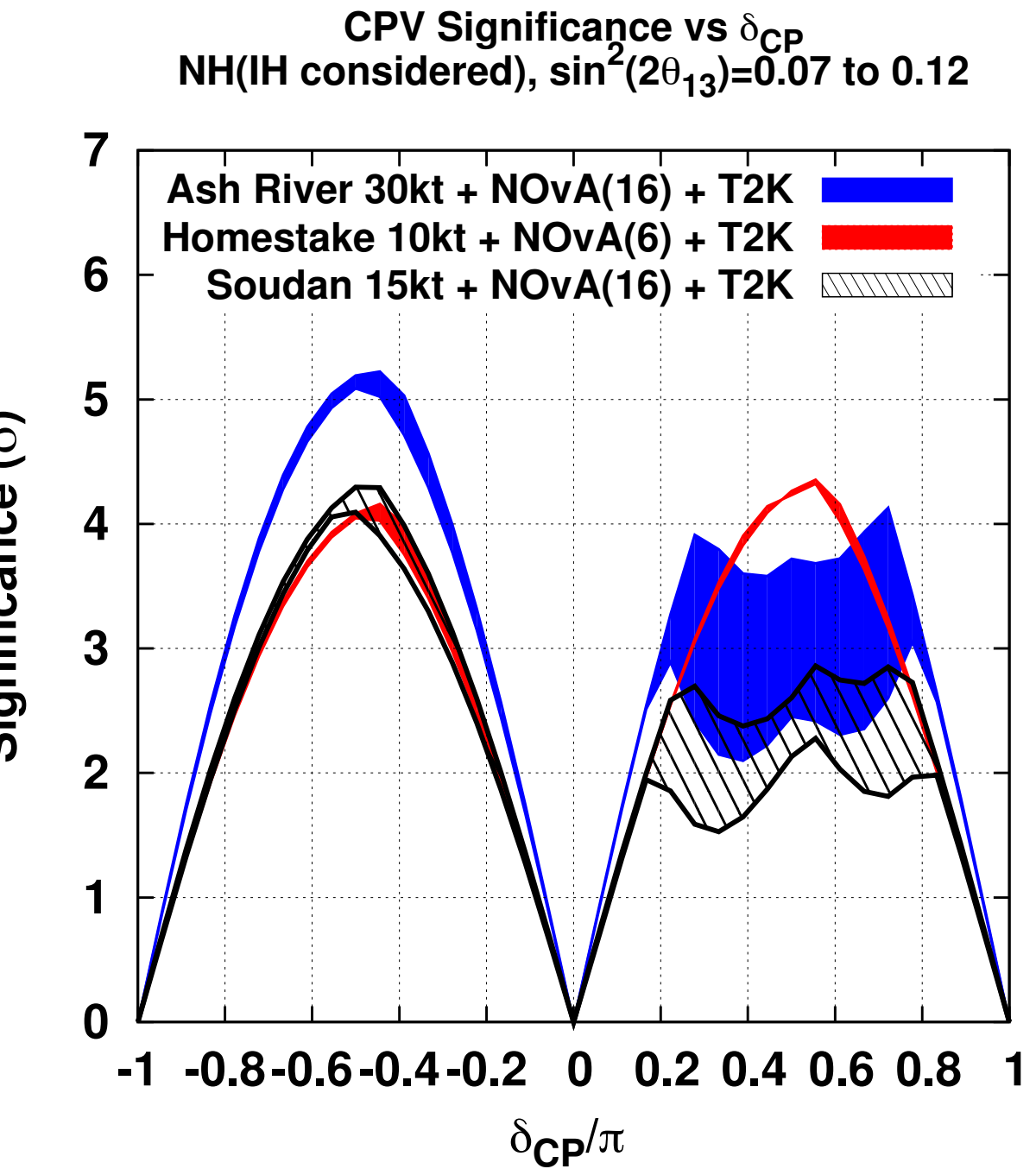
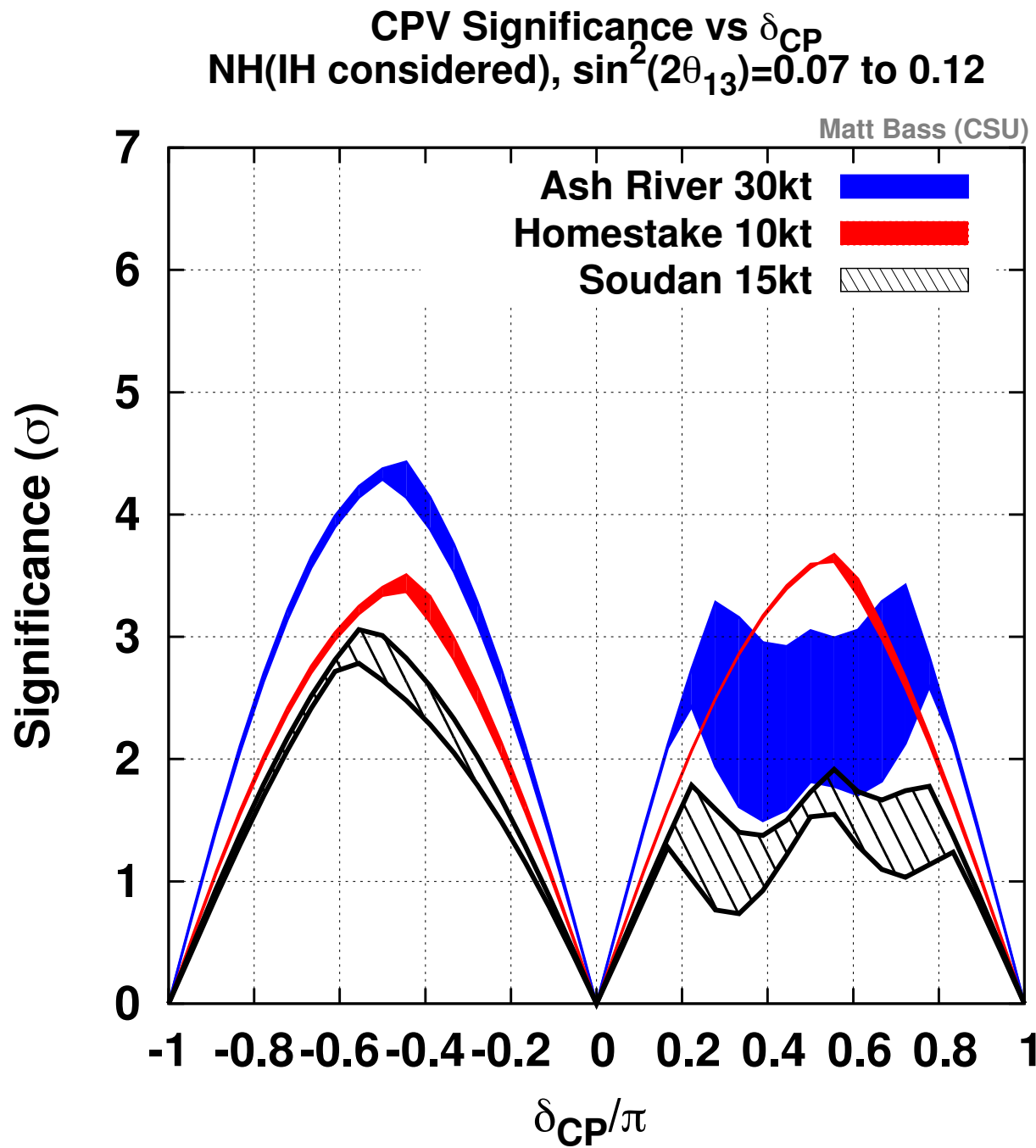
- θ_{23} (maximal? octant?)
 - 現在はSK大気ν→今後は加速器も(T2K, NOvA,)
- Mass hierarchy
 - こっちの方がCPより大事という人もいるみたい?
- CP violation (exists? PMNS?)
 - クオークではCKM phase起源かどうかの検証に何十年もかかった。
 - ニュートリノに関して、クオークの混合行列からのナイーブな推測は...

アメリカ: LBNE

The Long-Baseline Neutrino Experiment (LBNE)

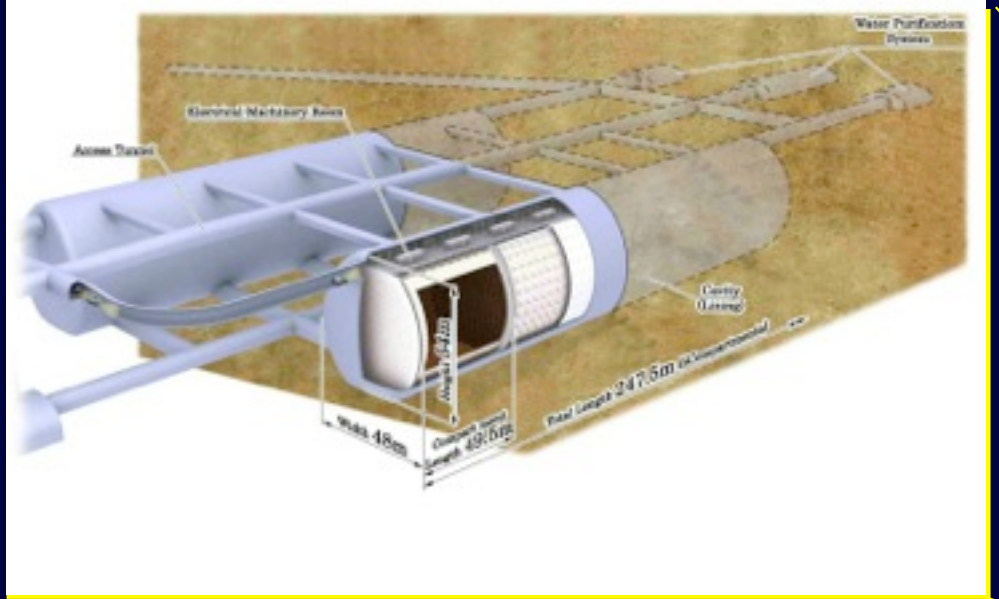


LBNE Measurement of CP-violation



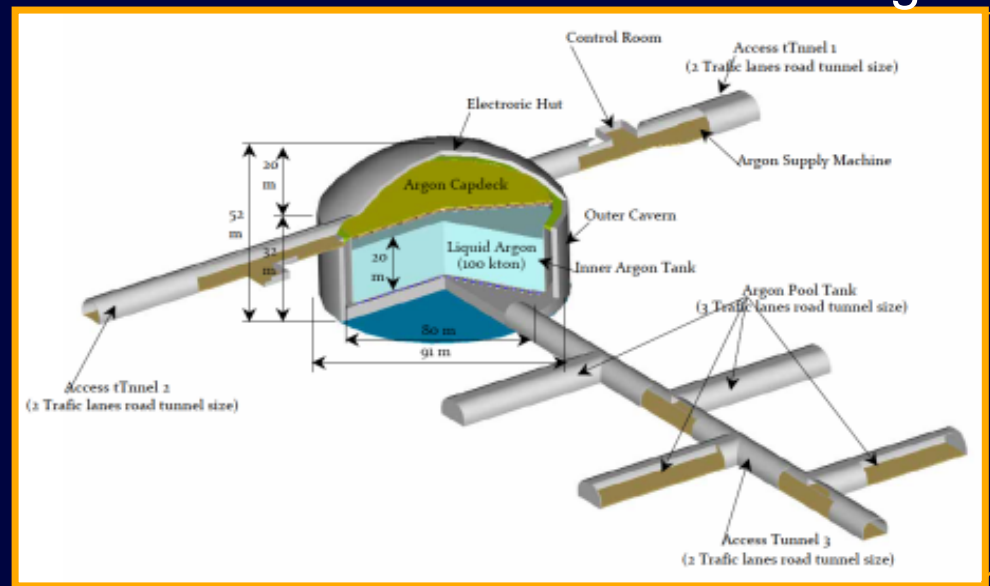
日本

J-PARC+HK @ Kamioka
L=295km OA=2.5deg



LoI: The Hyper-Kamiokande Experiment
arXiv:1109.3262v1

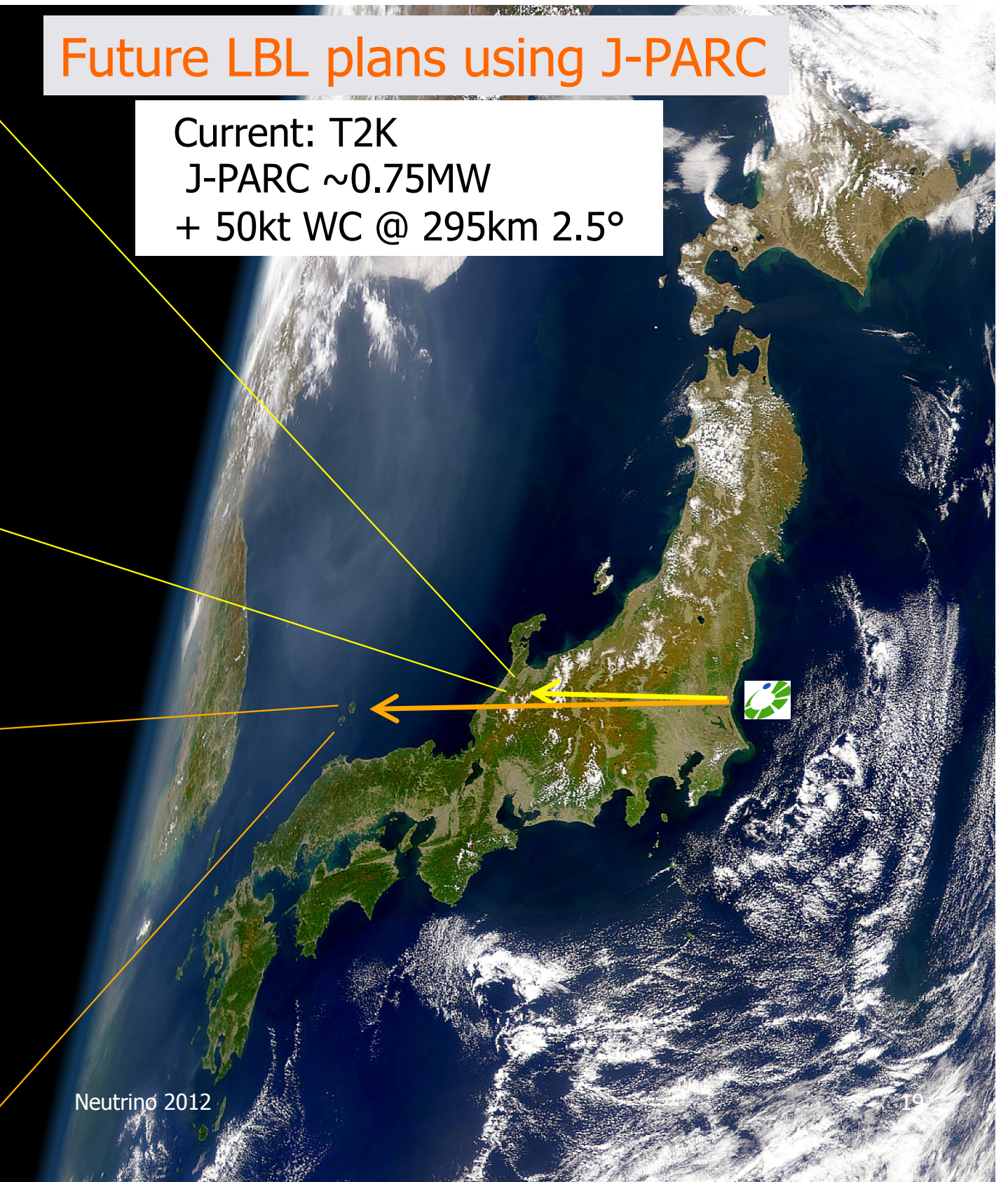
J-PARC+LAr @ Okinoshima
L=658km OA=0.78deg



J-PARC P32 (LAr TPC R&D), arXiv:0804.2111

Future LBL plans using J-PARC

Current: T2K
J-PARC ~0.75MW
+ 50kt WC @ 295km 2.5°

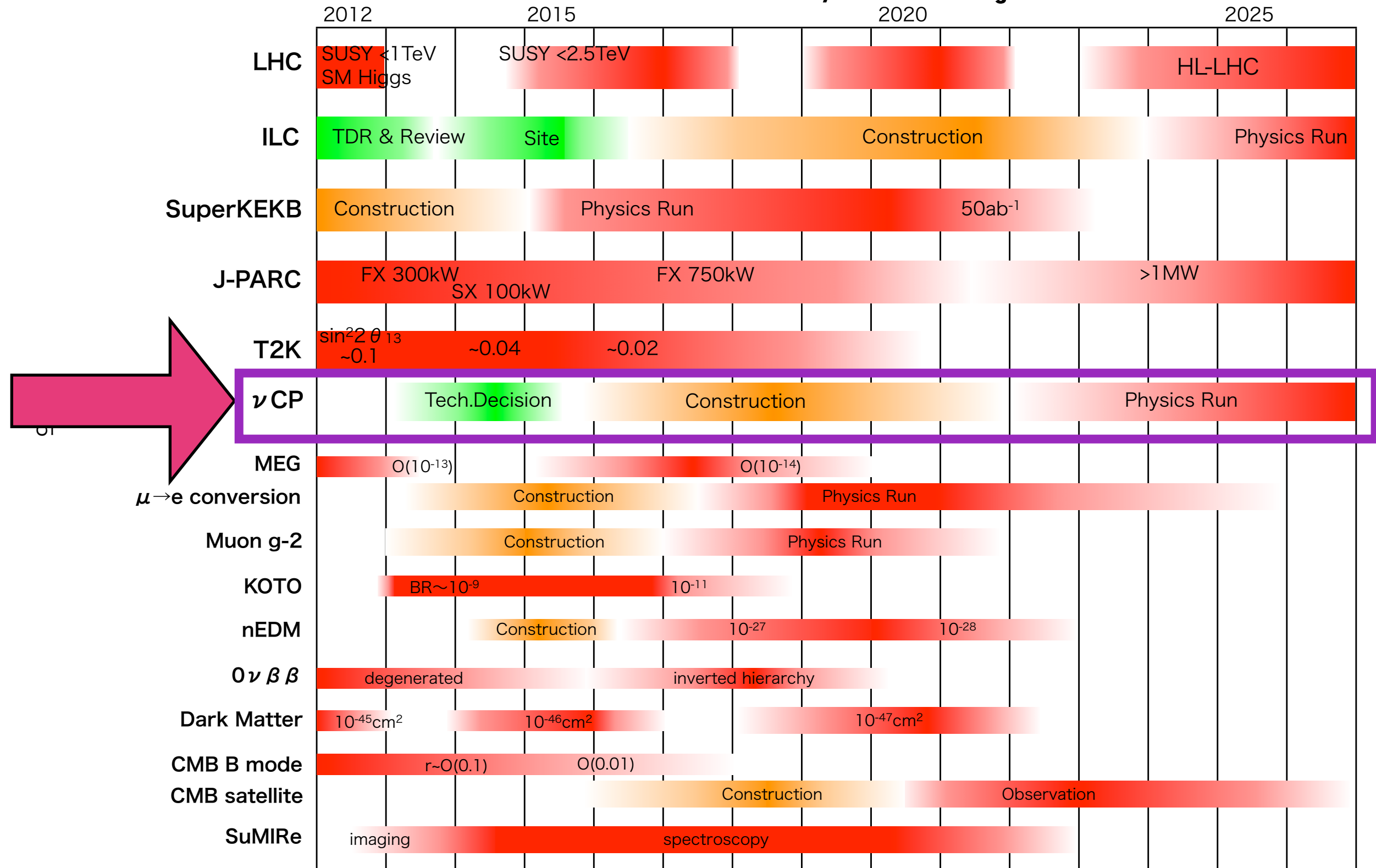


将来計画検討小委員会答申

本小委員会は日本の高エネルギー物理学の基幹となる大規模将来計画に関して、以下の提言をする。

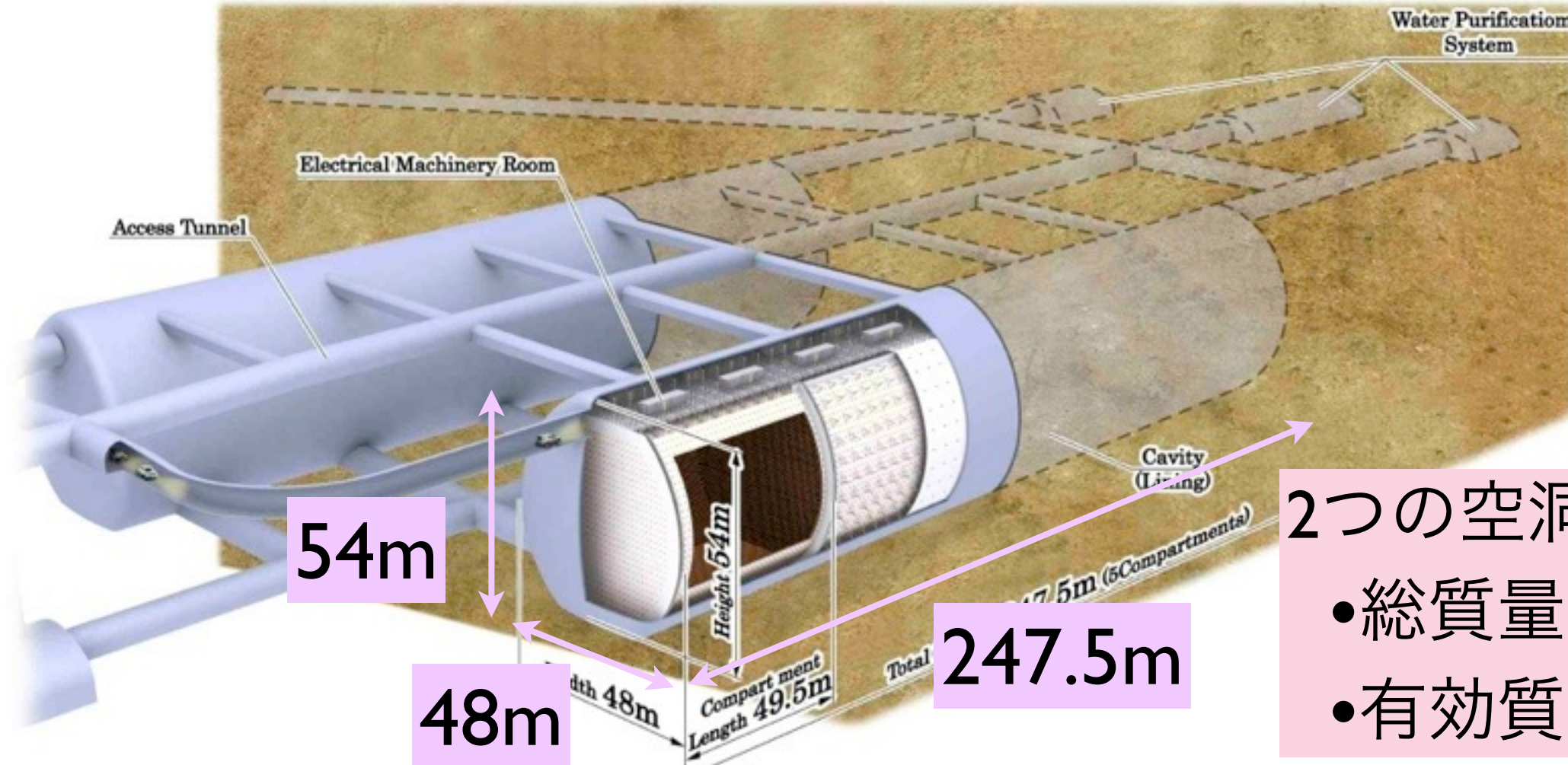
- LHCにおいて1TeV程度以下にヒッグスなどの新粒子の存在が確認された場合、日本が主導して電子・陽電子リニアコライダーの早期実現を目指す。特に新粒子が軽い場合、低い衝突エネルギーでの実験を早急に実現すべきである。一方でLHCおよびそのアップグレードによって間断なく新物理の探究を続けていく。新粒子・新現象のエネルギー・スケールがより高い場合には、必要とされる衝突エネルギーを実現するための加速器開発研究を重点強化する。
- 大きなニュートリノ混合角 θ_{13} が確認された場合、ニュートリノ振動を通したCP対称性の研究に向けて、必要とされる加速器の増強と共に、国際協力で大型ニュートリノ測定器の実現を目指す。大型ニュートリノ測定器は、大統一理論の直接の証拠となる陽子崩壊探索に対しても十分な感度を持つようにすべきである。

Timelines of Current/Future Projects



ハイパーカミオカンデ検出器

arXiv:1109.3262



2つの空洞

- 総質量: 0.99 Mton
- 有効質量: 0.56Mton

各空洞 → 光学的に5つに分離

- それぞれの体積はSKの約2倍
 - 隔壁にもPMT
- 性能はSKと同等

x25 Super-K

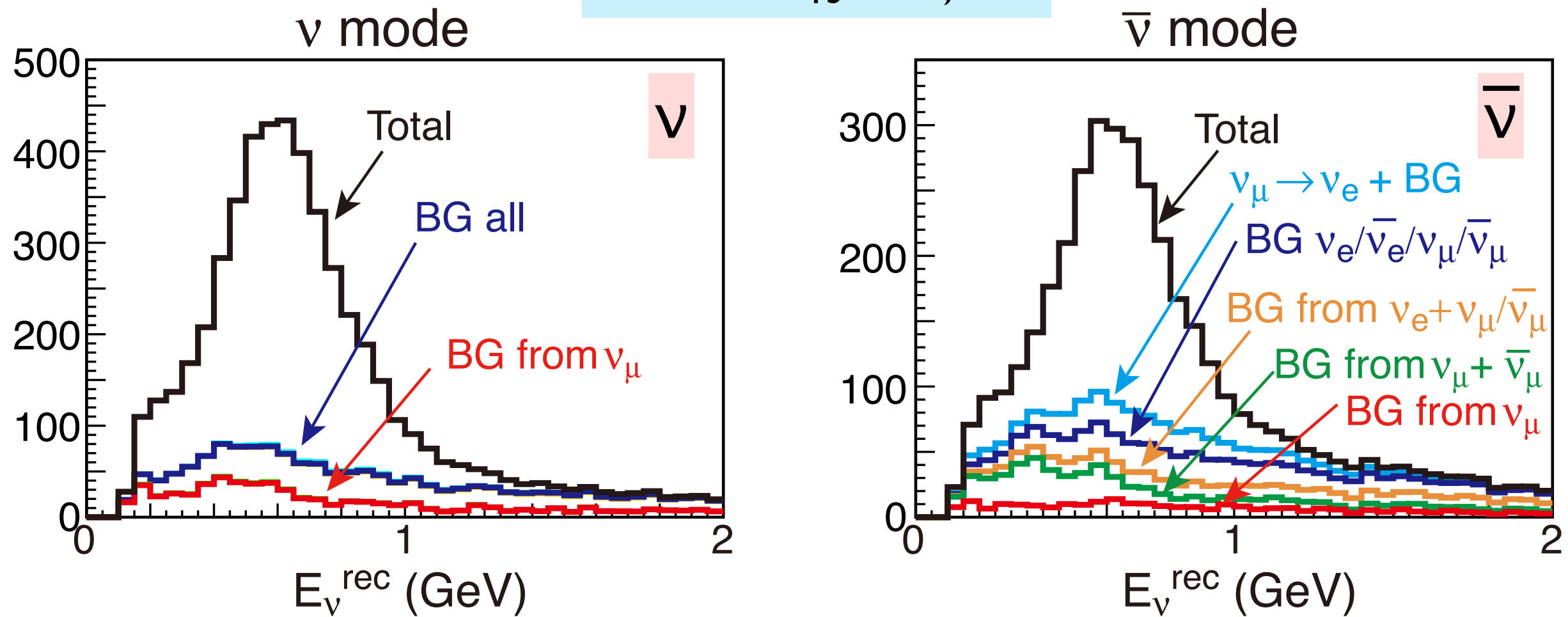
ベースラインデザイン

- 内水槽: 20% photo-coverage (=SK-II)
 - 99,000 20インチPMT
- 外水槽 (2m) : 25,000 8インチPMT

技術的に実現可能な設計

ν_e 事象候補

for $\sin^2 2\theta_{13} = 0.1, \delta = 0$



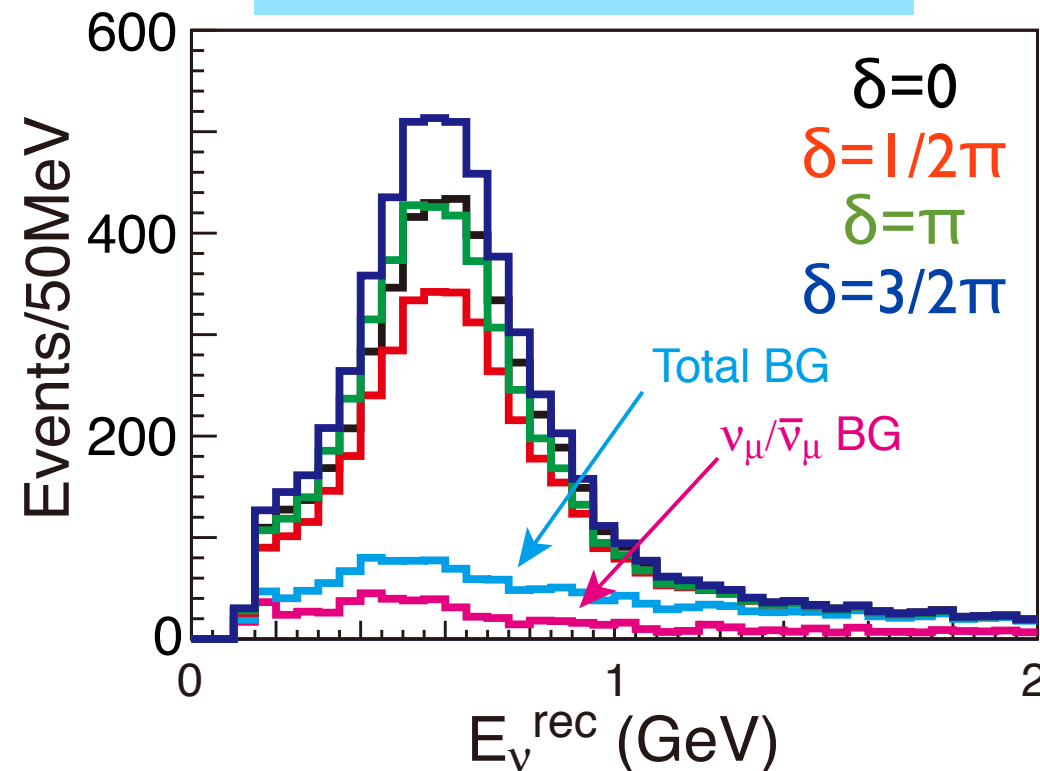
	信号 ($\nu_\mu \rightarrow \nu_e$ CC)	$\nu_\mu/\bar{\nu}_\mu$ CC	$\nu_e/\bar{\nu}_e$ CC	NC
ν (2.25MW · 10 ⁷ s)	3,606	35	880	649
$\bar{\nu}$ (5.25MW · 10 ⁷ s)	2,339	23	878	678

合計750kW × 10年相当

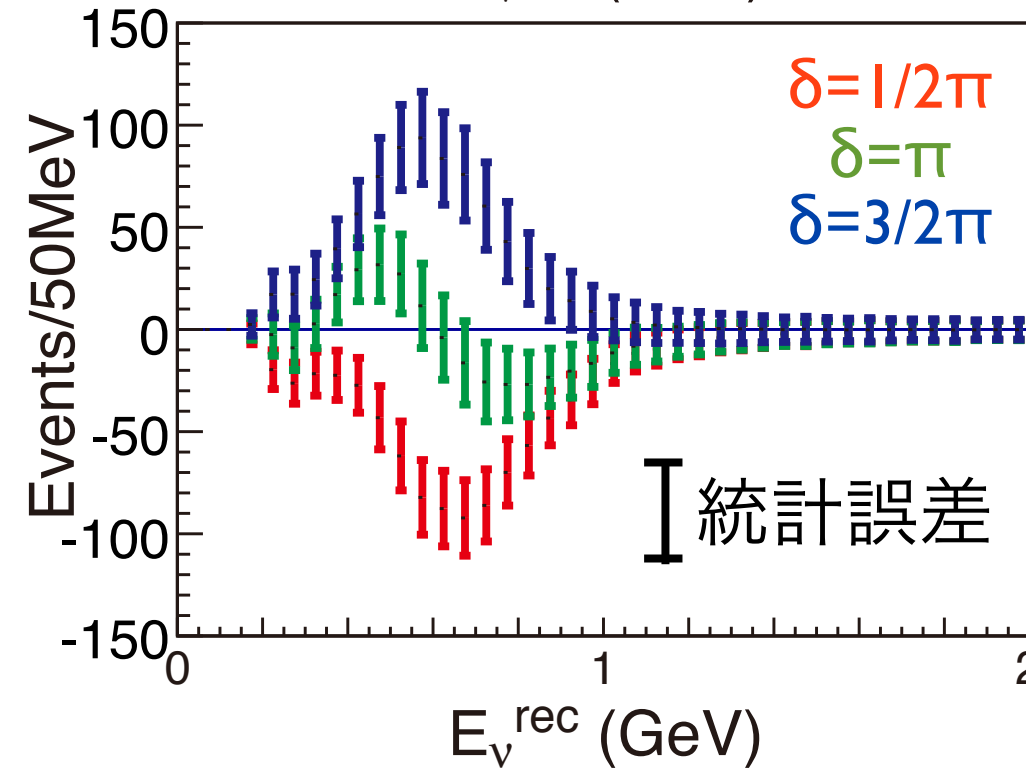
($E_{\nu}^{\text{rec}} < 2\text{GeV}$)

for $\sin^2 2\theta_{13} = 0.1$

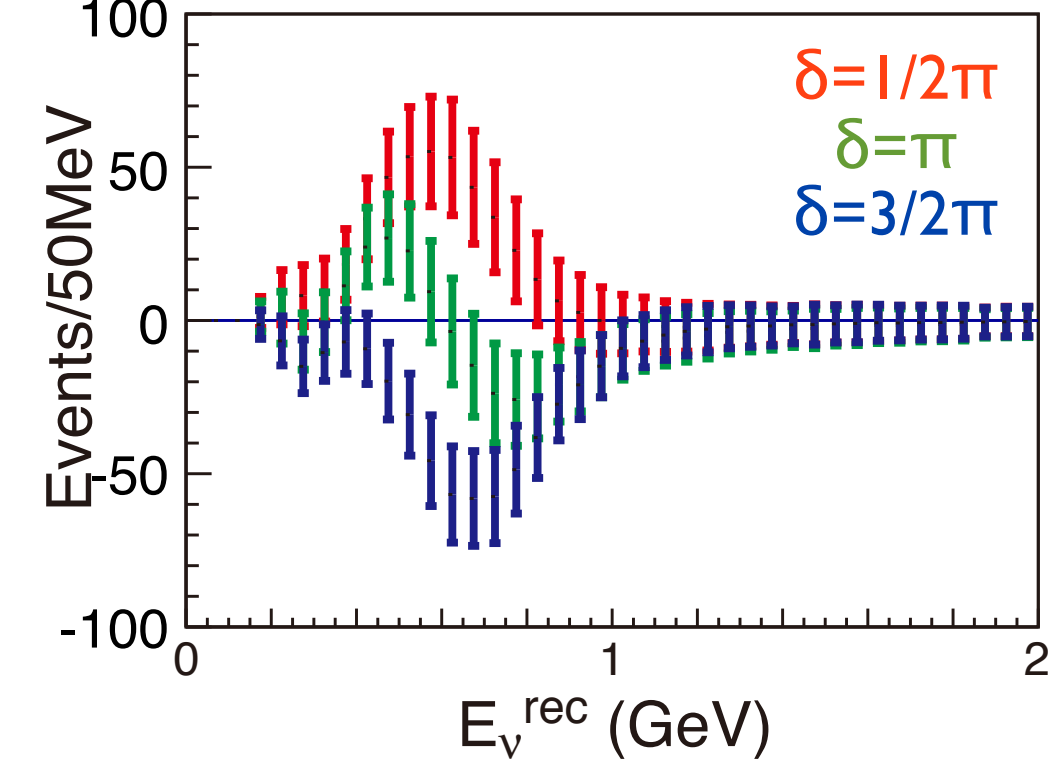
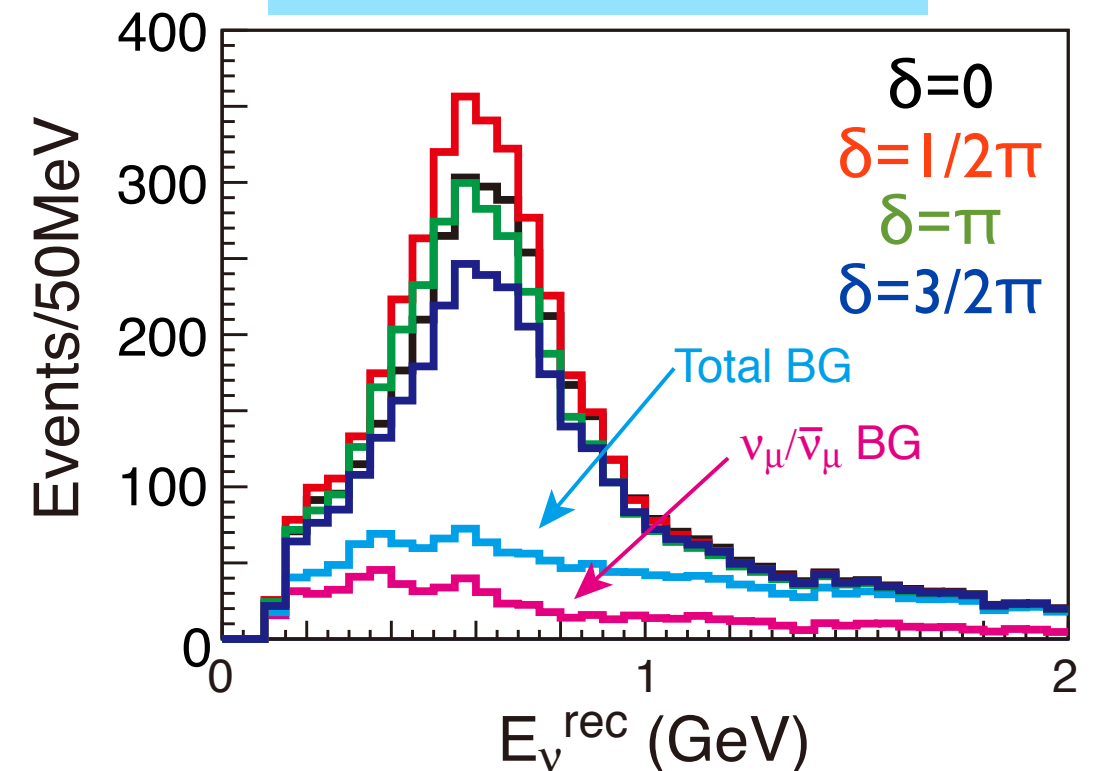
νe 候補事象



$\delta=0$ からの差



$\bar{\nu}$ 5.25MW x 10^7 s

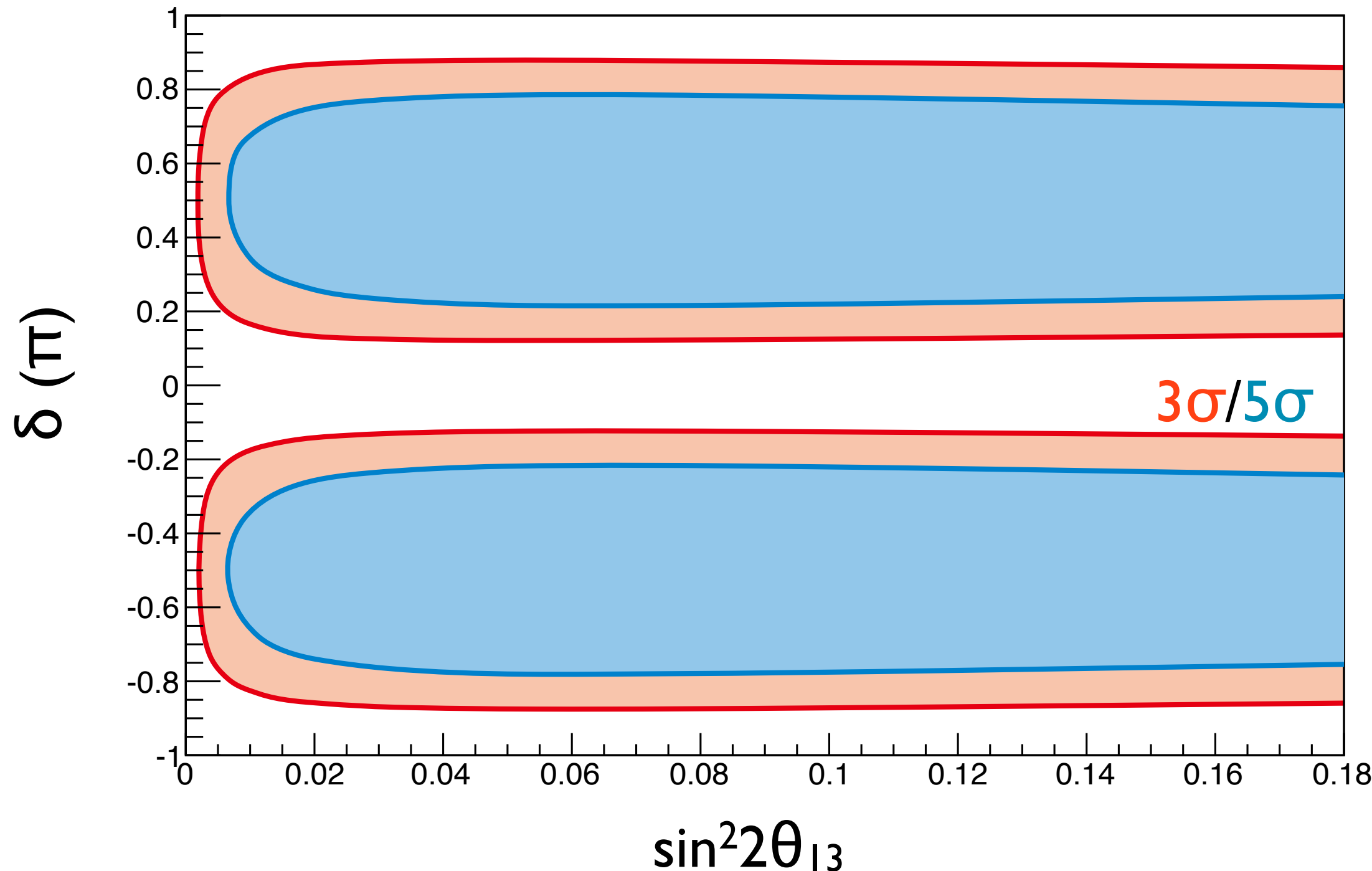


Sensitive to all values of δ (including $\delta=0, \pi$)

CP対称性の破れの感度

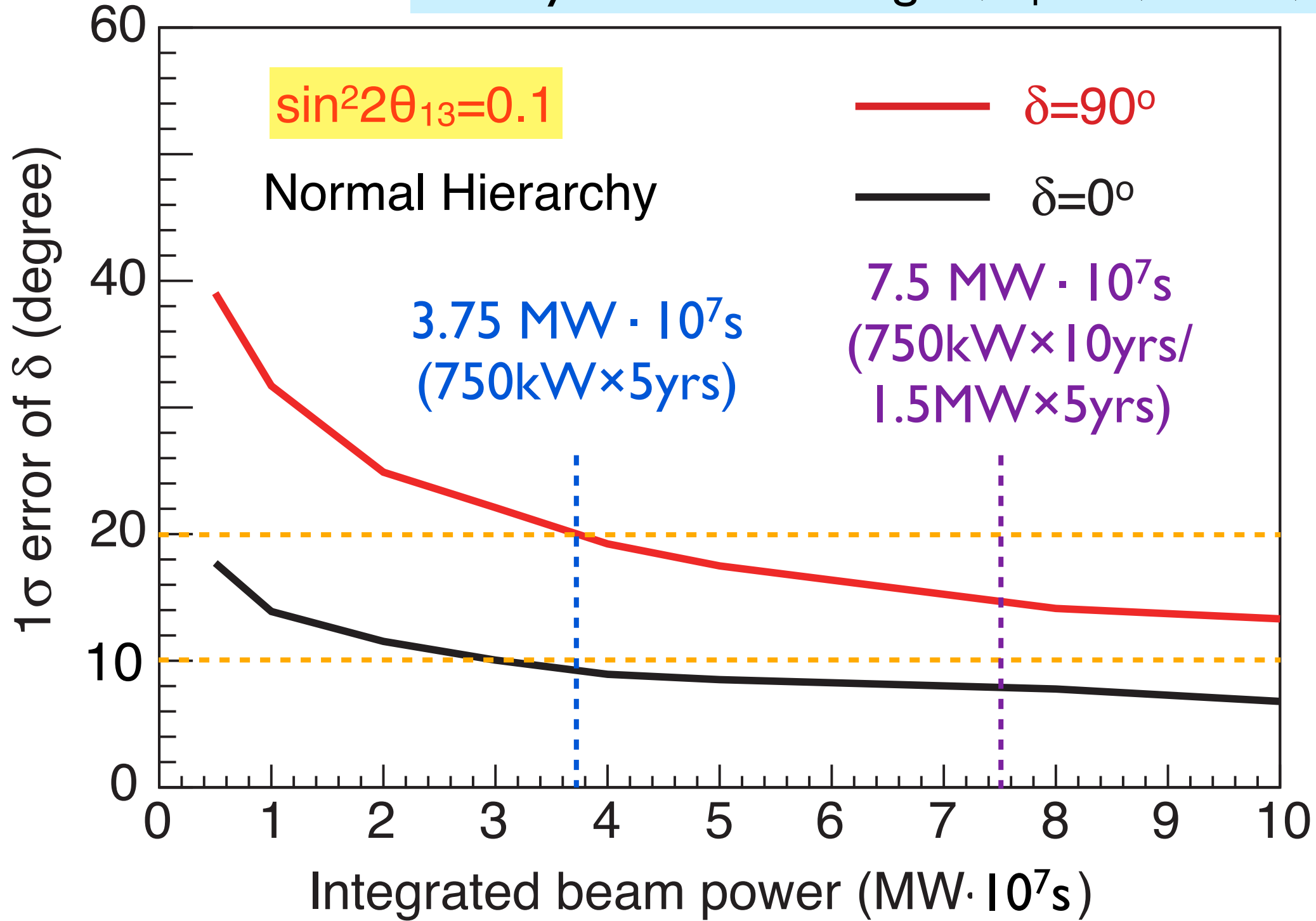
5% systematics on signal, ν_μ BG, ν_e BG, $\nu/\bar{\nu}$

7.5MW年



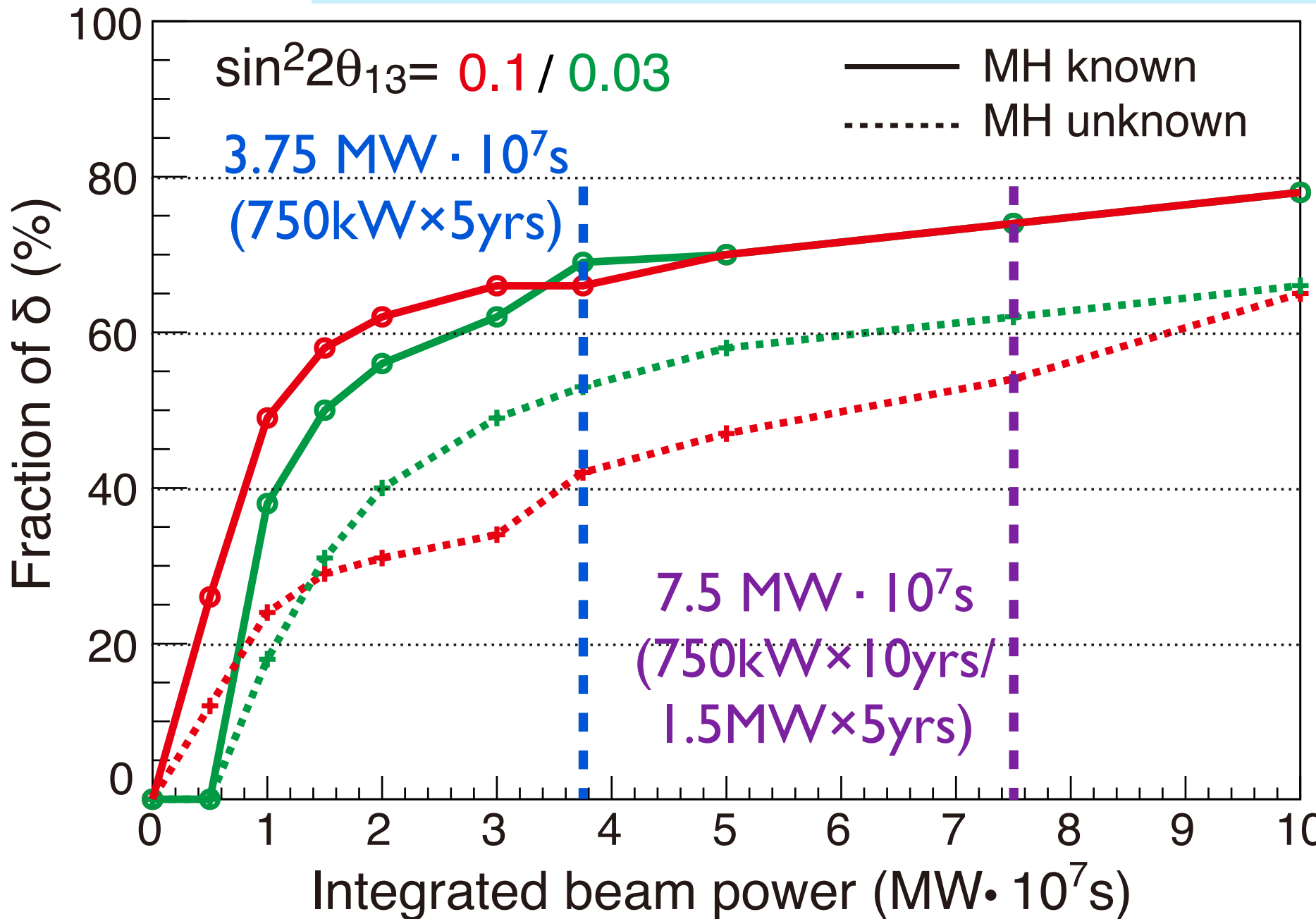
δ の測定精度(1σ)

5% systematics on signal, ν_μ BG, ν_e BG, $\nu/\bar{\nu}$



CP対称性の破れの感度

CP対称性の破れを 3σ 以上で観測可能な δ の割合



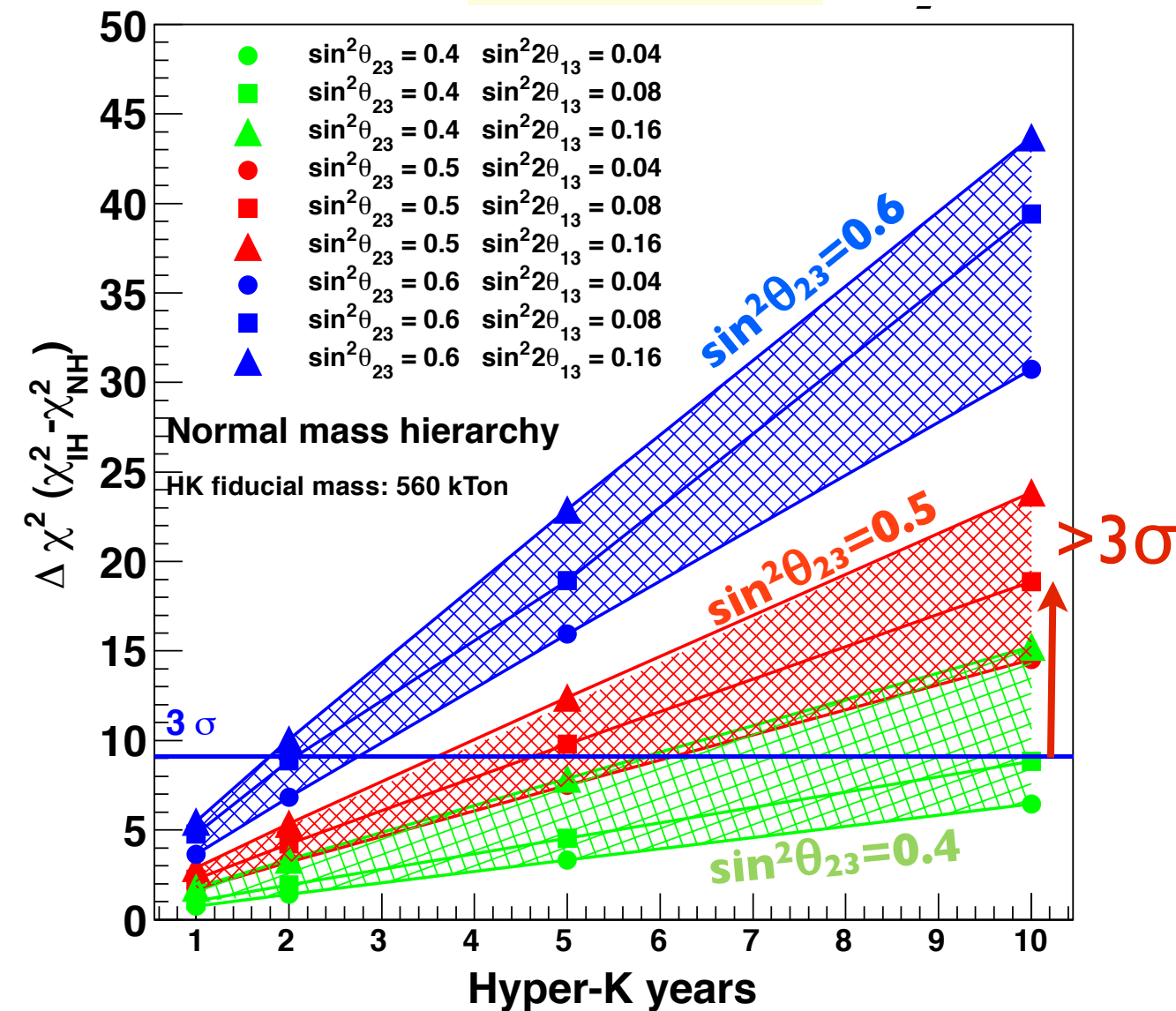
sin²2θ₁₃=0.1 の場合

積分強度 (MW · 10 ⁷ s)	Mass hierarchy	
	known	unknown
3.75	69%	42%
7.5	74%	54%

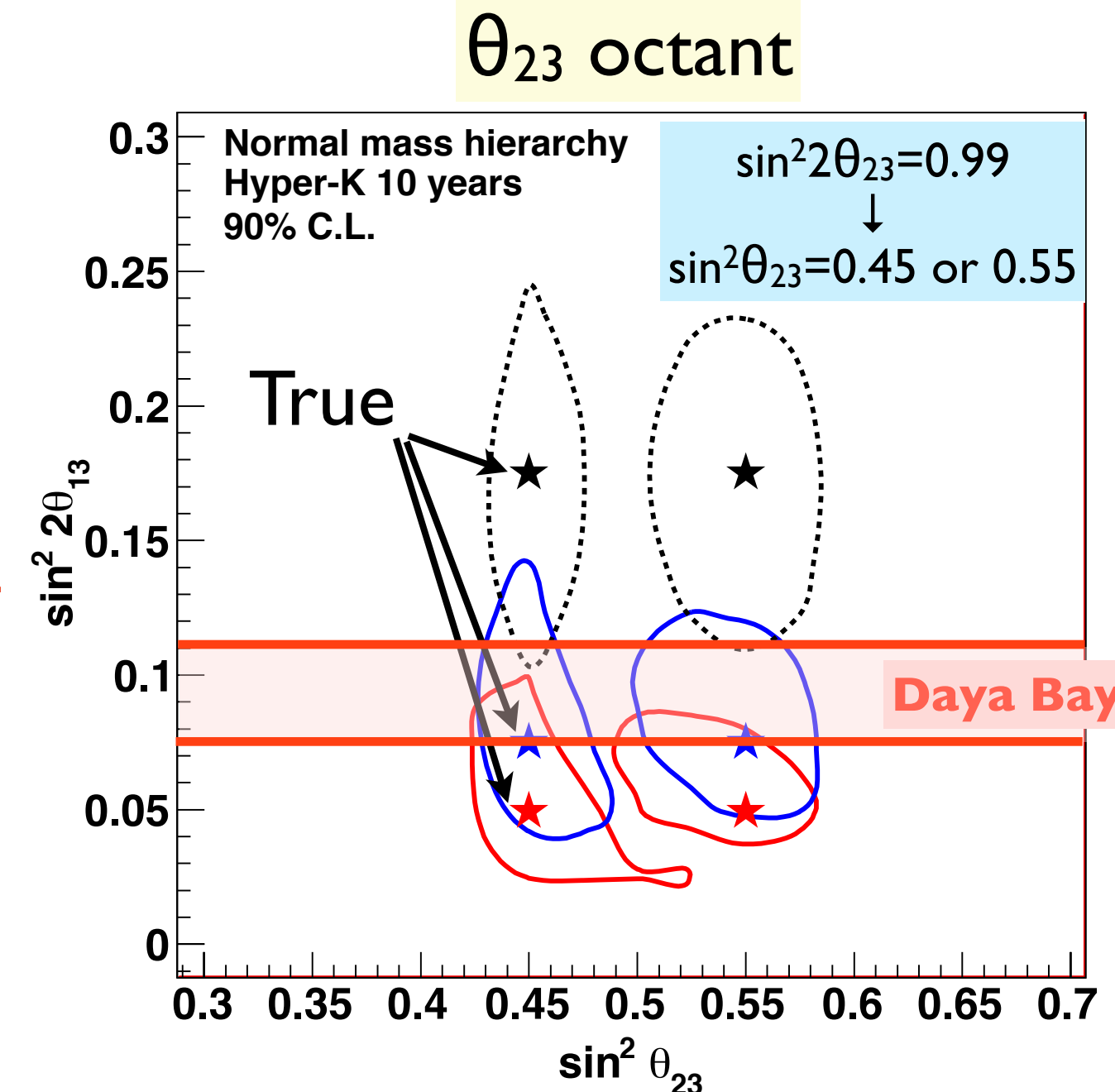
- Effect of unknown mass hierarchy is limited
- Input from atm ν and other experiments also expected for MH

大気ニュートリノ

質量階層



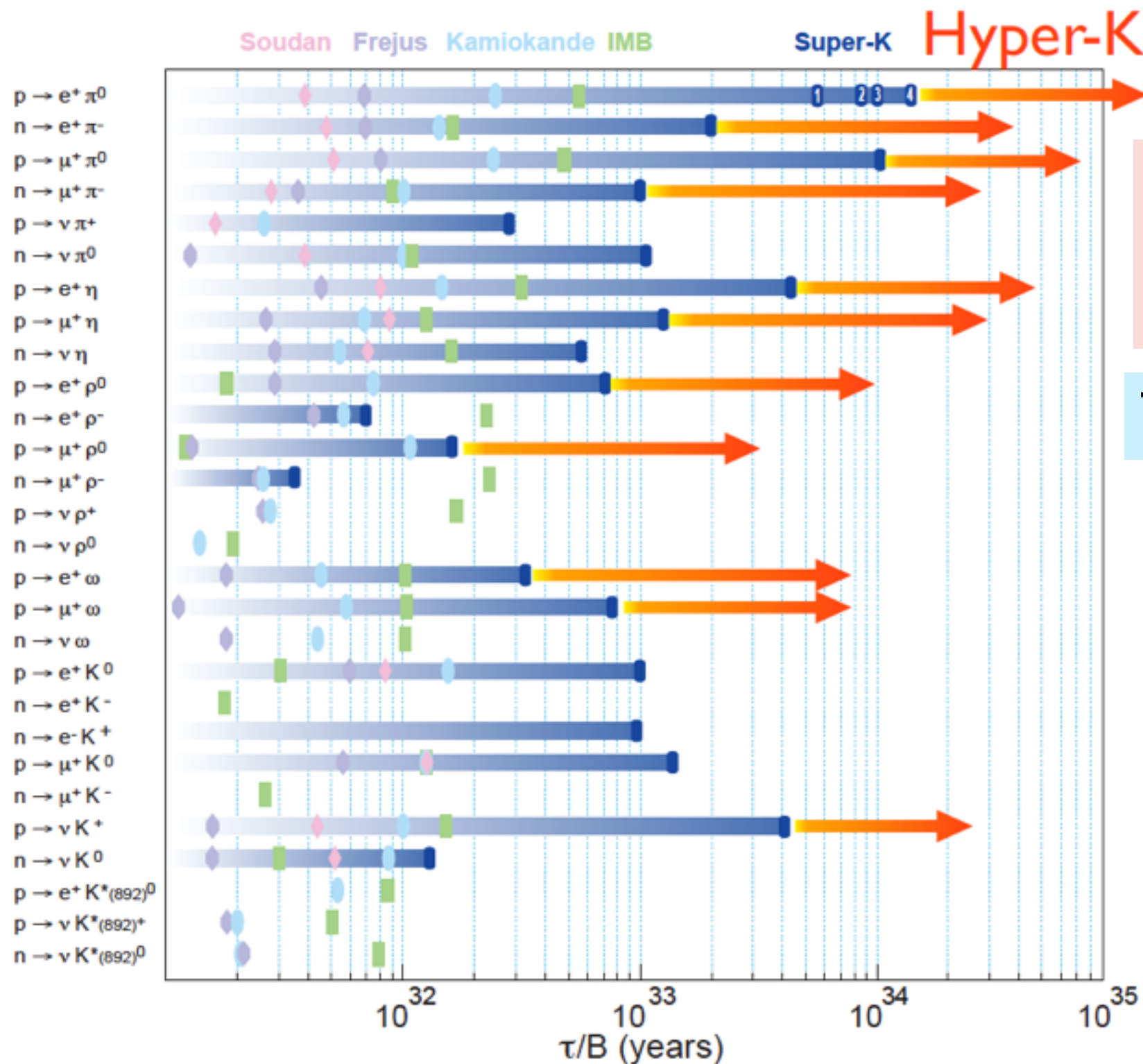
5-10年で $>3\sigma$



Resolved if $\sin^2 2\theta_{23} < 0.99$

加速器νと相補的な測定

核子崩壊の探索



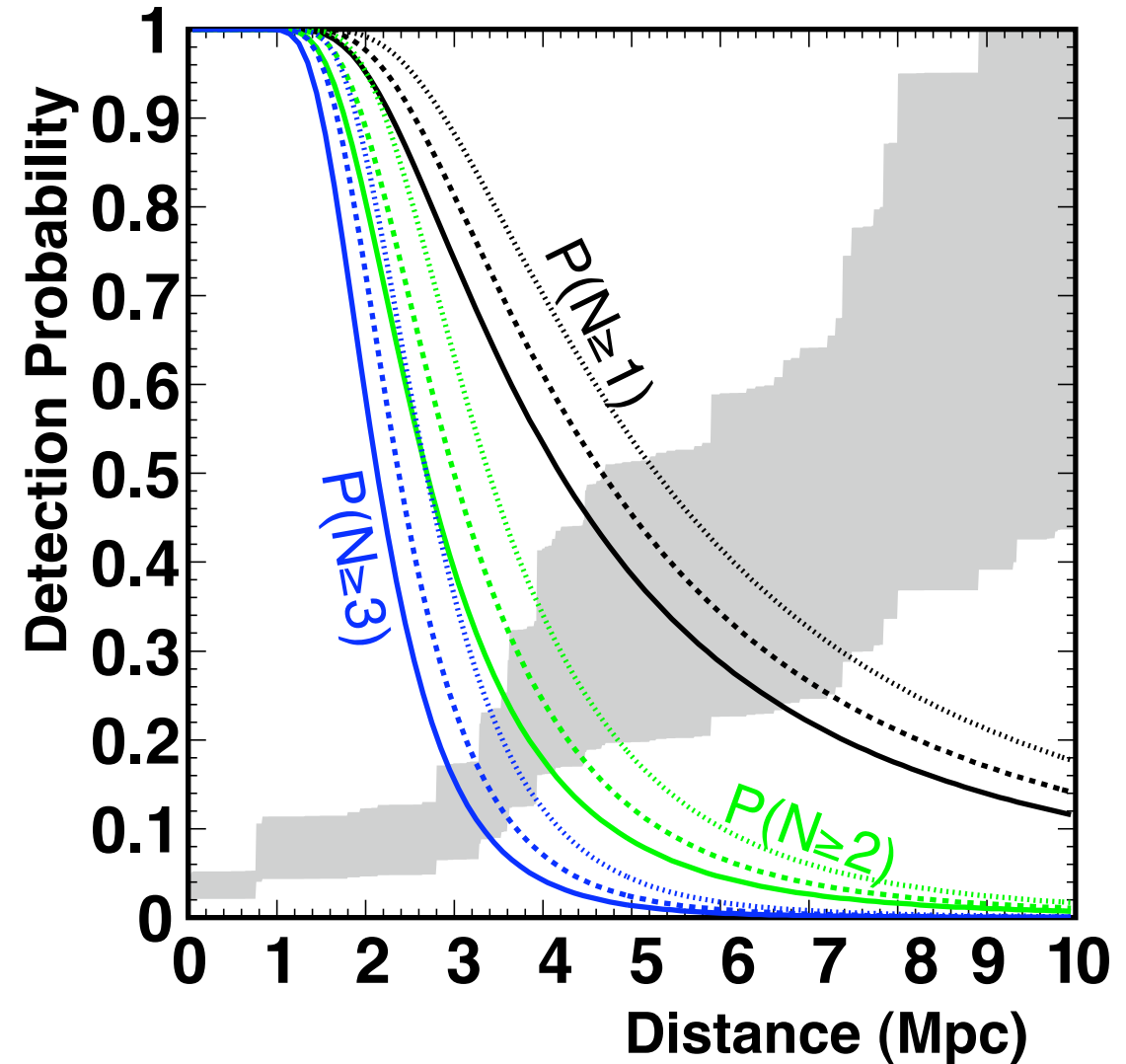
現在の制限(SK)の
~10倍の感度

フルシミュレーション

- $p \rightarrow e^+ \pi^0$:
 - 1.3×10^{35} yrs (90% CL)
 - 5.7×10^{34} yrs (3 σ)
 - $p \rightarrow v K^+$:
 - 2.5×10^{34} yrs (90% CL)
 - 1.0×10^{34} yrs (3 σ)
- (10 years)

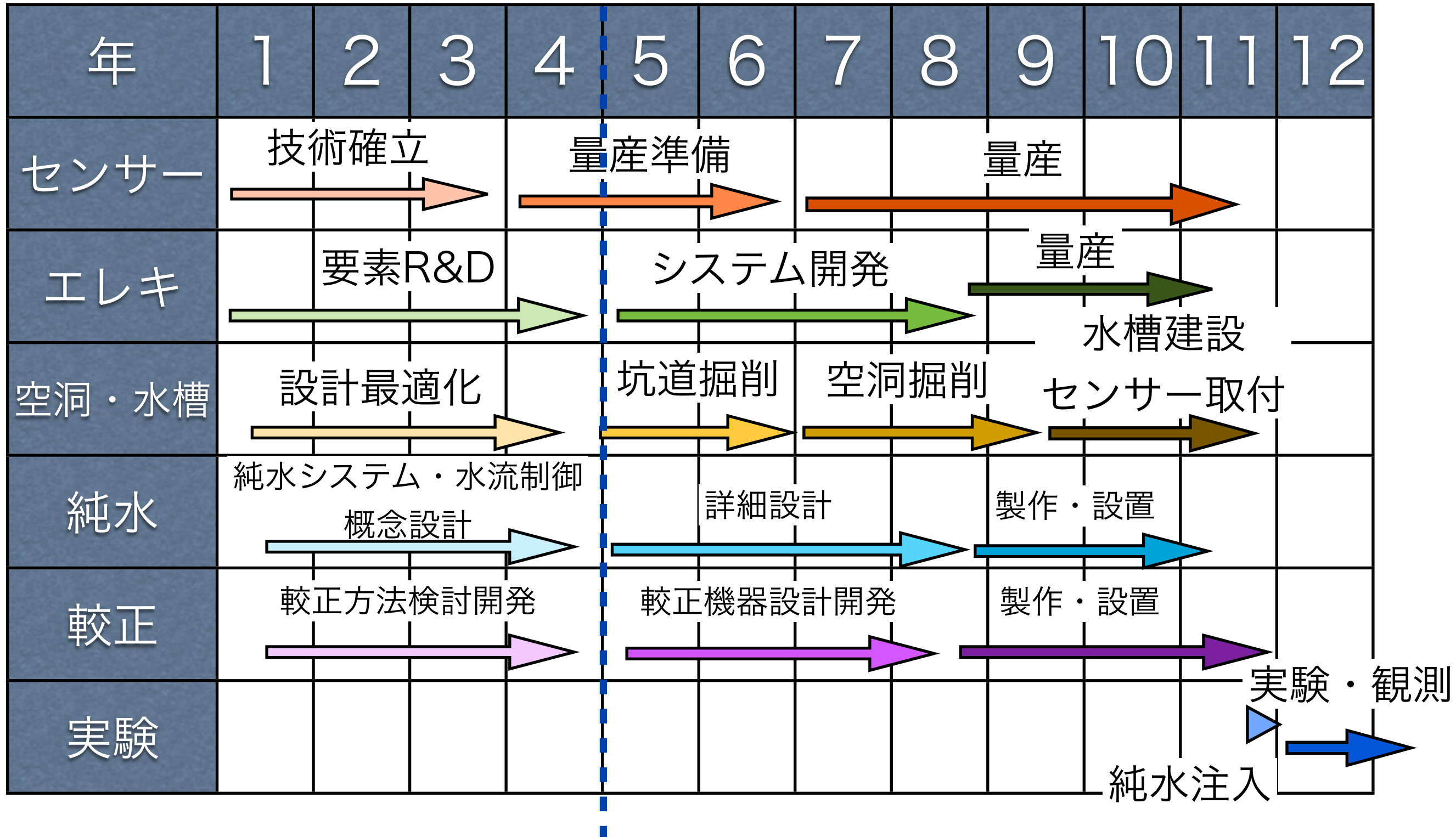
その他のトピック

- 超新星バースト ν
- Mpc程度まで感度 →
- 超新星背景 ν (with Gd?)
- 太陽 ν 精密測定
- WIMP, GRB, 太陽フレア...
- Geophysics (ν tomography of Earth)



Reference arXiv:1109.3262

全体計画 (work in progress)



クオーク
カビボ角(1963)
CP非保存の発見(1964)
小林-益川(1973)

B-反B混合が大きい(1987)
BでのCP非保存(2001)
K-Mノーベル賞(2008)
何がありますかね？(201?)

さてさて、これからX年

(Xにはお好きな年数をどうぞ)

※ Xが小さくなるアイデア募集中です

おわり

バックアップ・ぼつ

DRAMATIC NEUTRINO CONFERENCES IN JAPAN

NEUTRINO 1986 – Sendai

First indications by Kamiokande and IMB of an atmospheric neutrino anomaly ($\nu_\mu \rightarrow \nu_\tau$ oscillations proposed by Kamiokande at NEUTRINO 1988 in Boston)

NEUTRINO 1998 – Takayama

Atmospheric neutrino oscillations confirmed ‘officially’ by Superkamiokande: 1st parameter measurements.

NEUTRINO 2012 – Kyoto

First measurements of θ_{13} – MINOS, T2K, DOUBLE CHOOZ, DAYA BAY, RENO -- and a host of other new results and

J. Schneps @NEUTRINO2012, Kyoto

J-PARC

Efforts to increase beam power



Upgrade toward design power and beyond

- LINAC upgrade in 2013 (180 to 400MeV)
- new ion source (30mA to 50mA)
- R&D on high rep. rate MR power supply
- R&D on high gradient RF core

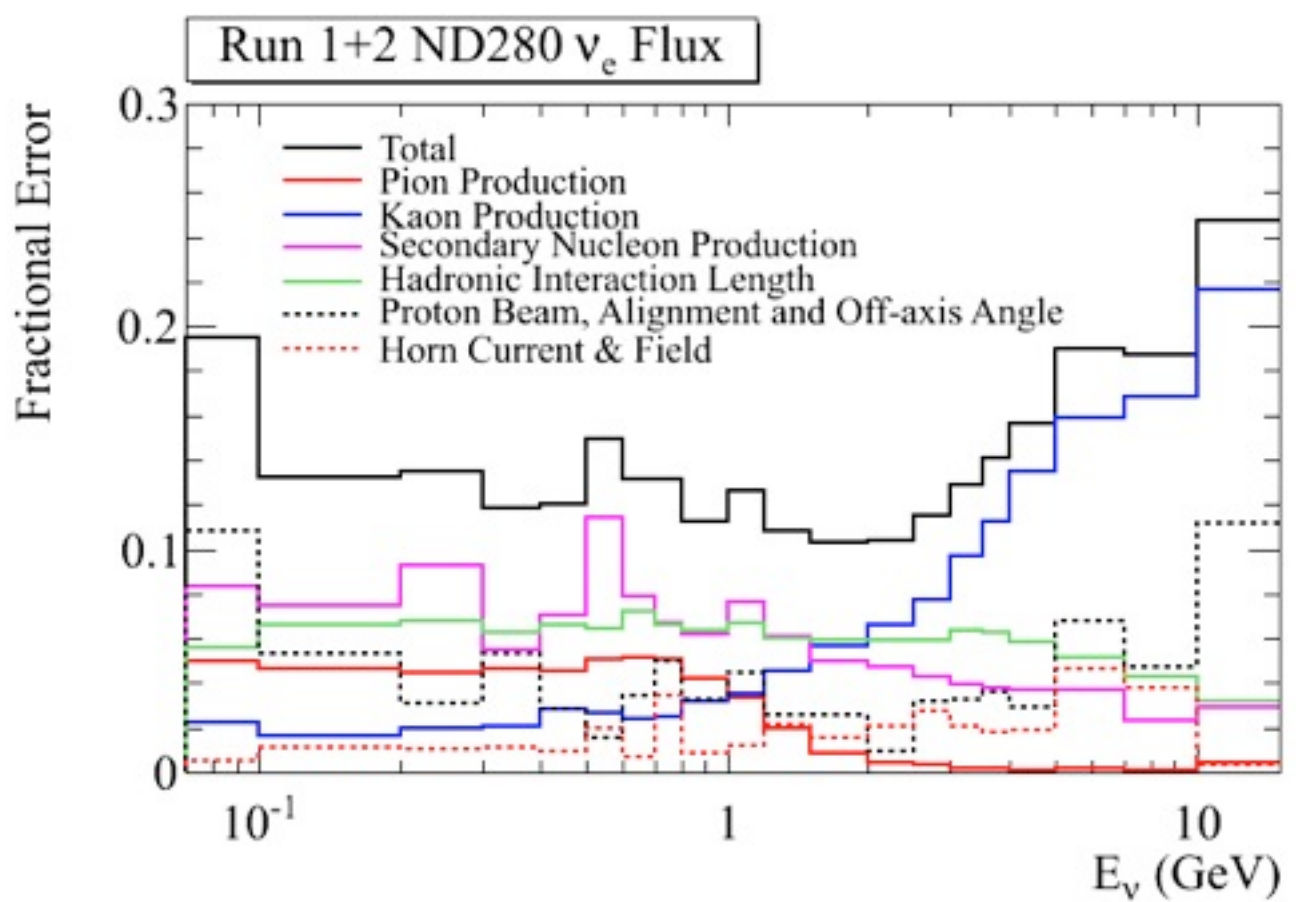
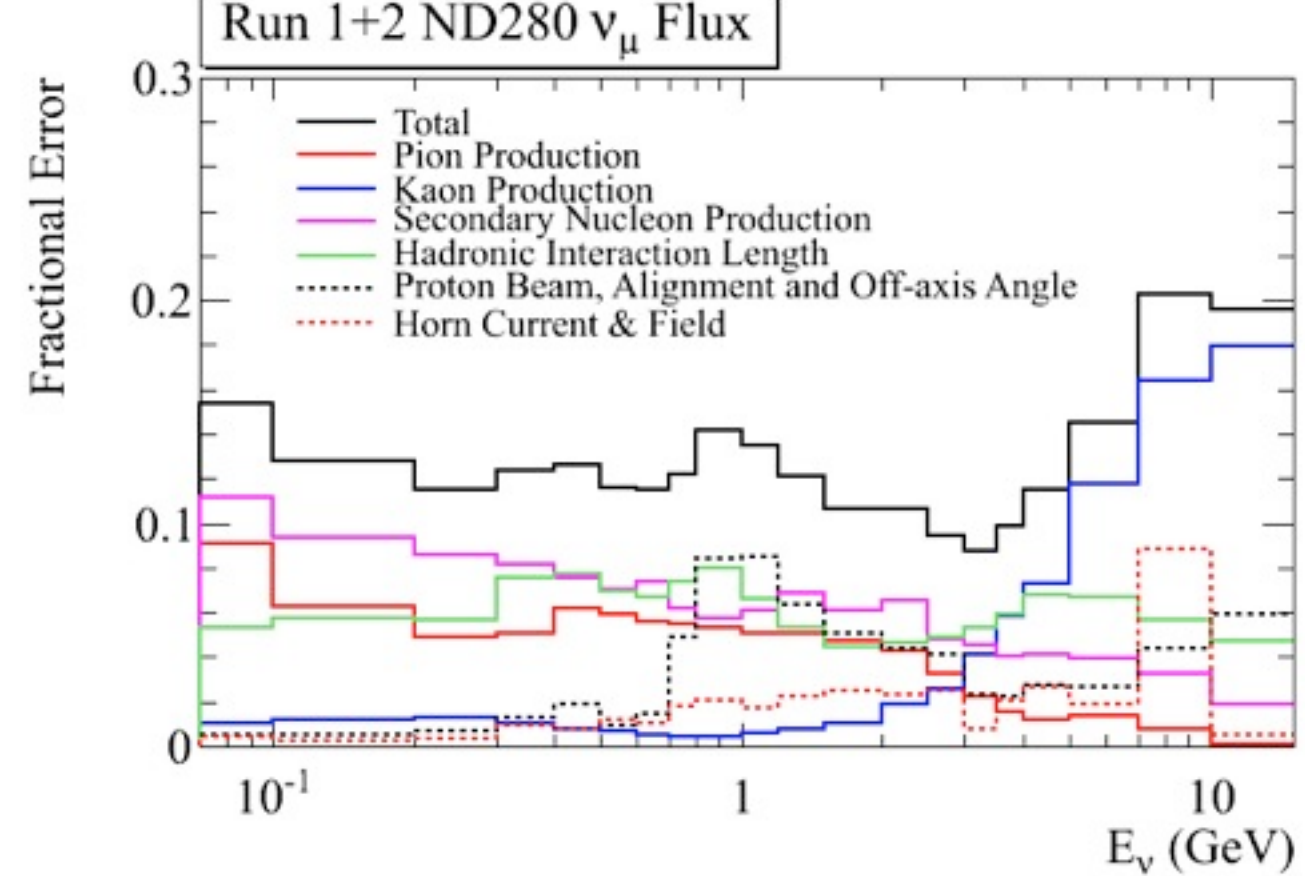
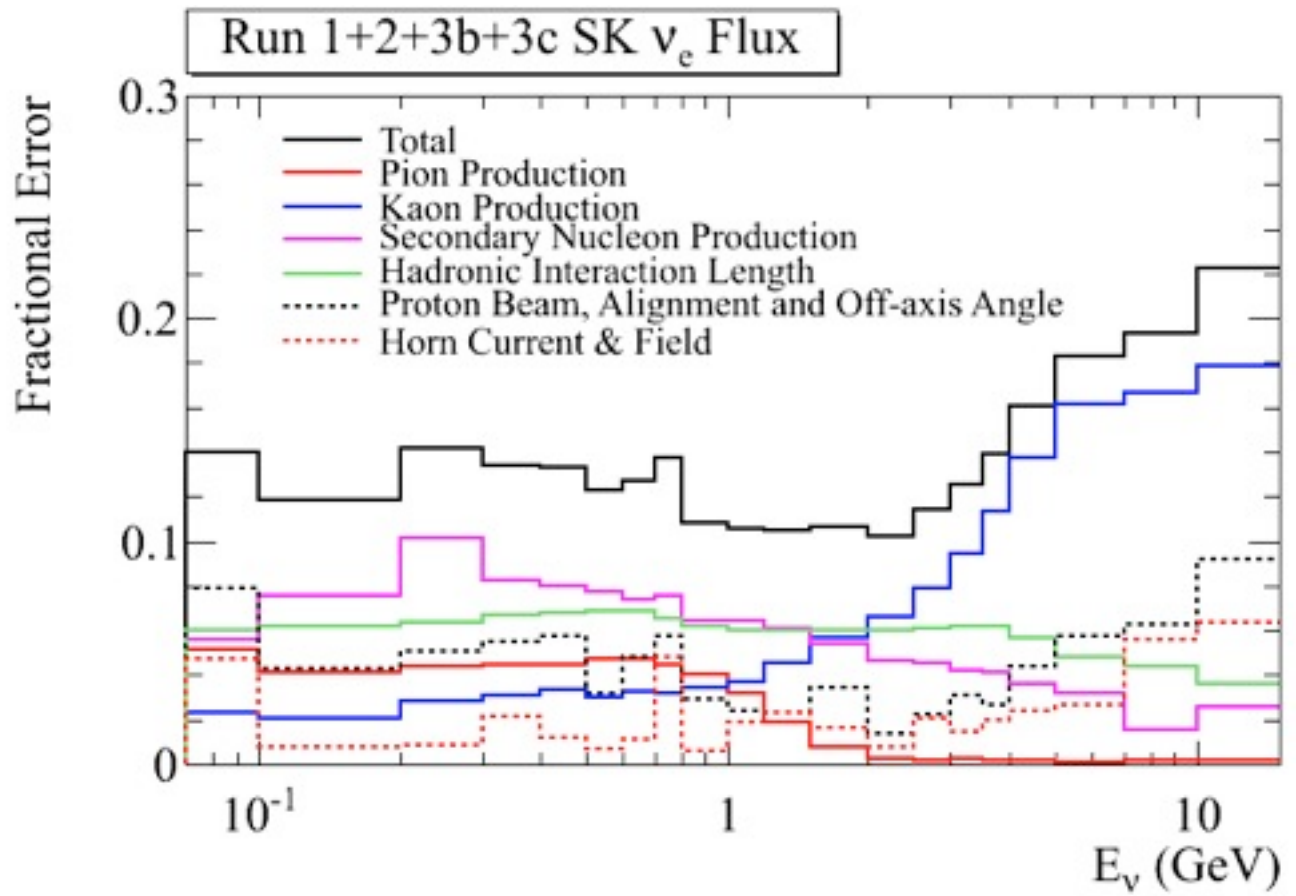
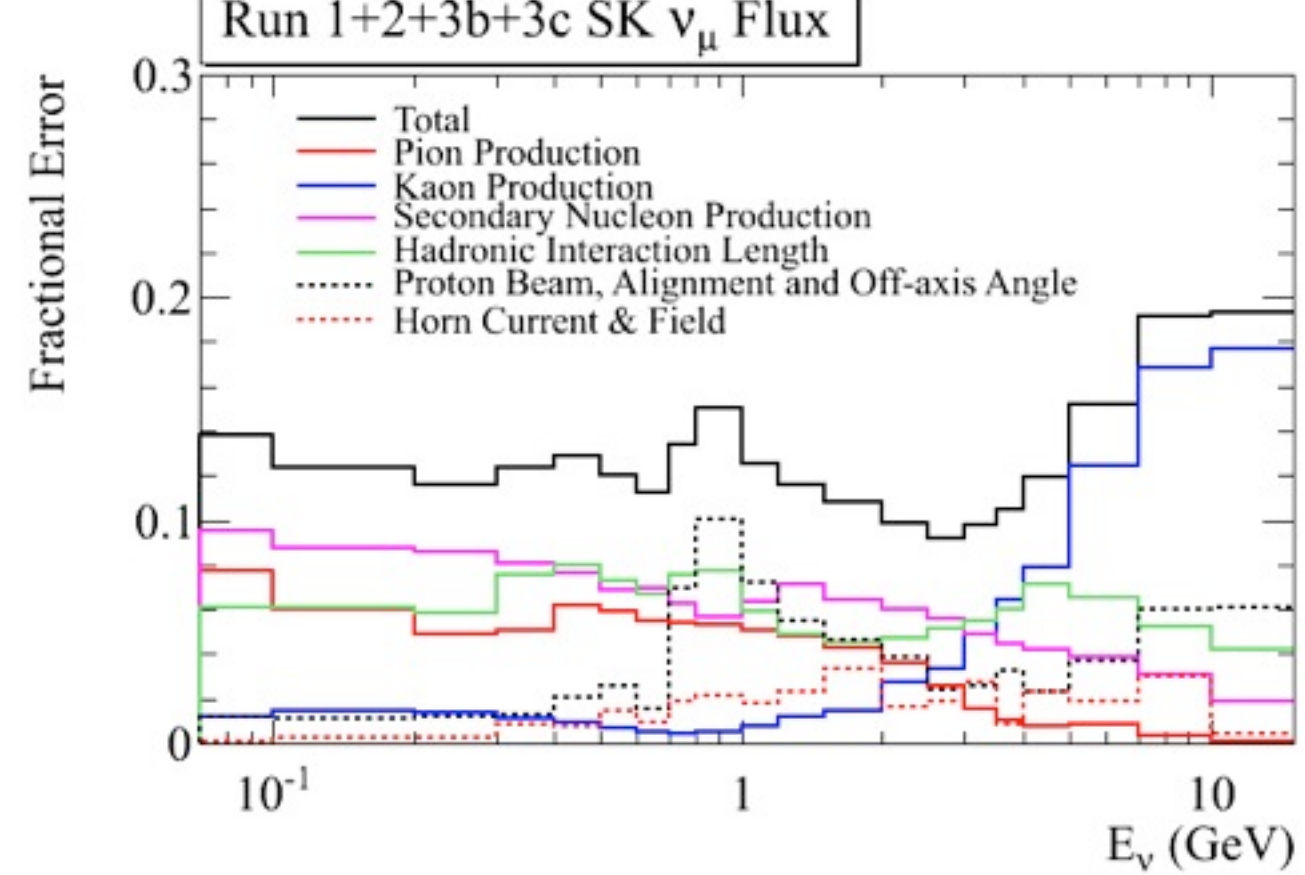
Period	Integ. No. of Proton on Target	Beam Power (kW)
-Jun.2012	3.1E+20	170
-Jun.2013	7.8E+20	200
-Jun.2014	1.2E+21	250
-Jun.2015	1.8E+21	250
-Jun.2016	2.5E+21	300
-Jun.2017	3.2E+21	300
-Jun.2018	3.9E+21	300
-Jun.2019	5.5E+21	700
-Jun.2020	7.1E+21	700
-Jun.2021	8.8E+21	700

*1 Completion time of MR upgrade (assumed to be 2018) is subject to change, depending on economical situation, readiness and so on.

*2 LINAC upgrade completed

* Beam Energy 30GeV

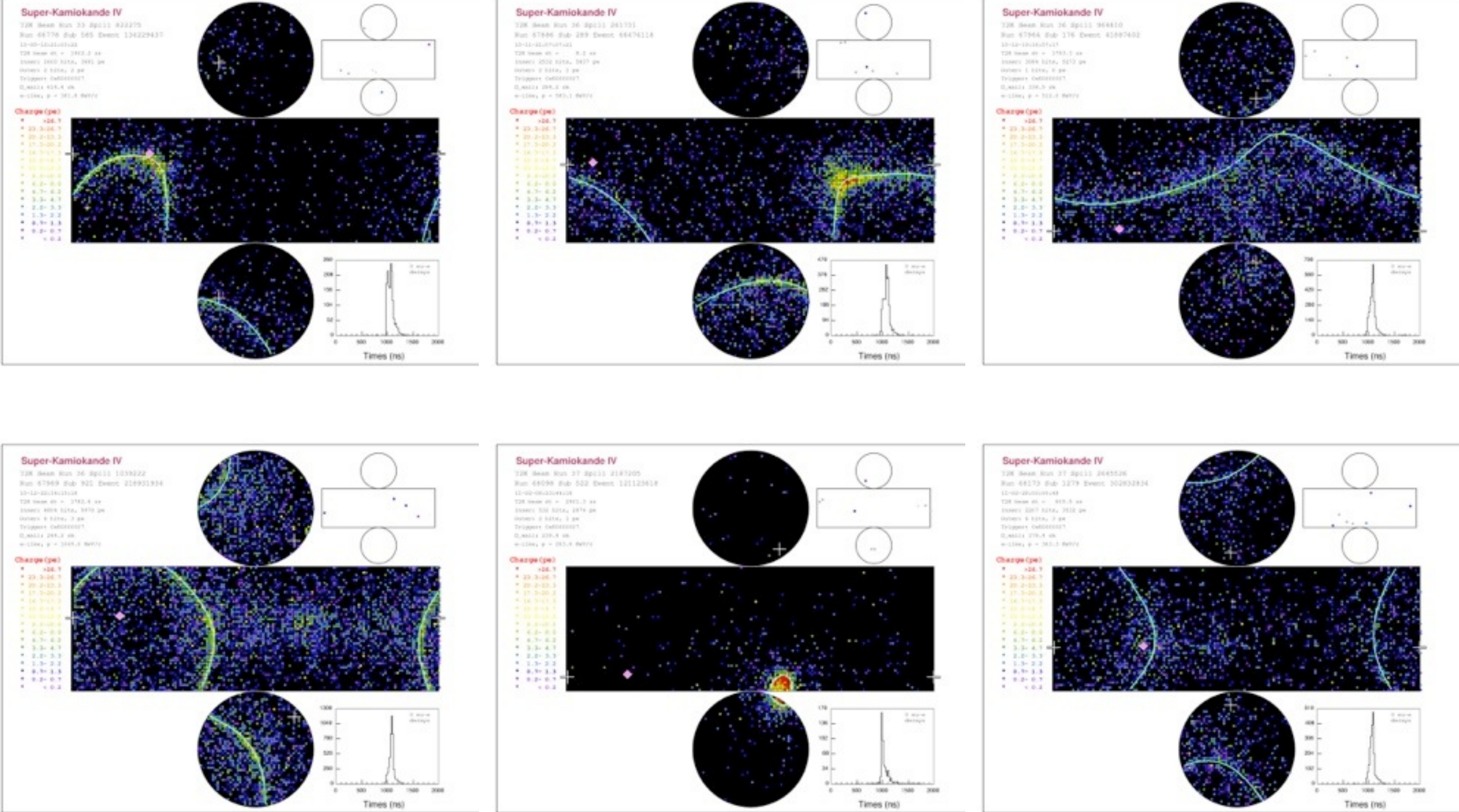
From J-PARC/KEK management

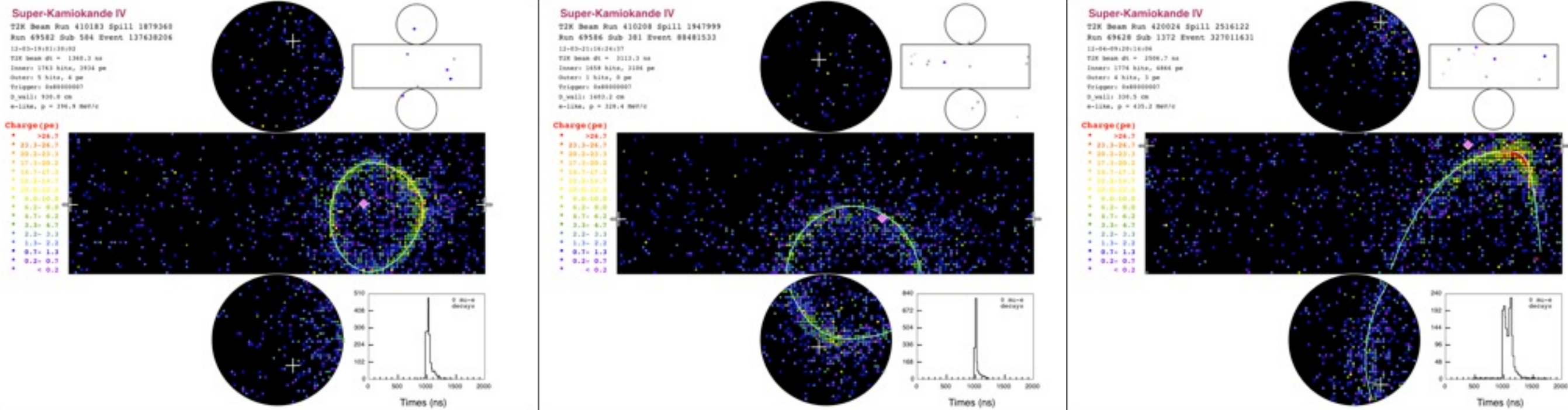


$$\sin^2(2\theta_{13}) = 0.1 \quad \Delta m_{32}^2 = 2.4 \times 10^{-3} \text{ eV}^2$$

$$\sin^2(2\theta_{23}) = 1.0$$

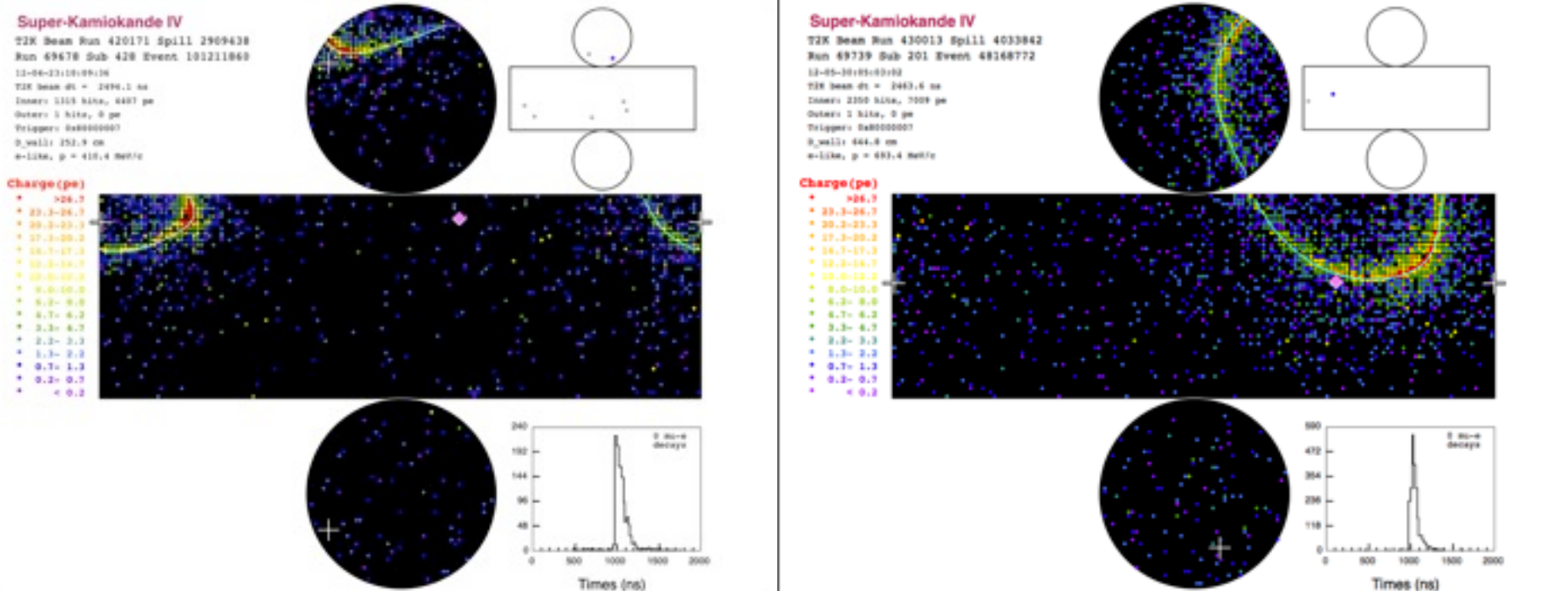
	% Errors on Sample Predictions		
	N_{ND}	N_{SK}	N_{SK}/N_{ND}
Pion Production	3.41	4.97	1.88
Kaon Production	3.48	1.17	2.99
Secondary Nucleon Production	5.46	6.61	1.34
Hadronic Interaction Length	5.78	6.55	1.89
Proton Beam, Alignment & Off-axis Angle	3.45	2.48	1.90
Horn Current and Magnetic Field	1.40	1.15	1.39
Total	10.04	10.96	4.84





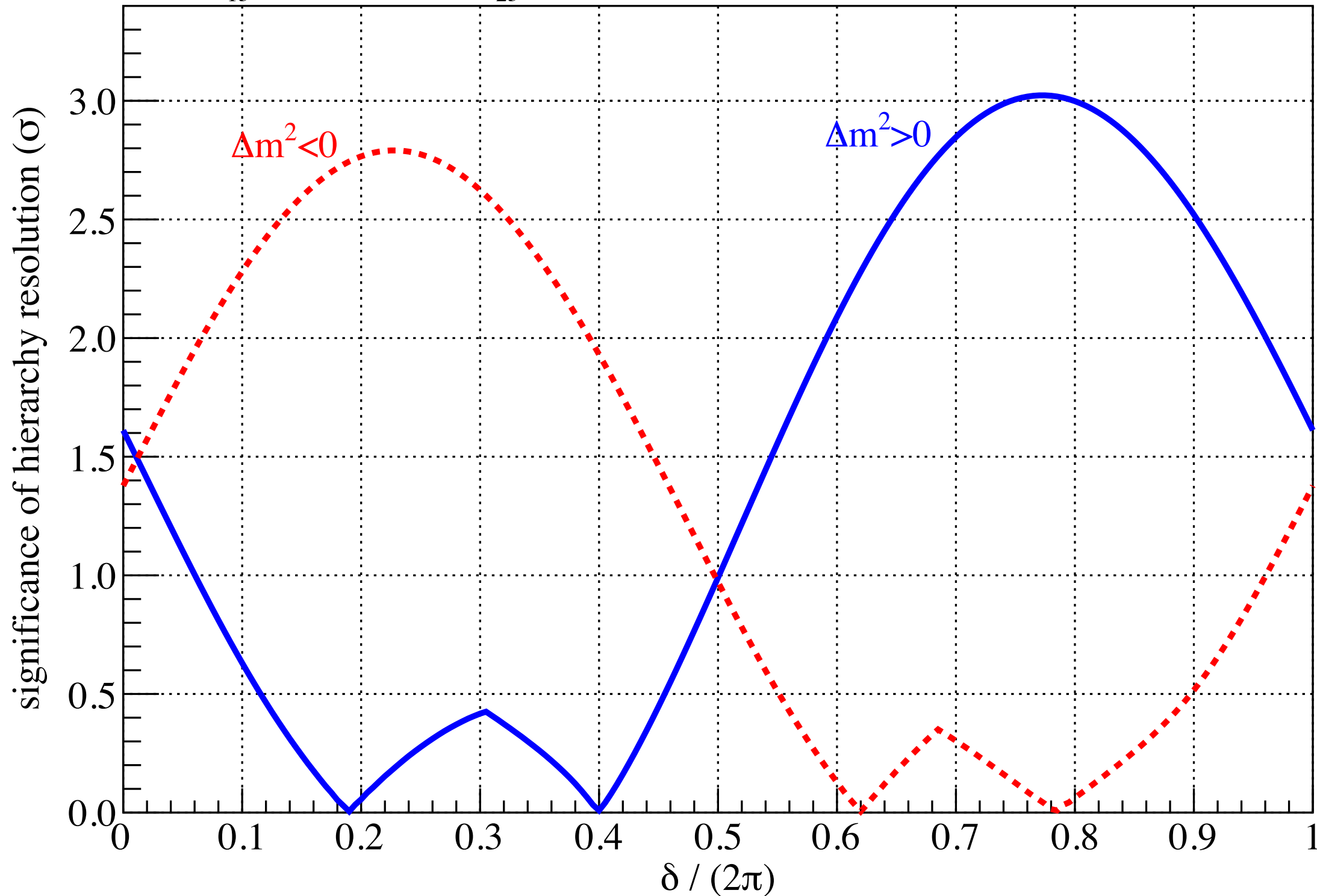
+ vertex projection

◆ beam direction
from vertex



Resolution of Mass Hierarchy

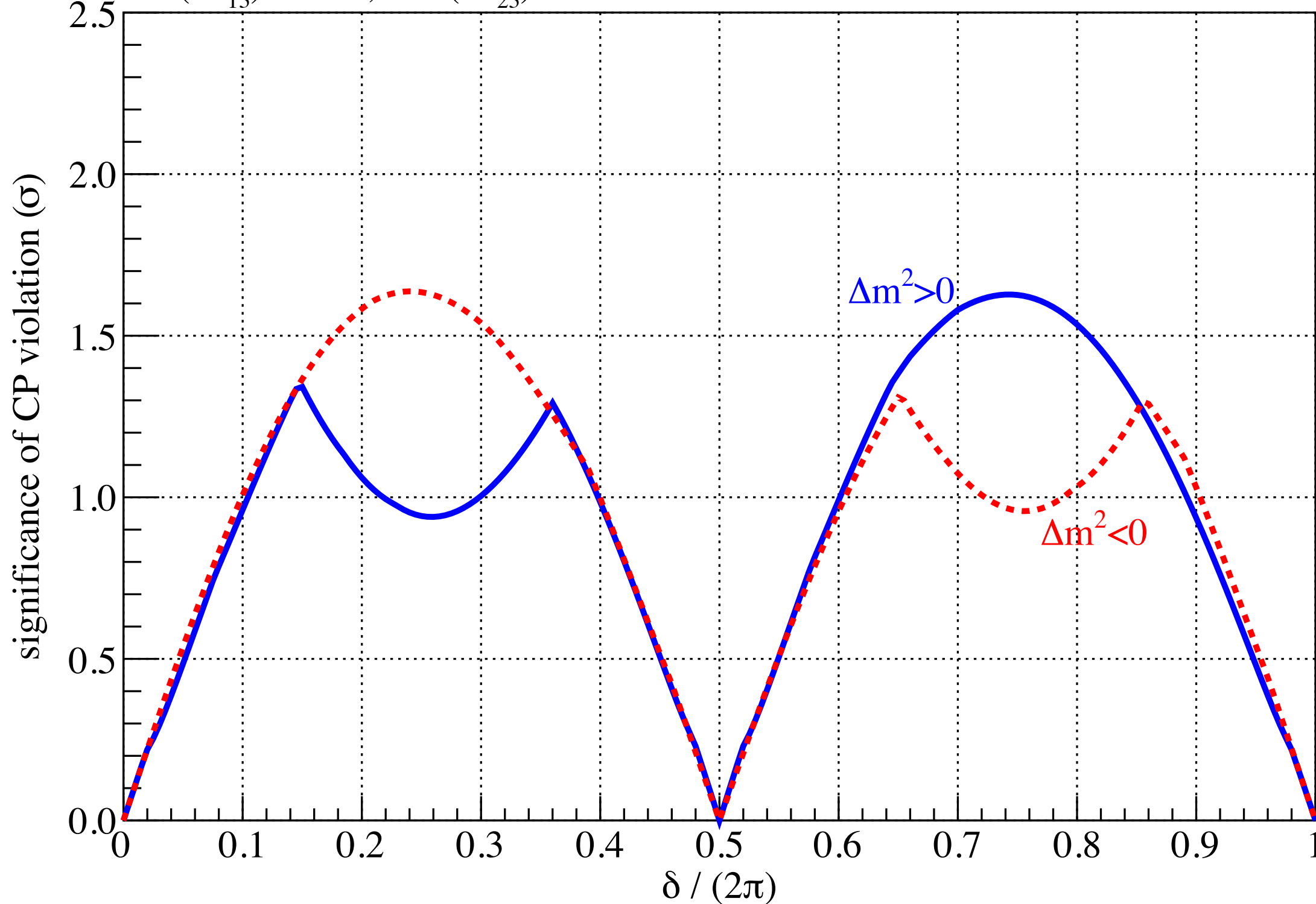
NOvA hierarchy resolution, 3+3 yr ($\nu + \bar{\nu}$)
 $\sin^2(2\theta_{13})=0.095$, $\sin^2(2\theta_{23})=1.00$



Measurement of CP-violation

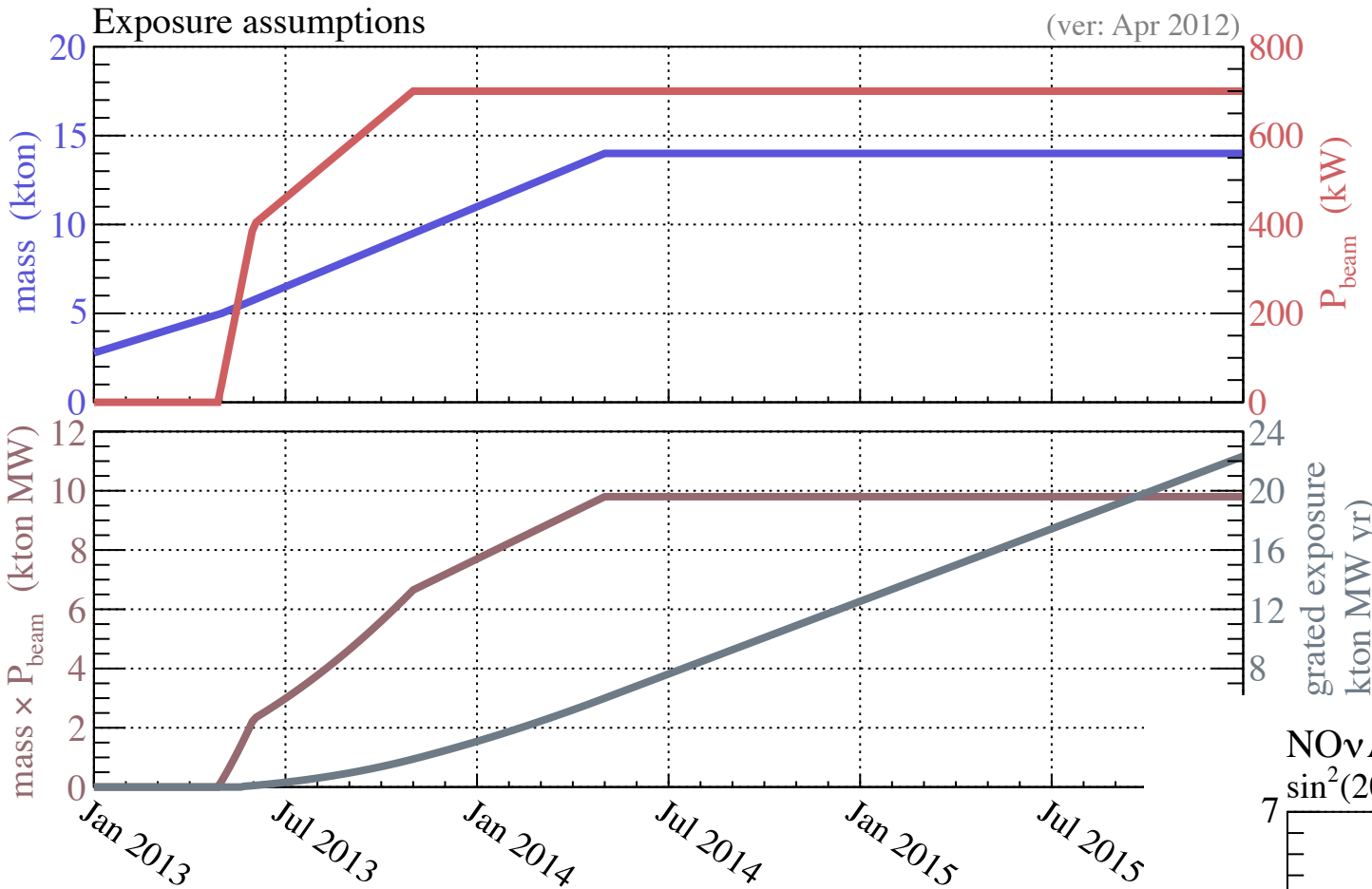
NOvA CPv determination, 3+3 yr ($\nu + \bar{\nu}$)

$$\sin^2(2\theta_{13})=0.095, \sin^2(2\theta_{23})=1.00$$



Project Timeline

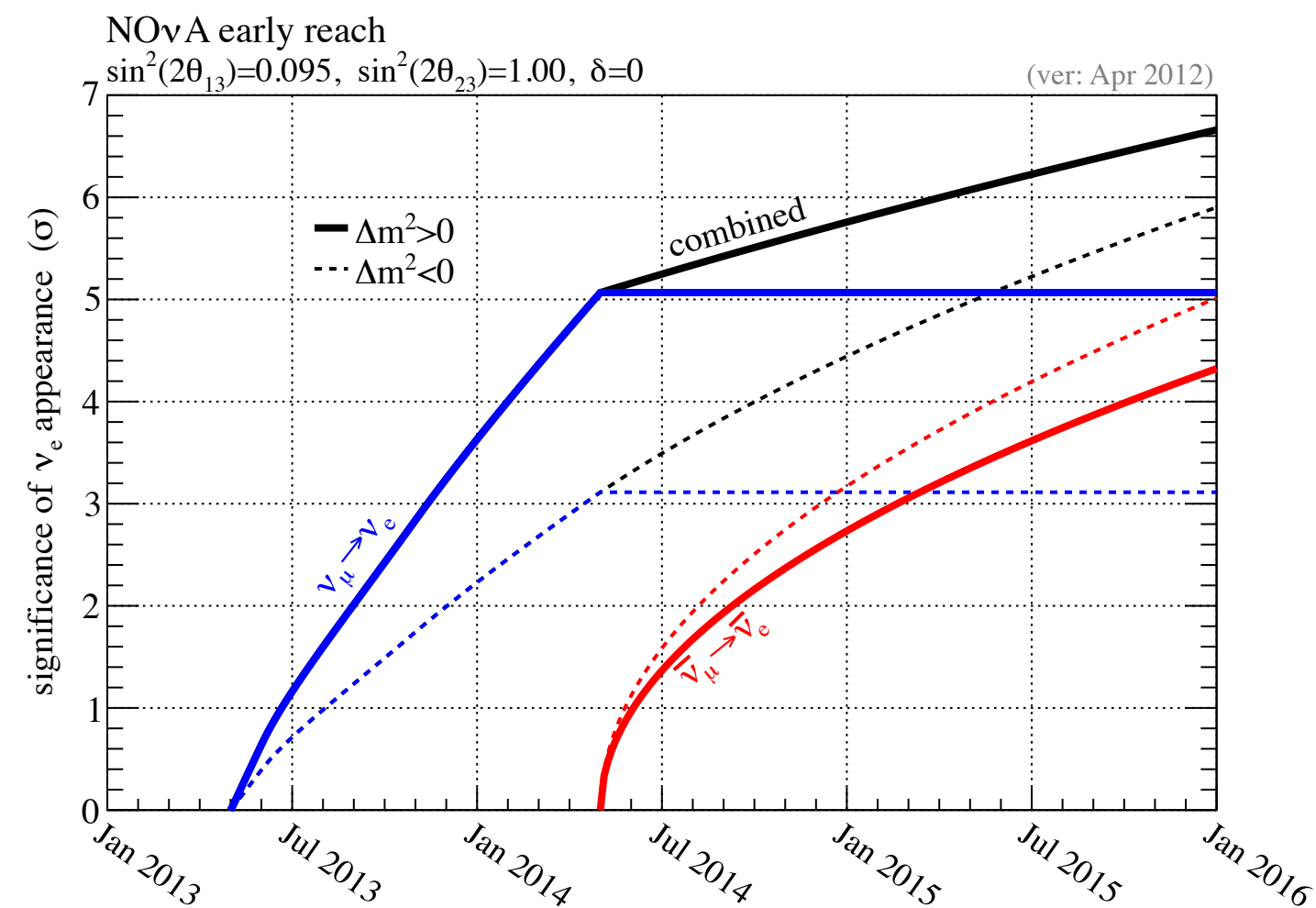
NOvA early reach
Exposure assumptions



- Expect to have 5 kton built by the time beam returns in Spring of 2013 and we will be able to collect data as we build.
- Far detector to be complete by April 2014.
- Near detector to be complete in 2013.



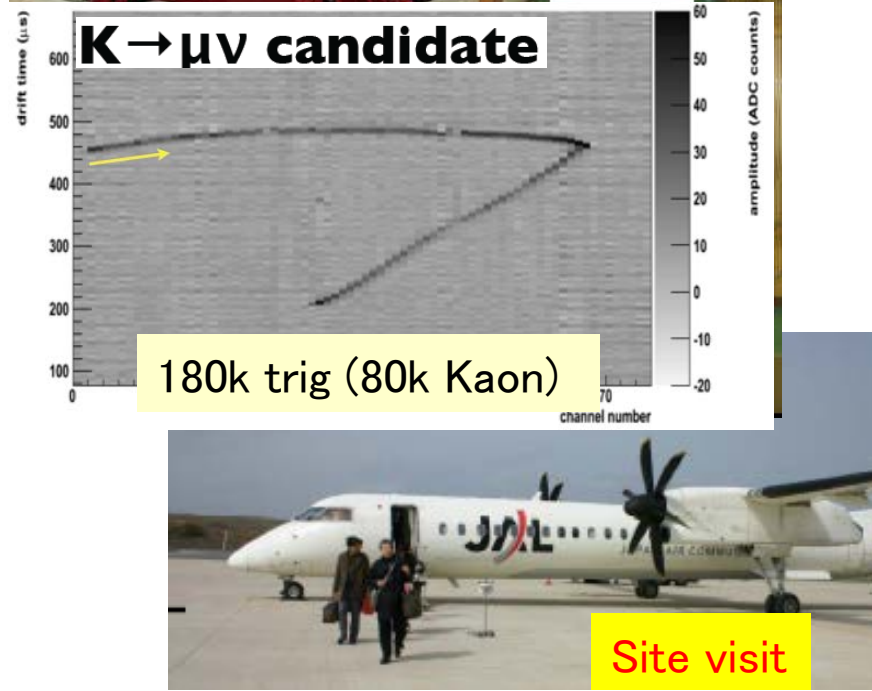
- Partially instrumented prototype near detector built and operated on the surface for ~1.5 years. Continues to provide invaluable data!
- Accelerator upgrades are underway at FNAL and on-schedule.
- Preparations for far detector construction underway.



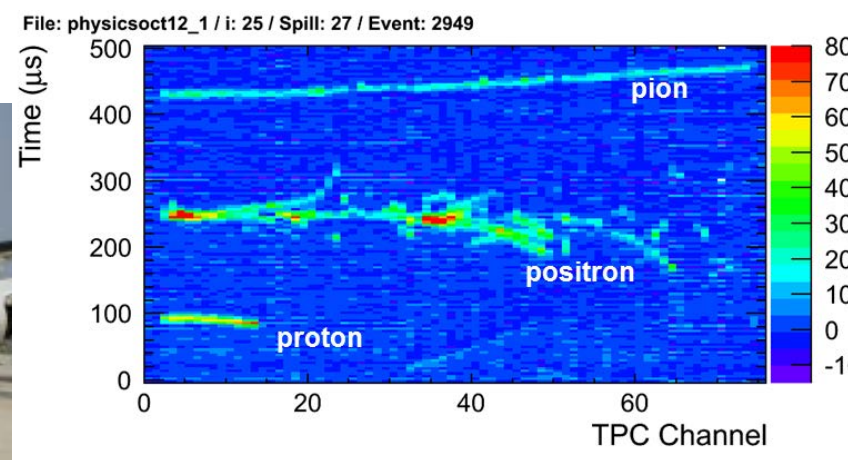
J-PARC + LAr

- 特徴: O(100kt)
 - Multi-trackなニュートリノ反応も検出可能
 - ・ ニュートリノ反応をExclusiveに検出可能
 - ・ e/π^0 の識別可能なので、バックグラウンドの系統誤不定性小
 - 高いエネルギーのニュートリノも検出可能で、広いレンジのエネルギースペクトラムが測定可能
- ワイドバンドビーム(オンアクシス)での実験が可能
 - T2Kとは異なるビームライン(電磁ホーン)の最適化がありうる
- 課題
 - 期待どおりの e/π^0 の識別能力があるか実証が必要
 - 大きな検出器が作れるか？がポイント
 - ・ 実験機
 - ・ 原型機 J-PARC T32 ← いまここ
 - ・ 実証機 (欧) ICURUS T600, (米)MicroBooNE ← 次のステップ
 - ・ 実用機

液体アルゴンTPC R&D

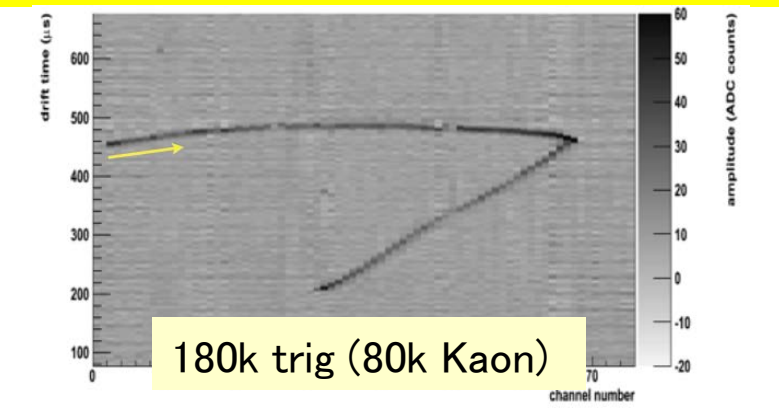


Charged particle test-beam
@J-PARC T32 (data-taking
during Oct/24-31)

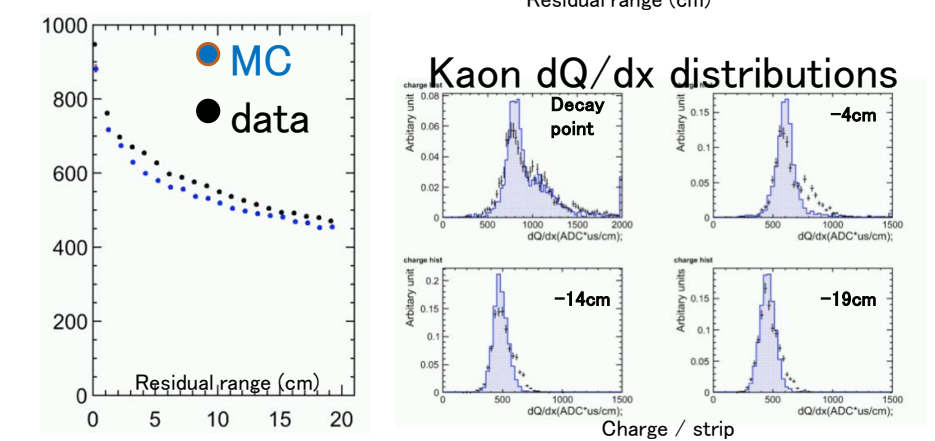


7000 800MeV/c K+ events w/ 2 LGs
35000 800MeV/c K+ events w/ one LG
40000 800MeV/c K+ w/ 1 LG and 1LB
70000 200MeV/c π+ events w/o degraders
2500 800MeV/c e+ events
1500 800MeV/c proton events

World largest Kaon sample ever taken by Lar TPC

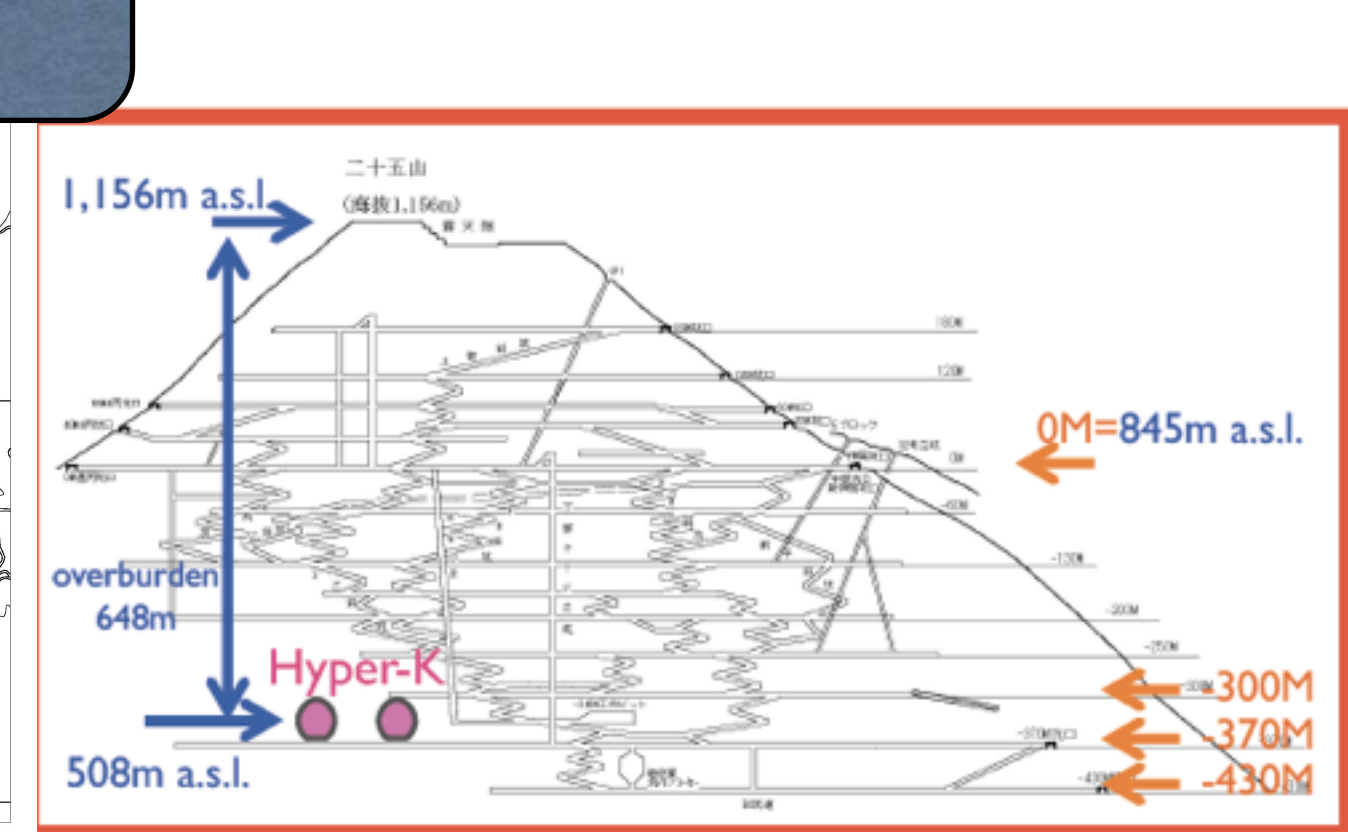
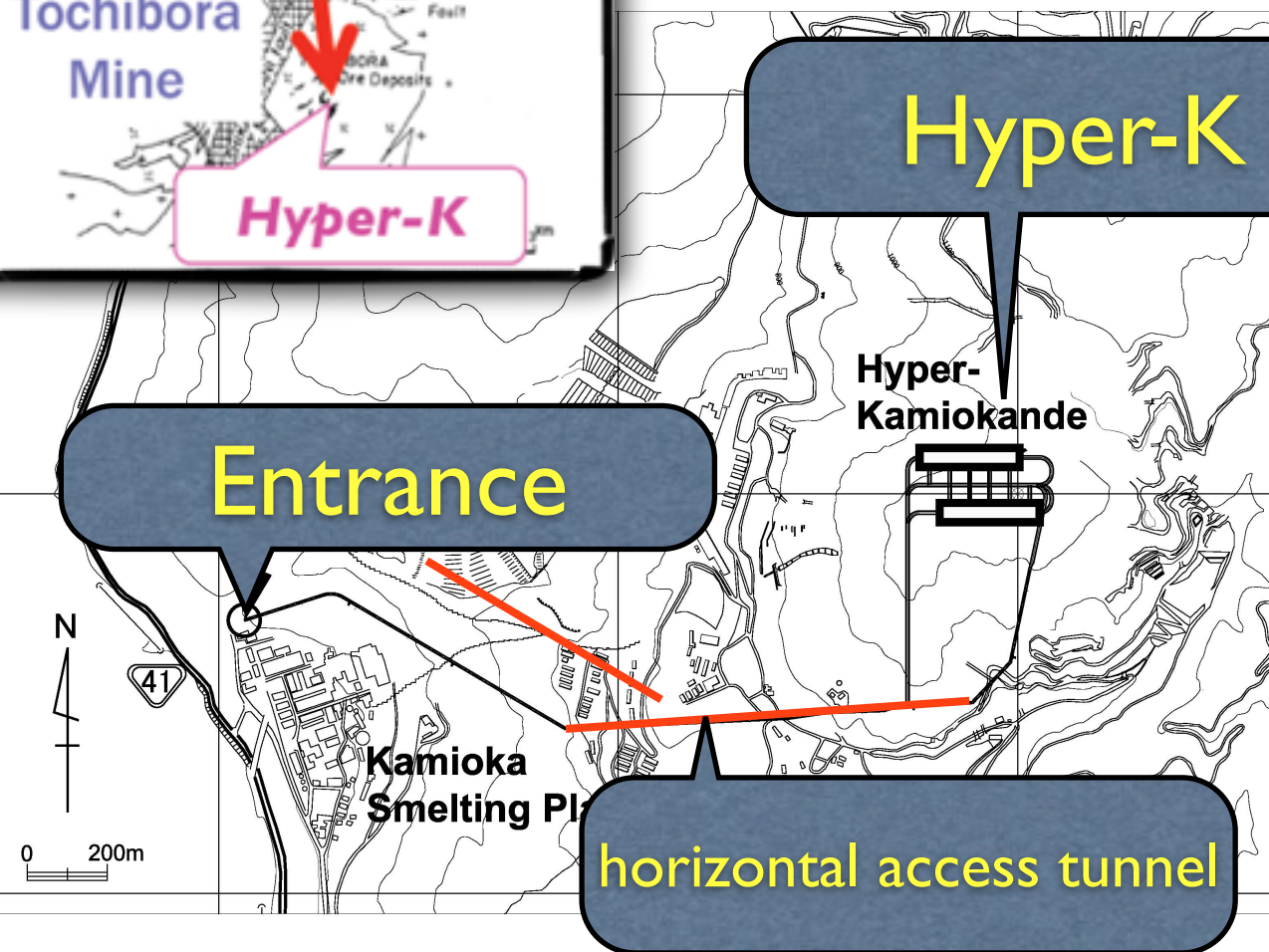
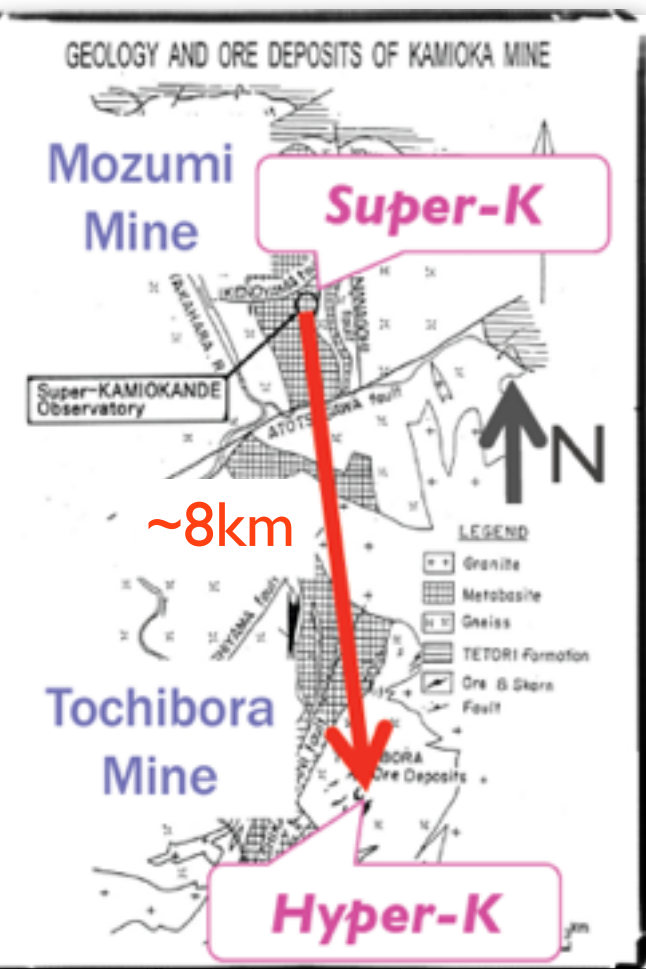


Intensive analysis on-going



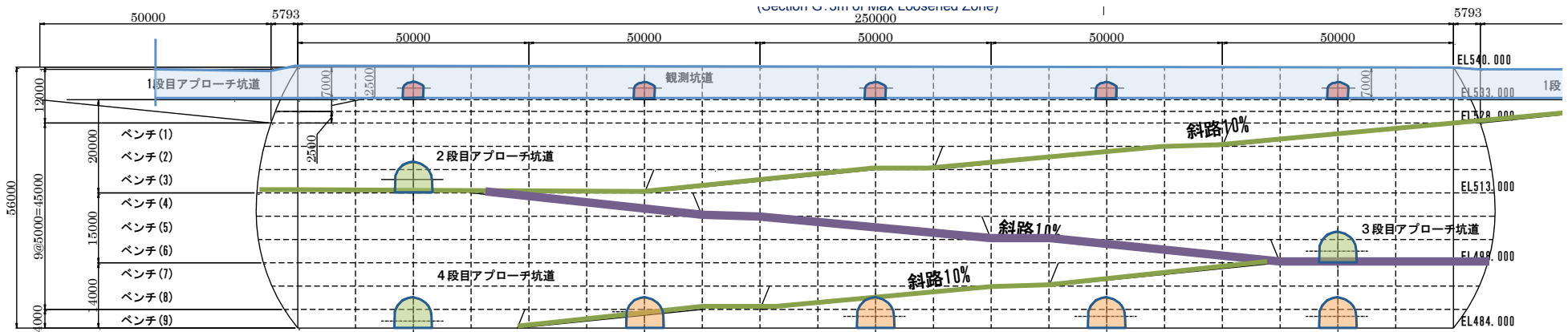
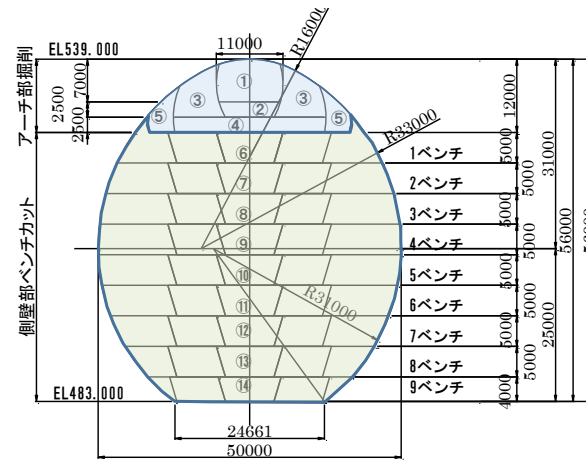
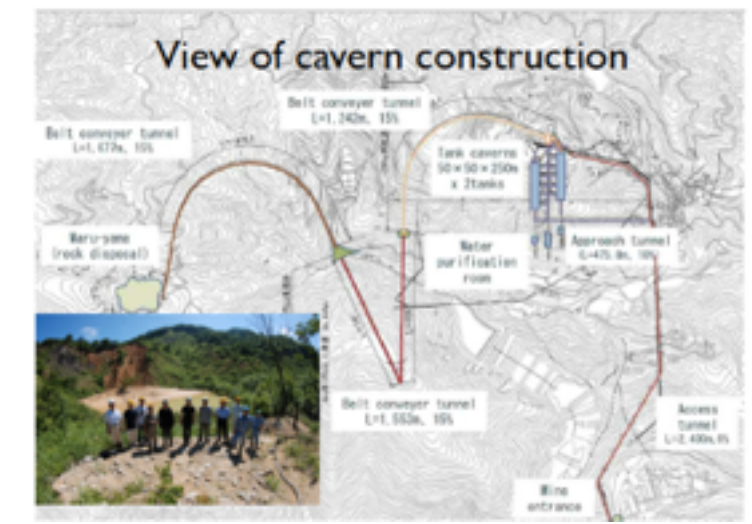
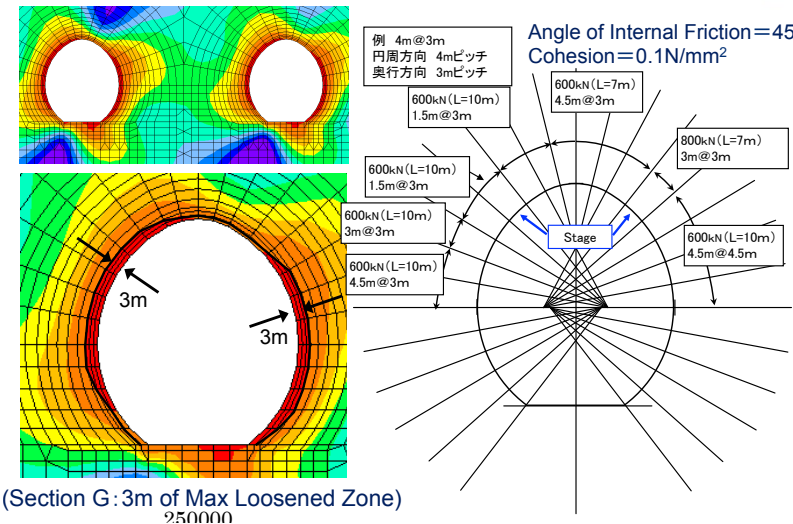
Hyper-K Candidate site

- 8km south of Super-K
 - Same off-axis and baseline as T2K
- 2.6km horizontal drive
- 648m of rock (1750m.w.e.) overburden
- 13,000m³/day natural water (1Mt/80days)



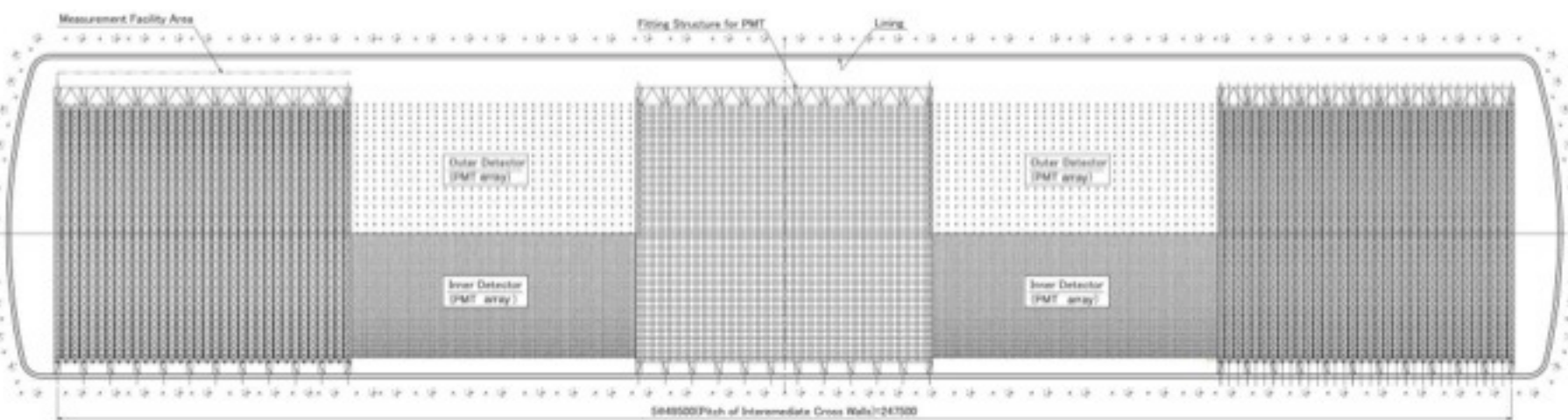
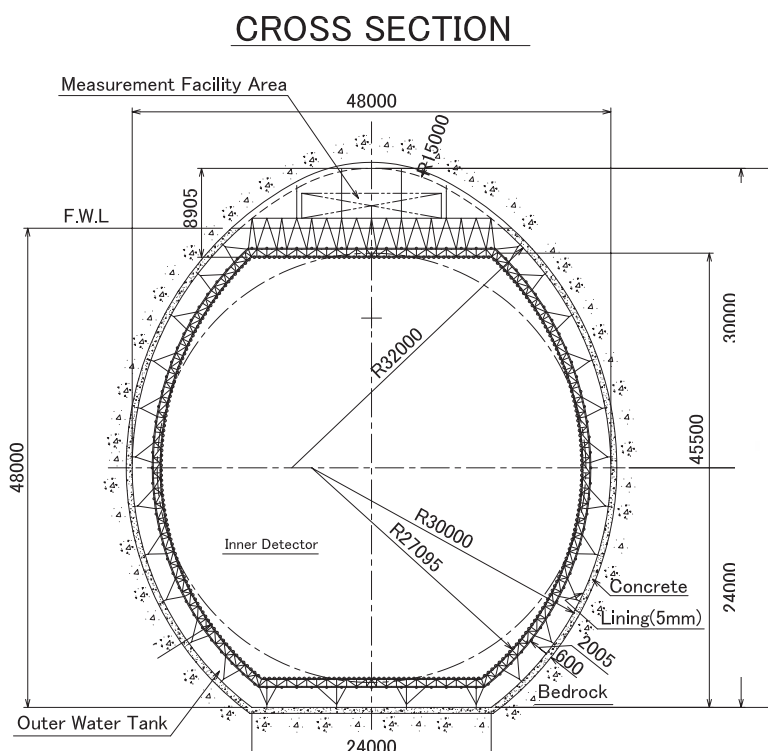
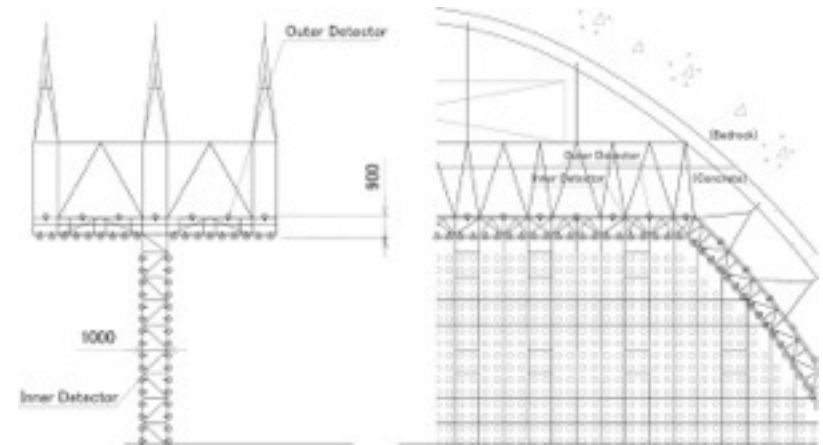
Large cavern excavation

- Baseline plan developed based on geological survey & in-situ rock stress measurement
- Detailed schedule & cost estimation ongoing



Tank

- Concrete + polyethylene liner
- PMT support structure under discussion
- Wire support (cf. LBNE-WC)?
- Straight wall cavern possible?

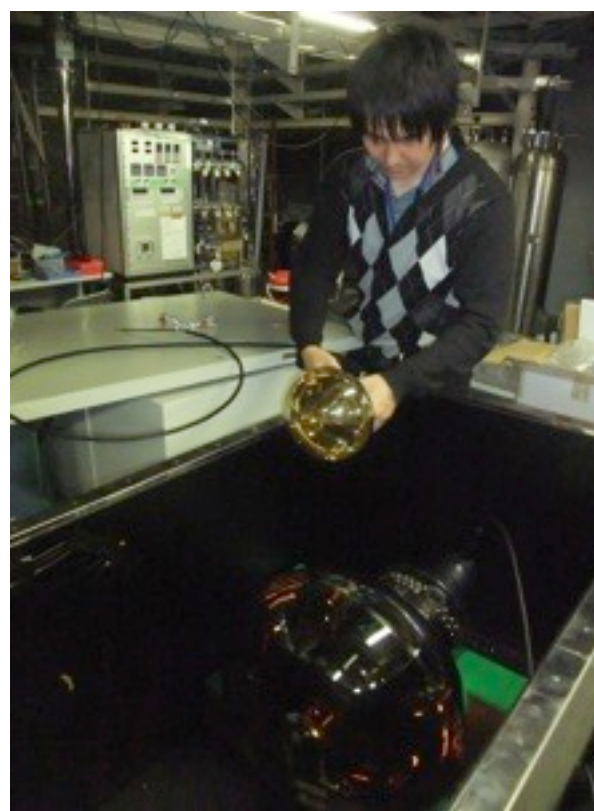
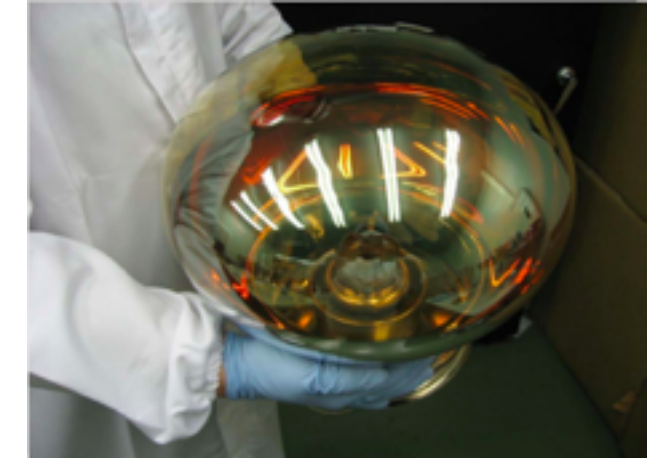


5 compartments × 2

Photo-sensor

Poster #68

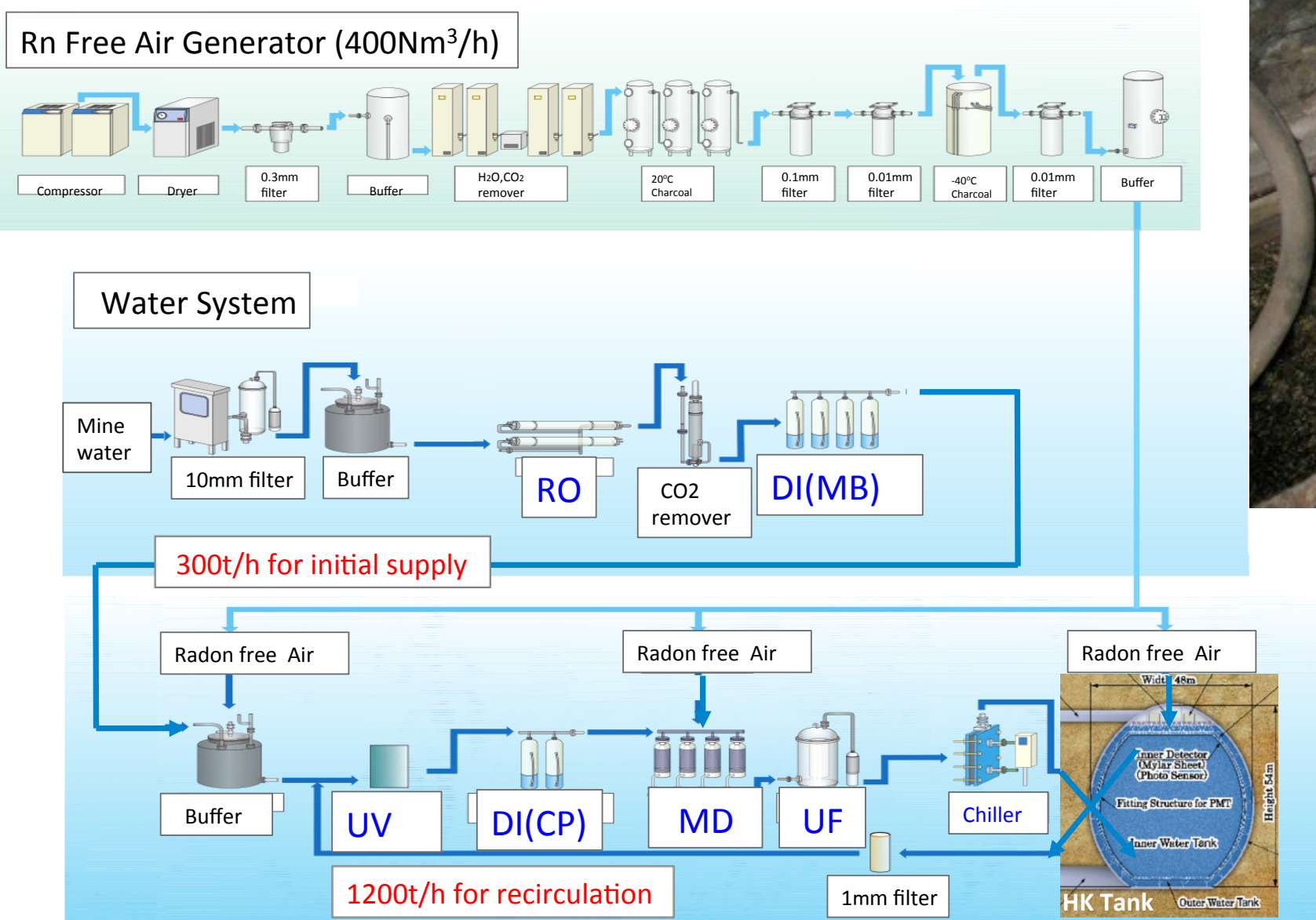
- Candidates for ID sensor
 - 20" Hybrid Photo Detector (HPD)
 - Improved 20" PMT
- Proof test of 8" HPD in water tank from this summer
- 20" HPD prototype expected in ~a year



Water system

Poster #165

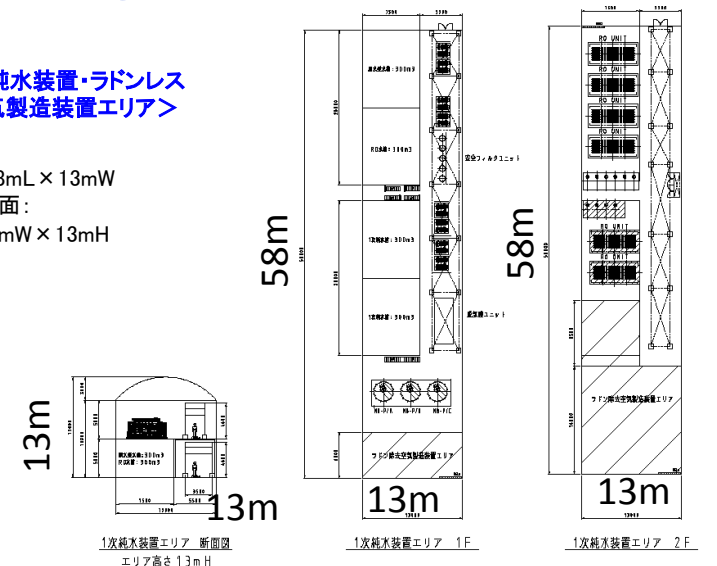
Based on Super-K system



1st stage layout

<1次純水装置・ラドンレス
空気製造装置エリア>

● 58mL × 13mW
断面:
13mW × 13mH



Under design with companies in Japan and US

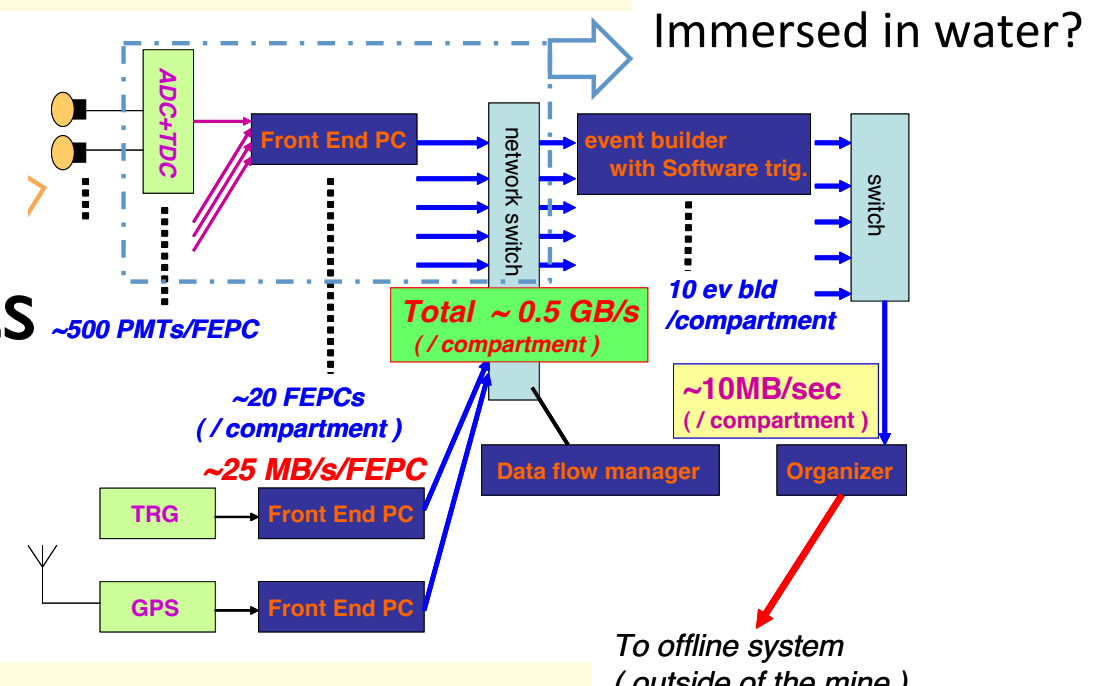
Masashi Yokoyama (U.Tokyo)

Future water Cherenkov detectors

Other R&D

- Electronics/DAQ
 - Requirements similar to Super-K
 - R&D of frontend in water starts
- Water system
 - Based on Super-K experience
 - Under design in Japan and US
- Detector calibration
 - R&D based on Super-K experience
- Dedicated software development
 - Under discussion
- ...

Elec. schematics



Water system

Poster #165

